

I am sorry for English, Czech and Slovak language ... , ☺, ☻, ☹,

Advanced Plasma Physics

Literatura:

Základy klasické a kvantové fyziky plazmatu

„Velký Kracík“

J.Kracík, B. Šesták a L. Aubrecht

Academia Praha 1974

Fyzika plazmatu

J.Kracík, J. Tobiáš

Academia, Praha 1966

„Malý Kracík“

Phase space

- We move from an exact description to a description using probabilities.
- Distribution functions

N interacting particles, ---- each obeys the laws of classical dynamics.

Vectors: \mathbf{r}_i , \mathbf{p}_i

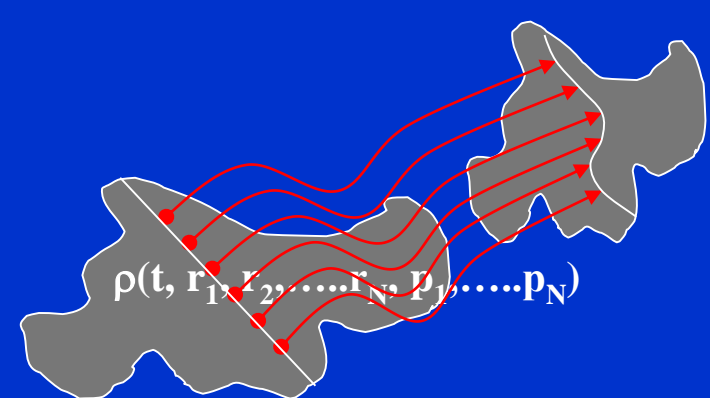
Coordinate, impulse

The element $d\Gamma$ in Γ space as: $d\Gamma = dr_1 dr_2 \dots dr_N dp_1 \dots dp_N = dr^N dp^N$

The system file represents a "cloud" with a density of $\rho(t, r_1, r_2, \dots, r_N, p_1, \dots, p_N)$

A "cloud" with density

ρ



Phase space $6N$ dimensional space

We introduce several new functions

N interacting particles, ---- each obeys the laws of classical dynamics.

Element $d\Gamma$ in Γ space as: $d\Gamma = dr_1 dr_2 \dots dr_N dp_1 \dots dp_N = dr^N dp^N$

The system file represents a "cloud" with a density of $\rho(t, r_1, r_2, \dots, r_N, p_1, \dots, p_N)$
the ensemble of files

The total number of phases in the file is
 $\int \rho(t, r_1, r_2, \dots, r_N, p_1, \dots, p_N) dr^N dp^N = W$

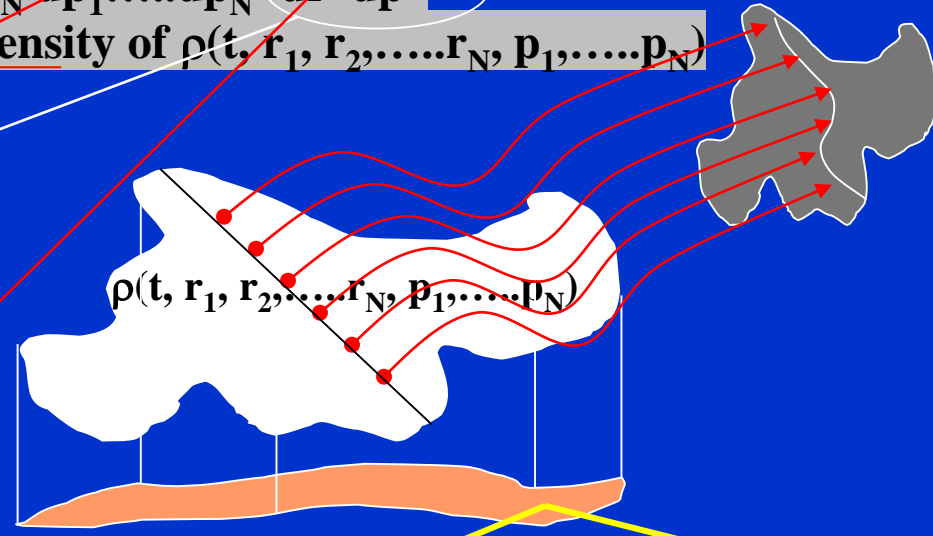
Probability density .

..density of probability

$$P_N = \rho(t, r_1, r_2, \dots, r_N, p_1, \dots, p_N) / W$$

By integrating P over a subset of variables, we obtain a "projection" independent of $r^{N-q} p^{N-q}$

$$P_q(t, r_{\alpha 1}, p_{\alpha q}) = \int P_N(t, r_1, r_2, \dots, r_N, p_1, \dots, p_N) dr^{N-q} dp^{N-q}$$



file \rightarrow ensemble file

1.1 Základní definice

Rovnice mechaniky nejsou při velkém počtu N částic zvládnutelné. Lze však na jejich základě a při statistických představách dojít k zákonitostem, které chování velkého makroskopického systému částic vystihou.

Nechť pro makroskopický systém, který má objem V , je známa mikroskopická struktura; systém je tvořen N interagujícími částicemi a nechť každá z těchto částic se řídí zákony klasické dynamiky. Pro jednoduchost předpokládejme, že částice nemají vnitřní stupně volnosti. Mikroskopický stav systému je určen bodem (fází) v $6N$ rozměrném fázovém prostoru Γ , který má souřadnice $\mathbf{r}_1, \dots, \mathbf{r}_N, \mathbf{p}_1, \dots, \mathbf{p}_N$, kde $\mathbf{r}_i, \mathbf{p}_i$ jsou polohové vektory i -té částice v prostoru souřadnic, respektive v prostoru impulsů. Definujme dále objemový element $d\Gamma$ v Γ prostoru jako

$$d\Gamma = dr_1 dr_2 \dots dr_N dp_1 dp_2 \dots dp_N = dr^N dp^N.$$



Element $d\Gamma$ in Γ space as: $d\Gamma = dr_1 dr_2 \dots dr_N dp_1 dp_2 \dots dp_N = dr^N dp^N$

Protože každý systém je reprezentován fází v Γ prostoru, soubor velkého počtu W systémů bude reprezentován „oblakem“ W fází v Γ . Označme-li hustotu tohoto oblaku (fázovou hustotou) v Γ prostoru v čase t jako $\varrho(t; \mathbf{r}_1, \dots, \mathbf{r}_N; \mathbf{p}_1, \dots, \mathbf{p}_N)$, je potom počet fází (fázových bodů), obsažených v $d\Gamma$ kolem bodu $(\mathbf{r}_1, \dots, \mathbf{r}_N; \mathbf{p}_1, \dots, \mathbf{p}_N)$ v čase t , roven

$$\varrho(t; \mathbf{r}_1, \dots, \mathbf{r}_N; \mathbf{p}_1, \dots, \mathbf{p}_N) dr^N dp^N$$

a

(1.1)

$$\int \varrho(t; \mathbf{r}_1, \dots, \mathbf{p}_N) dr^N dp^N = W.$$

Fázovou hustotu $P_N(t; \mathbf{r}_1, \dots, \mathbf{p}_N)$, odpovídající jednomu systému, tj.

(1.2)

$$P_N = \frac{\varrho(t; \mathbf{r}_1, \dots, \mathbf{p}_N)}{W}$$

nazveme hustotou pravděpodobnosti ve fázovém prostoru. Potom z předchozích úvah a z fyzikálního významu $P_N(t; \mathbf{r}_1, \dots, \mathbf{p}_N)$ je zřejmé, že

(1.3)

$$\int P_N(t; \mathbf{r}_1, \dots, \mathbf{p}_N) dr^N dp^N = 1.$$

We introduce several new functions

N interacting particles ----

point (phase) in $6N$ dimensional space Γ

point in Γ has coordinates $\mathbf{r}_1, \mathbf{r}_2, \dots, \mathbf{r}_N, \mathbf{p}_1, \dots, \mathbf{p}_N$

The system file represents a "cloud" with a density of $\varrho(t, \mathbf{r}_1, \mathbf{r}_2, \dots, \mathbf{r}_N, \mathbf{p}_1, \dots, \mathbf{p}_N)$

Phase space

Probability density

$$P_N = \varrho(t, \mathbf{r}_1, \mathbf{r}_2, \dots, \mathbf{r}_N, \mathbf{p}_1, \dots, \mathbf{p}_N) / W$$

Phase space

N interacting particles, ---- each obeys the laws of classical dynamics.

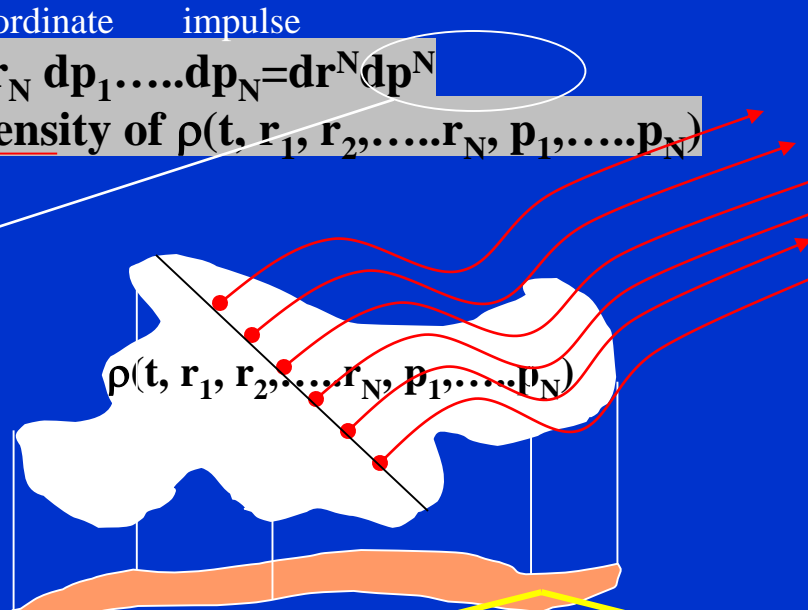
Element $d\Gamma$ in Γ space as: $d\Gamma = dr_1 dr_2 \dots dr_N dp_1 \dots dp_N = dr^N dp^N$

The system file represents a "cloud" with a density of $\rho(t, r_1, r_2, \dots, r_N, p_1, \dots, p_N)$ has coordinates

The total number of phases in the file is
 $\int \rho(t, r_1, r_2, \dots, r_N, p_1, \dots, p_N) dr^N dp^N = W$

Probability density

$$P_N = \rho(t, r_1, r_2, \dots, r_N, p_1, \dots, p_N) / W$$

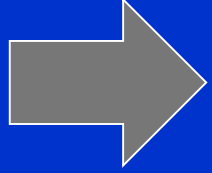


By integrating P over a subset of variables, we obtain a "projection" independent of coordinates $r^{N-q} p^{N-q}$

$$P_q(t, r_{\alpha 1}, p_{\alpha q}) = \int P_N(t, r_1, r_2, \dots, r_N, p_1, \dots, p_N) dr^{N-q} dp^{N-q}$$

If we integrate through impulses, we get the probability that the system has a certain configuration of distribution in space

$$P_N(t, r_1, \dots, r_N) = \int P_N(t, r_1, r_2, \dots, r_N, p_1, \dots, p_N) dp^N$$

 **If we integrate through impulses, we get the probability that the system has a certain configuration of distribution in space**

$$P_N(t; \mathbf{r}_1, \dots, \mathbf{r}_N) = \int P_N(t; \mathbf{r}_1, \mathbf{r}_2, \dots, \mathbf{r}_N, \mathbf{p}_1, \dots, \mathbf{p}_N) d\mathbf{p}^N$$

Dále můžeme definovat hustotu pravděpodobnosti (pravděpodobnost) $P_q(t; \mathbf{r}_{\alpha_1}, \dots, \mathbf{r}_{\alpha_q}; \mathbf{p}_{\alpha_1}, \dots, \mathbf{p}_{\alpha_q})$, což je pravděpodobnost nalézt v souboru celkem náhodně určenou skupinu q částic $\alpha_1, \dots, \alpha_q$ s polohovými vektory $\mathbf{r}_{\alpha_1}, \dots, \mathbf{r}_{\alpha_q}$ a impulsy $\mathbf{p}_{\alpha_1}, \dots, \mathbf{p}_{\alpha_q}$, bez ohledu na to, v jakém stavu je zbyvajících $(N - q)$ částic;

$$(1.4) \quad P_q(t; \mathbf{r}_{\alpha_1}, \dots, \mathbf{p}_{\alpha_q}) = \int P_N(t; \mathbf{r}_1, \dots, \mathbf{p}_N) d\mathbf{r}^{N-q} d\mathbf{p}^{N-q}$$

a podobně je možné nalézt pravděpodobnost, že systém částic má danou konfiguraci $\mathbf{r}_1, \dots, \mathbf{r}_N$ jako

$$(1.5) \quad P_N(t; \mathbf{r}_1, \dots, \mathbf{r}_N) = \int P_N(t; \mathbf{r}_1, \dots, \mathbf{r}_N; \mathbf{p}_1, \dots, \mathbf{p}_N) d\mathbf{p}^N.$$

Liouvilluv teorém

- Hamiltonian N Particles
- Generalized coordinates

We follow the time evolution of the set of N particles...
each particle moves in accordance with Hamilton's equations:



$$(1.9) \quad \dot{p}_{i_\alpha} = - \frac{\partial H(\mathbf{r}_1, \dots, \mathbf{r}_N; \mathbf{p}_1, \dots, \mathbf{p}_N)}{\partial r_{i_\alpha}}$$

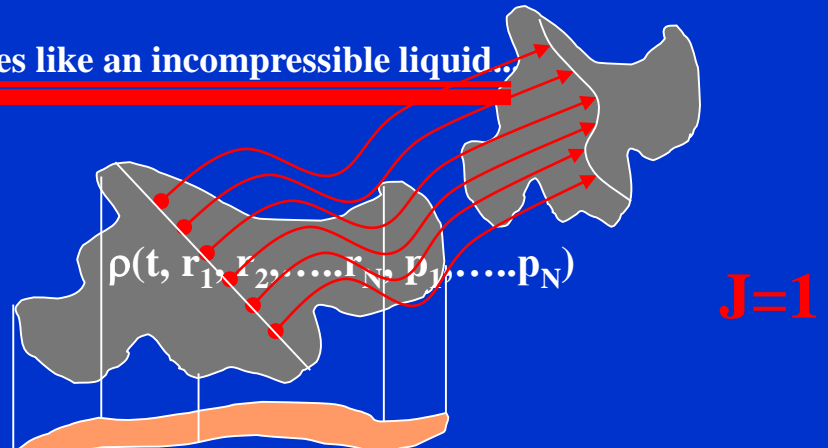
$$\dot{r}_{i_\alpha} = \frac{\partial H(\mathbf{r}_1, \dots, \mathbf{r}_N; \mathbf{p}_1, \dots, \mathbf{p}_N)}{\partial p_{i_\alpha}}, \quad \alpha = 1, 2, 3,$$

The motion of the particles of the system can be viewed as canonical transformations of the Jacobian transformation J=1 and therefore the

$$\int d\Gamma = \int d\mathbf{r}^N dp^N = \text{const}, \quad (1.10)$$

The phase volume does not change. The phase volume moves like an incompressible liquid.

Therefore, we can write a "continuity equation"



1.1 Základní definice

Rovnice mechaniky nejsou při velkém počtu N částic zvládnutelné. Lze však na jejich základě a při statistických představách dojít k zákonitostem, které chování velkého makroskopického systému částic vystihou.

Nechť pro makroskopický systém, který má objem V , je známa mikroskopická struktura; systém je tvořen N interagujícími částicemi a nechť každá z těchto částic se řídí zákony klasické dynamiky. Pro jednoduchost předpokládejme, že částice nemají vnitřní stupně volnosti. Mikroskopický stav systému je určen bodem (fází) v $6N$ rozměrném fázovém prostoru Γ , který má souřadnice $\mathbf{r}_1, \dots, \mathbf{r}_N, \mathbf{p}_1, \dots, \mathbf{p}_N$, kde $\mathbf{r}_i, \mathbf{p}_i$ jsou polohové vektory i -té částice v prostoru souřadnic, respektive v prostoru impulsů. Definujme dále objemový element $d\Gamma$ v Γ prostoru jako

$$d\Gamma = d\mathbf{r}_1 d\mathbf{r}_2 \dots d\mathbf{r}_N dp_1 dp_2 \dots dp_N = d\mathbf{r}^N dp^N.$$

Protože každý systém je reprezentován fází v Γ prostoru, soubor velkého počtu W systémů bude reprezentován „oblakem“ W fází v Γ . Označime-li hustotu tohoto oblaku (fázovou hustotou) v Γ prostoru v čase t jako $\varrho(t; \mathbf{r}_1, \dots, \mathbf{r}_N; \mathbf{p}_1, \dots, \mathbf{p}_N)$, je potom počet fází (fázových bodů), obsažených v $d\Gamma$ kolem bodu $(\mathbf{r}_1, \dots, \mathbf{r}_N; \mathbf{p}_1, \dots, \mathbf{p}_N)$ v čase t , roven

$$\varrho(t; \mathbf{r}_1, \dots, \mathbf{r}_N; \mathbf{p}_1, \dots, \mathbf{p}_N) d\mathbf{r}^N dp^N$$

a

$$(1.1) \quad \int \varrho(t; \mathbf{r}_1, \dots, \mathbf{p}_N) d\mathbf{r}^N dp^N = W.$$

Fázovou hustotu $P_N(t; \mathbf{r}_1, \dots, \mathbf{p}_N)$, odpovídající jednomu systému, tj.

$$(1.2) \quad P_N = \frac{\varrho(t; \mathbf{r}_1, \dots, \mathbf{p}_N)}{W}$$

nazveme hustotou pravděpodobnosti ve fázovém prostoru. Potom z předchozích úvah a z fyzikálního významu $P_N(t; \mathbf{r}_1, \dots, \mathbf{p}_N)$ je zřejmé, že

$$(1.3) \quad \int P_N(t; \mathbf{r}_1, \dots, \mathbf{p}_N) d\mathbf{r}^N dp^N = 1.$$

$$\int d\Gamma = \int d\mathbf{r}^N dp^N = \text{const}$$

The phase volume does not change.

The phase volume moves like an incompressible liquid...

Therefore, we can write a "continuity equation"

Liouvillův teorém

1.2 Liouvillův teorém

Sledujme dále časový vývoj souboru N částic systému. Z mechaniky je známo, že pohyb každé částice se děje ve shodě s Hamiltonovými rovnicemi daného problému; fázový bod v Γ prostoru se bude pohybovat opět podle Hamiltonových rovnic, které – zapsány pro i -tou částici – jsou

$$(1.9) \quad \begin{aligned} \dot{p}_{i_\alpha} &= - \frac{\partial H(\mathbf{r}_1, \dots, \mathbf{r}_N; \mathbf{p}_1, \dots, \mathbf{p}_N)}{\partial r_{i_\alpha}} \\ \dot{r}_{i_\alpha} &= \frac{\partial H(\mathbf{r}_1, \dots, \mathbf{r}_N; \mathbf{p}_1, \dots, \mathbf{p}_N)}{\partial p_{i_\alpha}}, \quad \alpha = 1, 2, 3, \end{aligned}$$

kde $H(\mathbf{r}_1, \dots, \mathbf{r}_N; \mathbf{p}_1, \dots, \mathbf{p}_N)$ je hamiltonián částice daného systému.

Z klasické mechaniky je známo*, že na časovou změnu veličin p_{i_α} a r_{i_α} při pohybu částic systému je možno hledět jako na kanonické transformace. Dále je známo, že fázový objem, tj. $\int d\Gamma = \int d\mathbf{r}^N dp^N$ je invariantní vzhledem ke kanonickým transformacím. Odtud dostáváme důležitý závěr: Každý bod fázového prostoru se pohybuje ve shodě s Hamiltonovými rovnicemi daného systému, stejným způsobem se pohybuje i oblak fázových bodů a navíc objem tohoto oblaku (fázový objem) se nemění, tj.

$$(1.10) \quad \int d\Gamma = \text{konst},$$

*) Viz např. L. D. Landau, E. M. Lifšič: Mechanika. Moskva (1965), s. 183.

i když se může měnit tvar tohoto objemu a tedy plocha, kterou je tento objem uzavřen.

Rovnice (1.10) je vlastně matematický zápis Liouvillova teoremu a říká, že fázový objem se pohybuje tak, jako kdyby byl nestlačitelná kapalina. Pro takovéto kapaliny však platí rovnice kontinuity (v Γ prostoru)

$$(1.11) \quad \frac{\partial \varrho}{\partial t} + \operatorname{div}(\varrho \mathbf{V}) = 0$$



Introduction

(1.11)

$$\frac{\partial \varrho}{\partial t} + \operatorname{div}(\varrho \mathbf{V}) = 0$$

nebo, což je totéž

(1.12)

$$\frac{\partial \varrho}{\partial t} + \varrho \operatorname{div} \mathbf{V} + \mathbf{V} \cdot \operatorname{grad} \varrho = 0,$$

kde \mathbf{V} je „rychlosť“ v Γ prostoru (o složkách $\dot{\mathbf{r}}_1, \dots, \dot{\mathbf{r}}_N, \dot{\mathbf{p}}_1, \dots, \dot{\mathbf{p}}_N$), která splňuje rovnici

$$(1.13) \quad \operatorname{div} \mathbf{V} = \sum_{i=1}^N \sum_{\alpha=1}^3 \left(\frac{\partial \dot{\mathbf{r}}_{i\alpha}}{\partial r_{i\alpha}} + \frac{\partial \dot{\mathbf{p}}_{i\alpha}}{\partial p_{i\alpha}} \right) = \sum_{i=1}^N \sum_{\alpha=1}^3 \left(\frac{\partial^2 H}{\partial r_{i\alpha} \partial p_{i\alpha}} - \frac{\partial^2 H}{\partial p_{i\alpha} \partial r_{i\alpha}} \right) = 0,$$

jako důsledek platnosti Hamiltonových rovnic (1.9). Rovnice (1.12) má potom tvar

(1.14)

$$\frac{\partial \varrho}{\partial t} + \mathbf{V} \cdot \operatorname{grad} \varrho = 0,$$

nebo

(1.15)

$$\frac{d\varrho}{dt} = \frac{\partial \varrho}{\partial t} + [\varrho; H] = 0,$$

což můžeme psát jako

(1.16)

$$\frac{d\varrho}{dt} = \frac{\partial \varrho}{\partial t} + \sum_{i=1}^N \mathbf{v}_i \cdot \nabla_{r_i} \varrho + \sum_{i=1}^N (\mathbf{X}_i + \mathbf{F}_i) \cdot \nabla_{p_i} \varrho = 0,$$

kde $[\varrho; H]$ jsou Poissonovy závorky, \mathbf{v}_i je rychlosť i -té částice, \mathbf{X}_i je vektor vnější síly, působící na i -tou částici, a \mathbf{F}_i je vektor vnitřní síly působící na i -tou částici, která pochází od $(N-1)$ zbývajících částic.

Po vydělení rovnic (1.14), (1.15) a (1.16) počtem W systémů dostaváme rovnice pro P_N

(1.14')

$$\frac{\partial P_N}{\partial t} + \mathbf{V} \cdot \operatorname{grad} P_N = 0,$$

(1.15')

$$\frac{dP_N}{dt} = \frac{\partial P_N}{\partial t} + [P_N; H] = 0,$$

(1.16')

$$\frac{dP_N}{dt} = \frac{\partial P_N}{\partial t} + \sum_{i=1}^N \mathbf{v}_i \cdot \nabla_{r_i} P_N + \sum_{i=1}^N (\mathbf{X}_i + \mathbf{F}_i) \cdot \nabla_{p_i} P_N = 0.$$

- Forms of Liouvil's theorem
- External and internal forces

$$\dot{p}_{i\alpha} = - \frac{\partial H(r_1, \dots, r_N; p_1, \dots, p_N)}{\partial r_{i\alpha}}$$

$$\dot{r}_{i\alpha} = \frac{\partial H(r_1, \dots, r_N; p_1, \dots, p_N)}{\partial p_{i\alpha}},$$

$\rho(t, \mathbf{r}_1, \mathbf{r}_2, \dots, \mathbf{r}_N, \mathbf{p}_1, \dots, \mathbf{p}_N)$

Collisions

If we integrate through impulses ...

$$P_N(t, \mathbf{r}_1, \dots, \mathbf{r}_N) = \int P_N(t, \mathbf{r}_1, \mathbf{r}_2, \dots, \mathbf{r}_N, \mathbf{p}_1, \dots, \mathbf{p}_N) d\mathbf{p}^N$$

Dependence on time and position

Probability density

$$P_N = \rho(t, \mathbf{r}_1, \mathbf{r}_2, \dots, \mathbf{r}_N, \mathbf{p}_1, \dots, \mathbf{p}_N) / W$$

1.3 Gibbs' H theorem

- entropy
- Reversibility and Irreversibility of the processes

Všimněme si nyní alespoň částečně časového vývoje systému N čistic, a to z hlediska vratnosti či nevratnosti procesů, které v tomto systému probíhají. Ze zkušenosti je známo, že většina procesů, které probíhají v přírodě, jsou procesy nevratné. To znamená, že entropie takového systému roste s časem; v rovnováze je potom entropie konstantní. Ve statistické fyzice je entropie úzce spjata s takzvanou H -funkcí a to vztahem

density of the probability

$$P_N = \rho(t, r_1, r_2, \dots, r_N, p_1, \dots, p_N) / W$$

$$= 0$$

$$\frac{dH}{dt} = \int \frac{\partial P_N}{\partial t} (\ln P_N + 1) d\Gamma .$$

Using Liouville's theorem, we obtain the expression

$$S = -kH = -k \int P_N \ln P_N d\Gamma, \quad \text{kde } H = \int P_N \ln P_N d\Gamma$$

Uvažíme-li nyní platnost Liouvillovy rovnice (1.15'), můžeme psát, že

$$(1.22) \quad \int \frac{\partial P_N}{\partial t} \ln P_N d\Gamma = - \int [H; P_N] \ln P_N d\Gamma = \int P_N [H; \ln P_N] d\Gamma = \\ = \int [H; P_N] d\Gamma = - \int \frac{\partial P_N}{\partial t} d\Gamma .$$

$$dH/dt = 0 \quad \rightarrow \quad dS/dt = 0$$

(1.15')

$$\frac{dP_N}{dt} = \frac{\partial P_N}{\partial t} + [P_N; H] = 0 ,$$

(1.10)

$$\int d\Gamma = \text{konst} ,$$

Rovnice (1.10) je vlastně matematický zápis Liouvillova teorému a říká, že fázový objem se pohybuje tak, jako kdyby byl nestlačitelná kapalina. Pro takovéto kapaliny však platí rovnice kontinuity (v Γ prostoru)

This means that the system does not evolve over time.....

...that is, an unequilibrium system can never reach a state of equilibrium.

Paradox - classical mechanics leads to a strictly reversible description, while nature behaves irreversibly ...

Time development – entropy increases
System entropy increases, $dS/dt > 0$

Or our approximations are inaccurate....

1.3 Gibbs' H theorem

- entropy
- Reversibility and Irreversibility of processes

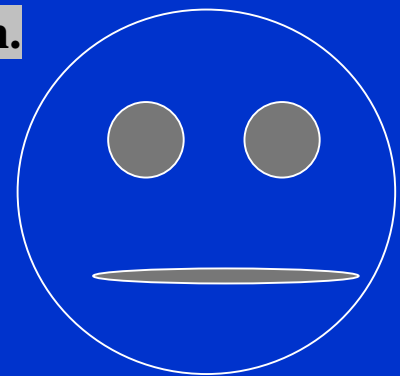
$$S = -kH = -k \int P_N \ln P_N, \quad \text{where } H = \int P_N \ln P_N$$

Using Liouville's theorem, we obtain the expression

$$\frac{dH}{dt} = 0 \longrightarrow \frac{dS}{dt} = 0$$

This means that the system does not evolve over time.....

That is, an unequilibrium system can never reach a state of equilibrium.



Paradox - classical mechanics leads to a strictly reversible description, while nature behaves irreversibly. (?) ...

Time evolution – entropy increases System entropy increases, $dS/dt > 0$

Or our approximations are inaccurate....

1.4 BBGKY equation

(Bogoljubov, Born, Green, Kirkwood, Yvon)

1.4 BBGKY equation

The function $P_N(t, \mathbf{r}_1, \mathbf{r}_2, \dots, \mathbf{r}_N, \mathbf{p}_1, \dots, \mathbf{p}_N)$ has certain properties resulting from its relationship to particles...

Using this feature we can determine some macroscopic quantities characterizing a given set of particles at point \mathbf{r}

$$\mathbf{J}(\mathbf{t}, \mathbf{r}) = \int J(\mathbf{r}) P_N(t, \mathbf{r}_1, \mathbf{r}_2, \dots, \mathbf{r}_N, \mathbf{p}_1, \dots, \mathbf{p}_N) d\mathbf{r}^N d\mathbf{p}^N \quad (1.27)$$

where $\mathbf{J}(\mathbf{r})$ is the current density operator

$$J(\mathbf{r}) = \sum p_i \delta(\mathbf{r} - \mathbf{r}_i) \quad (1.28)$$

Probability density

$$P_N = \rho(t, \mathbf{r}_1, \mathbf{r}_2, \dots, \mathbf{r}_N, \mathbf{p}_1, \dots, \mathbf{p}_N) / W$$

$$\mathbf{j}(\mathbf{r}) = \sum e/\mu * p_i \delta(\mathbf{r} - \mathbf{r}_i)$$

Current Density (Charge Flow) Operator

Koncentrace částic $n(\mathbf{r}; t)$ v místě \mathbf{r} je

$$(1.29) \quad n(\mathbf{r}; t) = \int \hat{n}(\mathbf{r}) P_N(t; \mathbf{r}_1, \dots, \mathbf{p}_N) d\mathbf{r}^N d\mathbf{p}^N,$$

kde $\hat{n}(\mathbf{r})$ je operátor polohy

$$(1.30) \quad \hat{n}(\mathbf{r}) = \sum_{i=1}^N \delta(\mathbf{r} - \mathbf{r}_i).$$

Hustota kinetické energie $E(t; \mathbf{r})$ v místě \mathbf{r} je rovna

$$(1.31) \quad E(t; \mathbf{r}) = \int \hat{E}(\mathbf{r}) P_N(t; \mathbf{r}_1, \dots, \mathbf{p}_N) d\mathbf{r}^N d\mathbf{p}^N,$$

kde $\hat{E}(\mathbf{r})$ je operátor kinetické energie

$$(1.32) \quad \hat{E}(\mathbf{r}) = \sum_{i=1}^N \frac{p_i^2}{2m_i} \delta(\mathbf{r} - \mathbf{r}_i)$$

a m_i je hmotnost i -té částice.

Pro nabité částice je dále možno zavést proudovou hustotu $j(t; \mathbf{r})$ v bodě \mathbf{r} (hustotu toku náboje) vztahem

$$(1.33) \quad j(t; \mathbf{r}) = \int \mathbf{j}(\mathbf{r}) P_N(t; \mathbf{r}_1, \dots, \mathbf{p}_N) d\mathbf{r}^N d\mathbf{p}^N,$$

kde $\mathbf{j}(\mathbf{r})$ je operátor hustoty proudu (toku náboje)

Introduction to BBGKY

(Bogoliubov, Born, Green, Kirkwood, Yvon)

Z výše uvedených úvah plyne, že je vhodné zavést takové funkce a rovnice pro tyto funkce, které budou určovat chování s částic souboru ($s \ll N$). Definujme tedy pro $s \ll N$ funkci $F_s(t; \mathbf{r}_1, \dots, \mathbf{r}_s; \mathbf{p}_1, \dots, \mathbf{p}_s)$ tímto způsobem:

$$(1.38) \quad F_s(t; \mathbf{r}_1, \dots, \mathbf{r}_s; \mathbf{p}_1, \dots, \mathbf{p}_s) = V^s P_s(t; \mathbf{r}_1, \dots, \mathbf{p}_s) =$$

$$= V^s \int \dots \int P_N(t; \mathbf{r}_1, \dots, \mathbf{r}_N; \mathbf{p}_1, \dots, \mathbf{p}_N) d\mathbf{r}_{s+1} \dots d\mathbf{r}_N, d\mathbf{p}_{s+1} \dots d\mathbf{p}_N$$

pro $s = 1, 2, 3, \dots$

Z normovací podmínky

$$(1.39) \quad \frac{1}{V^s} \int \dots \int F_s(t; \mathbf{r}_1, \dots, \mathbf{r}_s; \mathbf{p}_1, \dots, \mathbf{p}_s) d\mathbf{r}_1 \dots d\mathbf{r}_s d\mathbf{p}_1 \dots d\mathbf{p}_s = 1$$

$V^s F_s(t, \mathbf{r}_1, \dots, \mathbf{r}_s, \mathbf{p}_1, \dots, \mathbf{p}_s)$ is the probability that the group of S particles from the set of N particles will be in time t in the element $d\mathbf{r}_1, \dots, d\mathbf{r}_s, d\mathbf{p}_1 \dots d\mathbf{p}_s$ regardless of the state of the remaining ($N-s$) particles.

For interacting particles

Let's narrow down the generality of the Hamiltonian a bit

(1.42)

$$\frac{\partial P_N}{\partial t} - [H; P_N] = 0.$$

Probability density

$$P_N = \rho(t, r_1, r_2, \dots, r_N, p_1, \dots, p_N) / W$$

Hamiltonovu funkci H pro N vzájemně interagujících částic můžeme zapsat ve tvaru

$$(1.43) \quad H = \sum_{i=1}^N \left[\frac{p_i^2}{2m_i} + U_i(r_i) \right] + \sum_{\substack{i,j=1 \\ i < j}}^N \Phi_{ij} = \sum_{i=1}^N H_i(r_i, p_i) + \sum_{\substack{i,j=1 \\ i < j}}^N \Phi_{ij},$$

kde $H_i(r_i, p_i)$ je hamiltonián samotné i -té částice a $U_i(r_i)$ je potenciál, který je způsobený efekty na stěnách a vnějšími silami. $\Phi_{ij} := \Phi(|r_i - r_j|)$ je interakční potenciál mezi i -tou a j -tou částicí.

Použitím rovnice (1.43) můžeme Liouvillovu rovnici (1.42) přepsat do tvaru

$$(1.44) \quad \frac{\partial P_N}{\partial t} - \sum_{i=1}^N [H_i; P_N] - \sum_{\substack{i,j=1 \\ i < j}}^N [\Phi_{ij}; P_N] = 0.$$

Budeme-li dále násobit (1.44) V^s a integrovat s ohledem na $dr_{s+1} \dots dr_N dp_{s+1} \dots dp_N$ (přes fázový prostor $(N - s)$ částic), dostaneme

$$(1.45) \quad \frac{\partial F_s}{\partial t} = \sum_{i=1}^N V^s \int \dots \int [H_i; P_N] dr_{s+1} \dots dr_N dp_{s+1} \dots dp_N +$$

$$+ \sum_{\substack{i,j=1 \\ i < j}}^N V^s \int \dots \int [\Phi_{ij}; P_N] dr_{s+1} \dots dr_N dp_{s+1} \dots dp_N,$$

$V^s F_s(t, r_1, \dots, r_s, p_1 \dots p_s)$ is the probability that the group of S particles from the set of N particles will be located at time t in the element $dr_1, \dots, dr_s, dp_1 \dots dp_s$ regardless of the state of the remaining $(N-s)$ particles.

BBGKY Equation

- After many modifications
- After many restrictions
- After many simplifications

In the limit.

Budeme-li dále předpokládat, že pro $|r_i| \rightarrow \infty$ je $(\partial P_N / \partial r_j) \rightarrow 0$ a pro $|p_j| \rightarrow \infty$ je $(\partial P_N / \partial p_j) \rightarrow 0$, dostaneme integraci per partes relace

Shrnutím předchozích výsledků dostáváme konečně požadovanou rovnici pro F_s ve tvaru

$$(1.52) \quad \frac{\partial F_s}{\partial t} = [H_s; F_s] + \frac{N-s}{V} \sum_{i=1}^s \int [\Phi_{i,s+1}; F_{s+1}] dr_{s+1} dp_{s+1},$$

kde

$$(1.53) \quad H_s = \sum_{i=1}^s H_i(r_i, p_i) + \sum_{\substack{i,j=1 \\ i < j}}^s \Phi_{ij}$$

je Hamiltonova funkce uzavřeného systému s částicemi.

S+1

Φ_{ij} is interaction potential between particles i and j

F_s is a function of F_{s+1} system of equations

We are where we were!!

BBGKY equation of application at s=1, s=2

- After many modifications
- After many restrictions
- After many simplifications

Shrnutím předchozích výsledků dostáváme konečně požadovanou rovnici pro F_s ve tvaru

$$(1.52) \quad \frac{\partial F_s}{\partial t} = [H_s; F_s] + \frac{N-s}{V} \sum_{i=1}^s \int [\Phi_{i,s+1}; F_{s+1}] d\mathbf{r}_{s+1} d\mathbf{p}_{s+1},$$

Velmi důležitý a pro fyziku plazmatu nepostradatelný je tvar rovnice (1.52) pro $s = 1$ a $s = 2$. Pro $s = 1$ dostaneme

$$(1.54) \quad \boxed{S=1} \quad \frac{\partial F_1}{\partial t} = \nabla_{\mathbf{r}_1} H_1 \cdot \nabla_{\mathbf{p}_1} F_1 - \nabla_{\mathbf{p}_1} H_1 \cdot \nabla_{\mathbf{r}_1} F_1 + \\ + \frac{N-1}{V} \int (\nabla_{\mathbf{r}_1} \Phi_{12} \cdot \nabla_{\mathbf{p}_1} F_2 - \nabla_{\mathbf{p}_1} \Phi_{12} \cdot \nabla_{\mathbf{r}_1} F_2) d\mathbf{r}_2 d\mathbf{p}_2$$

a pro $s = 2$ dostaneme

$$(1.55) \quad \boxed{S=2} \quad \frac{\partial F_2}{\partial t} = [H_1 + H_2 + \Phi_{12}; F_2] + \frac{N-2}{V} \sum_{i=1}^2 [\Phi_{i3}; F_3] d\mathbf{r}_3 d\mathbf{p}_3.$$

Φ_{ij} is interaction potential between particles i and j

F_s is a function of F_{s+1}

system of equations

Derivation of the Boltzmann equation

Shrnutím předchozích výsledků dostáváme konečně požadovanou rovnici pro F_s ve tvaru

$$(1.52) \quad \frac{\partial F_s}{\partial t} = [H_s; F_s] + \frac{N-s}{V} \sum_{i=1}^s \int [\Phi_{i,s+1}; F_{s+1}] dr_{s+1} dp_{s+1},$$

$$\lim_{\substack{V \rightarrow \infty \\ N \rightarrow \infty}} \frac{V}{N} = v, \quad 0 < v < \infty;$$

v je potom převrácená hodnota koncentrace n , $v = 1/n$. Rovnice (1.52) má potom tvar*

$$(1.56) \quad \frac{\partial F_s}{\partial t} = [H_s; F_s] + \frac{1}{v} \sum_{i=1}^s \int [\Phi_{i,s+1}; F_{s+1}] dr_{s+1} dp_{s+1}.$$

Finding solutions to B. equation

■ In the shape of a row

v je potom převrácená hodnota koncentrace n, v = 1/n. Rovnice (1.52) má potom tvar*

$$(1.56) \quad \frac{\partial F_s}{\partial t} = [H_s; F_s] + \frac{1}{v} \sum_{i=1}^s \int [\Phi_{i,s+1}; F_{s+1}] dr_{s+1} dp_{s+1}.$$

v=1/n

Sledujme tedy model klasického zředěného plynu, kdy $r_0^3/v \ll 1$, tj. interakční potenciál je krátkého dosahu a koncentrace částic je nízká. Naším dalším úkolem je výpočet funkce F_s . K tomuto účelu rozložme F_s do řady podle malého parametru r_0^3/v . Z rovnic (1.56) a (1.57) je zřejmé, že z formálního hlediska můžeme místo parametru r_0^3/v přijmout parametr $1/v$, aniž se změní obecnost daného postupu. Položme proto

$$(1.58) \quad F_s = F_s^{(0)} + \frac{1}{v} F_s^{(1)} + \frac{1}{v^2} F_s^{(2)} + \dots$$

Dosadíme-li nyní daný rozklad do rovnice (1.56) a porovnáme-li členy obsahující stejné mocniny $1/v$, dostaneme:

$$(1.59) \quad \frac{\partial F_s^{(0)}}{\partial t} = [H_s; F_s^{(0)}], \quad \rightarrow F_s^{(0)}$$

$$(1.60) \quad \frac{\partial F_s^{(1)}}{\partial t} = [H_s; F_s^{(1)}] + \int \left[\sum_{i=1}^s \Phi_{i,s+1}; F_{s+1}^{(0)} \right] dr_{s+1} dp_{s+1} \rightarrow F_s^{(1)}$$

atd.

Máme tedy rovnice typu $\rightarrow F_s^{(2)}$

$$(1.61) \quad \frac{\partial}{\partial t} \Phi(t; r_1, \dots, p_s) = [H_s; \Phi(t; r_1, \dots, p_s)] + f(t; r_1, \dots, p_s).$$

nr₀³<<1

2. Mutual Interaction of particles

We already have the equations

- We will analyze elastic collisions
- Collisions e- neutral, e- ion, e-e....

$$(1.59) \quad \frac{\partial F_s^{(0)}}{\partial t} = [H_s; F_s^{(0)}],$$

$$F_s^{(0)}$$

$$(1.60) \quad \frac{\partial F_s^{(1)}}{\partial t} = [H_s; F_s^{(1)}] + \int \left[\sum_{i=1}^s \Phi_{i,s+1}; F_{s+1}^{(0)} \right] dr_{s+1} dp_{s+1}$$

$$F_s^{(1)}$$

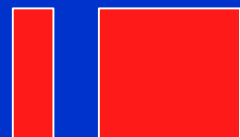
atd.

.... What we need is the knowledge of particle interaction
Elementary Processes in a Different Concept

Φ_{ij} is the interaction potential between the particle i and particle j

F_s is a function of F_{s+1}

system of equations



$V^s F_s(t, r_1, \dots, r_s, p_1, \dots, p_s)$ is the probability that the group s of particles from the set of N particles will be at time t located in the element $dr_1, \dots, dr_s, dp_1, \dots, dp_s$ regardless of the state of the remaining (N-s) particles.

Interaction of particles

- We will analyze elastic collisions
- Collisions e- neutral, e- ion, e-e.....

Conservation Laws

The force exerted by particle 2 on particle 1 is \mathbf{F}_{12}

$$\mathbf{F}_{12} = -\mathbf{F}_{21} \quad \boxed{2.1}$$

We will assume that the forces decrease fast enough with r

Laboratory and centrum of gravity of system

Pohyb každé z těchto částic je ve shodě s Newtonovými rovnicemi, tj.

$$m_1 \ddot{\mathbf{r}}_1 = \mathbf{F}_{12}$$

$$m_2 \ddot{\mathbf{r}}_2 = \mathbf{F}_{21}.$$

Těžiště systému dvou částic \mathbf{r}_c je nyní určeno rovnicí

$$\mathbf{r}_c = \frac{m_1 \mathbf{r}_1 + m_2 \mathbf{r}_2}{m_1 + m_2} = \mu_1 \mathbf{r}_1 + \mu_2 \mathbf{r}_2,$$

$$\mu_1 = \frac{m_1}{m_1 + m_2}, \quad \mu_2 = \frac{m_2}{m_1 + m_2}, \quad \mu_1 + \mu_2 = 1.$$

$$(m_1 + m_2) \ddot{\mathbf{r}}_c = \mathbf{F}_{12} + \mathbf{F}_{21} = 0$$

$$\cancel{\frac{m_1 m_2}{m_1 + m_2} = \mu, \quad [\text{kg}]}$$

different
Definitions
of μ

Attention μ_1 and μ_2 are dimensionless

$$\dot{\mathbf{r}}_c = \mu_1 \dot{\mathbf{r}}_1 + \mu_2 \dot{\mathbf{r}}_2.$$

$$\dot{\mathbf{r}}_c = \text{konst} = \mathbf{v}_c.$$

$$\begin{aligned} \mathbf{q}_1(t) &= \mathbf{r}_1 - \mathbf{r}_c, \\ \mathbf{q}_2(t) &= \mathbf{r}_2 - \mathbf{r}_c. \end{aligned}$$

The center of mass of a two-particle system moves at a constant speed throughout the collision process

Relative velocity during a collision

Relative velocity $\mathbf{g}_{12} = \dot{\mathbf{r}}_{12}$

- Maintaining Relative Velocity
- Movement around the power center

The laws of conservation of energy imply

$$\mathbf{g}_{21}^2 = \mathbf{g}'_{21}^2.$$

Označme-li $|\mathbf{g}_{21}| = g$ a $|\mathbf{g}'_{21}| = g'$ máme pak, že



The absolute value of the relative velocities is conserved during a collision, only their direction can change

$$\ddot{\mathbf{r}}_1 = \frac{\mathbf{F}_{12}}{m_1}, \quad \ddot{\mathbf{r}}_2 = \frac{\mathbf{F}_{21}}{m_2}.$$

$$\ddot{\mathbf{r}}_2 - \ddot{\mathbf{r}}_1 = \frac{\mathbf{F}_{21}}{m_2} - \frac{\mathbf{F}_{12}}{m_1} = \left(\frac{1}{m_2} + \frac{1}{m_1} \right) \mathbf{F}_{21} = \frac{1}{\mu} \mathbf{F}_{21}$$

$$\frac{d\dot{\mathbf{r}}_{21}}{dt} = \frac{1}{\mu} \mathbf{F}_{21}.$$

????..is ok...

$$\frac{m_1 m_2}{m_1 + m_2} = \mu,$$

To však ale znamená, že naše úloha se redukuje na pohyb fiktivní redukované hmotnosti μ , která se pohybuje kolem silového centra ve vzdálenosti $r = |\mathbf{r}_2 - \mathbf{r}_1|$. Silové centrum je nyní totožné s polohou částice 1.

Motion of a fictitious particle

$$\frac{d\dot{\mathbf{r}}_{21}}{dt} = \frac{1}{\mu} \mathbf{F}_{21},$$

- Motion in a plane

To však ale znamená, že naše úloha se redukuje na pohyb fiktivní redukované hmotnosti μ , která se pohybuje kolem silového centra ve vzdálenosti $\mathbf{r} = \mathbf{r}_2 - \mathbf{r}_1$. Silové centrum je nyní totožné s polohou částice 1. With the position of the center of mass ???

Ukážeme si dále, že daný pohyb je pohybem rovinným. K tomuto účelu násobme (2.25) vektorově vektorem $\mathbf{r} = \mathbf{r}_2 - \mathbf{r}_1$. Dostáváme

$$(2.26) \quad (\mathbf{r}_2 - \mathbf{r}_1) \times \frac{d^2(\mathbf{r}_2 - \mathbf{r}_1)}{dt^2} = \frac{1}{\mu} \mathbf{F}_{21} \times (\mathbf{r}_2 - \mathbf{r}_1). \quad \text{Parallel Vectors}$$

Protože ale vzájemné působící síly jsou centrální, je pravá strana (2.26) rovna nule. Po kratších úpravách je potom možno (2.26) přepsat do tvaru


$$(2.27) \quad \frac{d}{dt} \left(\mathbf{r} \times \frac{d\mathbf{r}}{dt} \right) = 0,$$

odkud dostáváme, že

$$(2.28) \quad \mathbf{r} \times \frac{d\mathbf{r}}{dt} = \mathbf{k},$$

kde \mathbf{k} je konstantní vektor (je určen z počátečních podmínek našeho problému). To ale znamená, že vektor \mathbf{r} i vzájemná rychlosť částic leží stále v jedné rovině a tedy námi vyšetřovaný vzájemný pohyb částic je skutečně rovinný.

Derivation of the Boltzmann equation

Shrnutím předchozích výsledků dostáváme konečně požadovanou rovnici pro F_s ve tvaru

$$(1.52) \quad \frac{\partial F_s}{\partial t} = [H_s; F_s] + \frac{N-s}{V} \sum_{i=1}^s \int [\Phi_{i,s+1}; F_{s+1}] dr_{s+1} dp_{s+1},$$

$$\lim_{\substack{V \rightarrow \infty \\ N \rightarrow \infty}} \frac{V}{N} = v, \quad 0 < v < \infty;$$

v je potom převrácená hodnota koncentrace n , $v = 1/n$. Rovnice (1.52) má potom tvar*)

$$(1.56) \quad \frac{\partial F_s}{\partial t} = [H_s; F_s] + \frac{1}{v} \sum_{i=1}^s \int [\Phi_{i,s+1}; F_{s+1}] dr_{s+1} dp_{s+1}.$$

2. Interaction of particles

We already have the equations

- We will analyze elastic collisions
- Collisions e- neutral, e- ion, e-e.....

$$(1.59) \quad \frac{\partial F_s^{(0)}}{\partial t} = [H_s; F_s^{(0)}],$$

$$(1.60) \quad \frac{\partial F_s^{(1)}}{\partial t} = [H_s; F_s^{(1)}] + \int \left[\sum_{i=1}^s \Phi_{i,s+1}; F_{s+1}^{(0)} \right] d\mathbf{r}_{s+1} d\mathbf{p}_{s+1}$$

atd.

.... What we need is knowledge of the interaction of particles....

Elementary Processes in a Different Concept

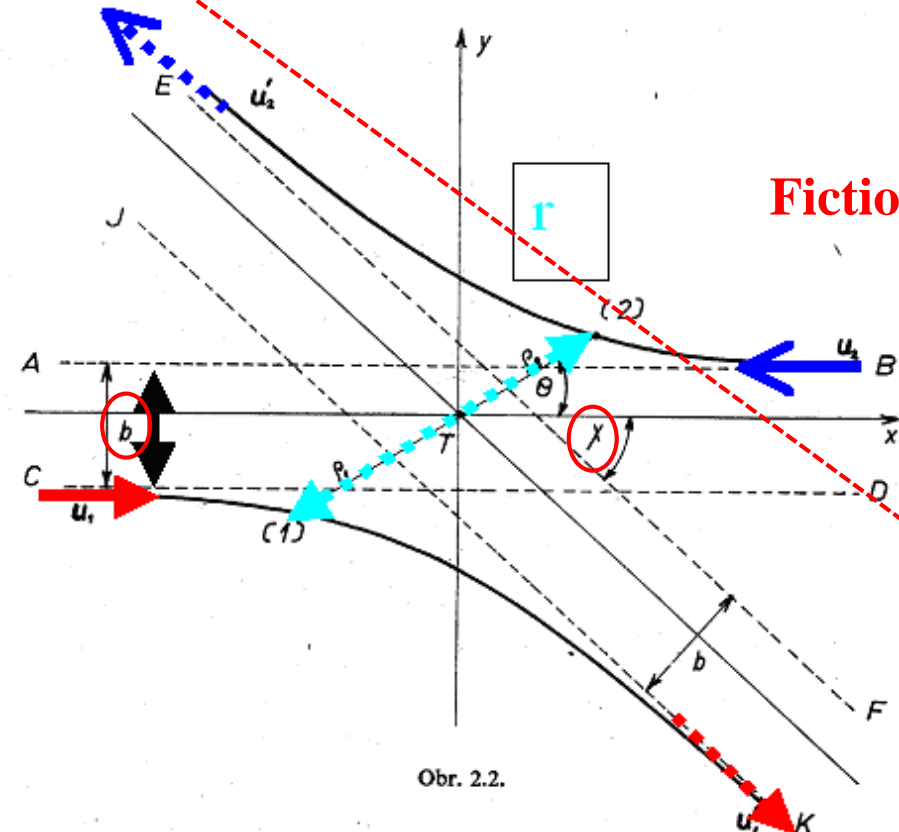
3.1 Základní úvahy

Předpokládejme pro jednoduchost, že máme systém N identických částic, z nichž žádná nemá vnitřní stupeň volnosti. Mechanický stav jedné částice bude potom charakterizován třemi prostorovými souřadnicemi \mathbf{r} a třemi složkami rychlosti \mathbf{v} ; tedy bodem v šestirozměrném μ prostoru. Definujeme nyní rozdělovací funkci $f(\mathbf{r}, \mathbf{v}, t)$ následujícím způsobem: $f(\mathbf{r}, \mathbf{v}, t) d\mathbf{r} d\mathbf{v}$ nechť je pravděpodobný počet částic, které se nacházejí v objemovém elementu $d\mu$ prostoru $d\mathbf{r} d\mathbf{v}$ v okolí bodu \mathbf{r}, \mathbf{v} v čase t , nebo jinými slovy, pravděpodobný počet částic, které se v čase t nacházejí v intervalu $(\mathbf{r}, \mathbf{r} + d\mathbf{r})$ a $(\mathbf{v}, \mathbf{v} + d\mathbf{v})$. Z definice $f(\mathbf{v}, \mathbf{r}, t)$ je ihned zřejmé, že celkový počet částic bude dán výrazem

$$(3.1) \quad N = \iint f(\mathbf{r}, \mathbf{v}, t) d\mathbf{r} d\mathbf{v},$$

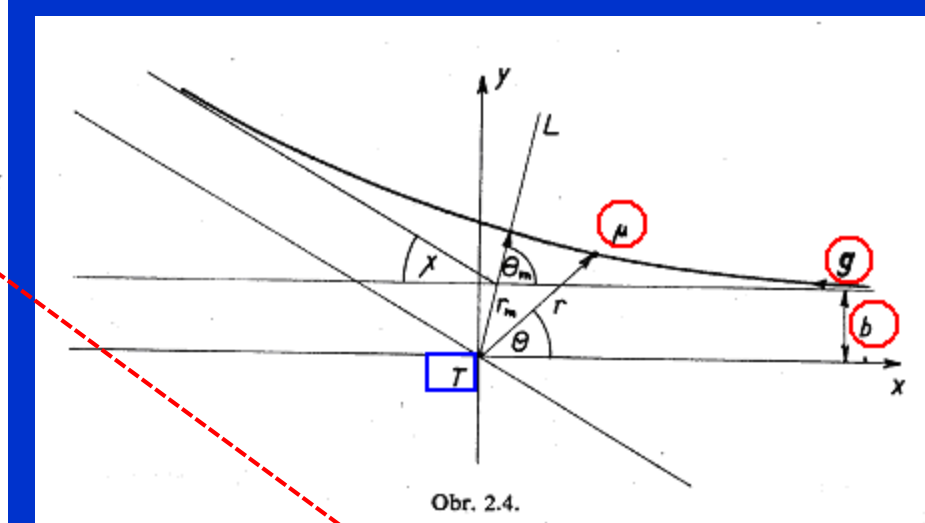
~~Center of mass system~~

$$\begin{aligned}x_1 &= -\mu_2 r \cos \theta, & x_2 &= \mu_1 r \cos \theta, \\y_1 &= -\mu_2 r \sin \theta, & y_2 &= \mu_1 r \sin \theta.\end{aligned}$$



- Motion in the center of mass system
 - It is advantageous to work in the center of mass system

Fiction of the motion of a particle in a force field



K popisu takového pohybu plně postačí výše uvedené integrály pohybu (2.33) a (2.34). Tyto rovnice nám společně s rovnicemi (2.36) a (2.38) tvoří soustavu dvou diferenciálních rovnic.

$$(2.39) \quad \mu b g = \mu x^z \theta$$

$$(2.40) \quad \frac{1}{2}\mu g^2 = \frac{1}{2}\mu(r^2 + r^2\dot{\theta}^2) + U(r)$$

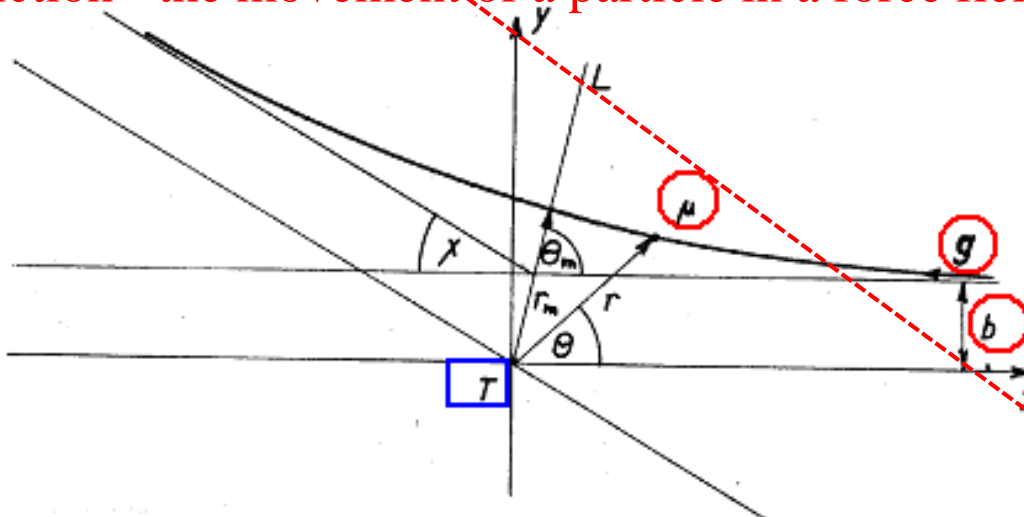
pro dvě neznámé r a θ .

Motion in the Field of Central Forces

- Collision parameter
- Dispersion angle

To však ale znamená, že naše úloha se redukuje na pohyb fiktivní redukované hmotnosti μ , která se pohybuje kolem silového centra ve vzdálenosti $r = r_2 - r_1$. Silové centrum je nyní totožné s polohou částice 1.

Fiction - the movement of a particle in a force field



Obr. 2.4.

Derivation

K popisu takového pohybu plně postačí výše uvedené integrály pohybu (2.33) a (2.34). Tyto rovnice nám společně s rovnicemi (2.36) a (2.38) tvoří soustavu dvou diferenciálních rovnic.

(2.39)

$$\mu b g = \mu r^2 \dot{\theta}$$

(2.40)

$$\frac{1}{2} \mu g^2 = \frac{1}{2} \mu (r^2 + r^2 \dot{\theta}^2) + U(r)$$

pro dvě neznámé r a $\dot{\theta}$.

$$\frac{1}{2} \mu g^2 = \frac{1}{2} \mu \left(\dot{r}^2 + \frac{b^2 g^2}{r^2} \right) + U(r),$$

$$\dot{r}^2 = g^2 \left(1 - \frac{b^2}{r^2} - \frac{U(r)}{\frac{1}{2} \mu g^2} \right)$$

Úhel odklonu χ je nyní podle (2.42)

(2.49)

$$\chi = \pi - 2\theta_m = \pi - 2 \int_{r_m}^{\infty} \left[\frac{r^4}{b^2} - r^2 - \frac{2r^4 U(r)}{\mu g^2 b^2} \right]^{-1/2} dr.$$

Elementary consequences

The laws of conservation of energy imply

$$\frac{v_1^2}{\text{before}} - \frac{v_2^2}{\text{after}} = \frac{m_2}{m_1} v_1'^2.$$

- Energy transfer in a collision
- A large difference in masses
- Equal masses

What Leads to a Relationship

$$\eta = m_2/m_1$$

before $v_2^2 - v_2'^2 = \frac{2m_1 m_2}{(m_1 + m_2)^2} v_1'^2 (1 - \cos \chi),$
after

Jestliže $m_2 = m_1$, pak $\eta = 1$

$$(2.72) \quad \theta_2 \sim \frac{\chi}{2}, \quad \theta_1 \sim \frac{\pi}{2} - \frac{\chi}{2}$$

a funkce \bar{A} je maximální

$$(2.73) \quad \boxed{\bar{A} \cong \frac{1}{2}.}$$

Jestliže $m_2 \gg m_1$, pak $\eta \gg 1$

$$(2.74) \quad \theta_2 \sim \frac{m_1}{m_2} \sin \chi, \quad \theta_1 \sim \frac{\pi}{2} - \frac{\chi}{2}$$

a

$$(2.75) \quad \boxed{\bar{A} \sim \frac{2m_1}{m_2}.}$$

Ar⁺ with Ar

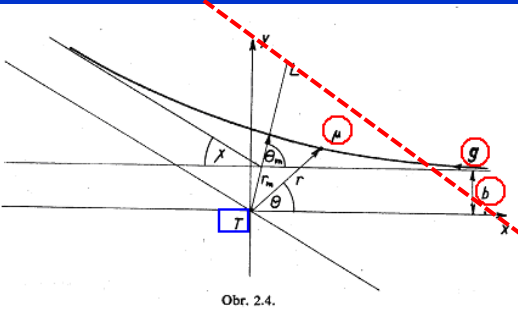
$$\Delta \sim 1/2$$

e⁻ with Ar

$$\Delta \sim 2(1/2000)/40 = 1/40\,000$$

Differential cross-section.

- Elastic collisions.
 - Differential cross-section.



N

N particles per second

$$dn = \sigma(\chi) N d\Omega$$

~~Differential cross-section of elastic collision~~

$$dn = N b \, db \, d(\varepsilon) = \sigma(\chi) \, N \, d\Omega = N \, \sigma(\chi) \, \sin\chi \, d\chi \, d(\varepsilon)$$

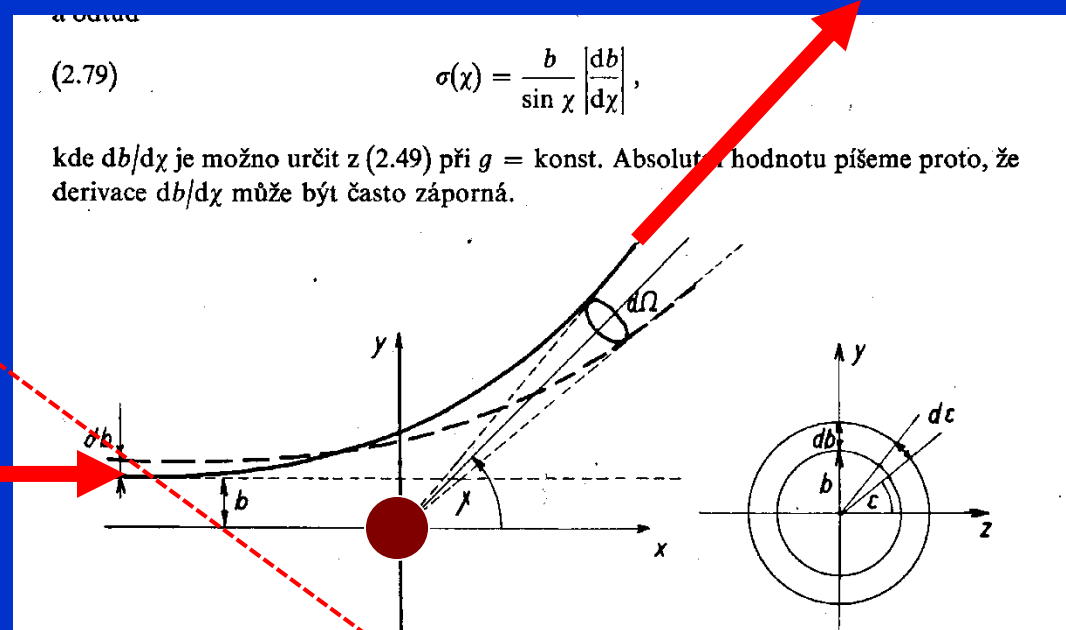
$$\sigma(\chi) = (b/\sin\chi) \cdot db/d\chi$$

Differential cross-section of elastic collision

Total effective cross-section

- Total effective cross-section
- The Problem with the Experiment

$N(v)$



$$dn = Nb db d(\varepsilon)$$

$$dn = \sigma(\chi) N d\Omega$$

Total cross-section of elastic collision

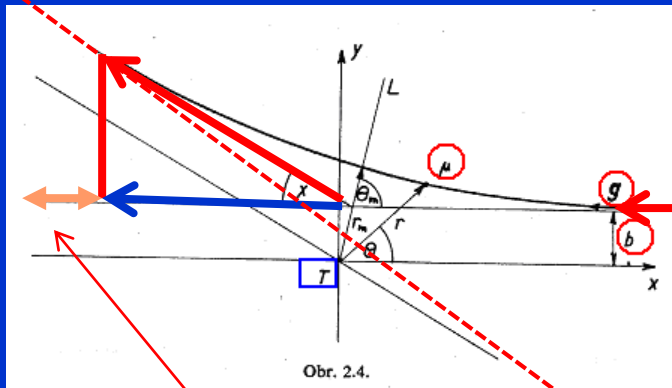
$$\sigma_c(v) = \int_{\chi=0}^{\pi} \sigma(\chi) d\Omega = 2\pi \int_{\chi=0}^{\pi} \sigma(\chi) \sin \chi d\chi = \boxed{2\pi \int_0^{\infty} b db}$$

$\chi \dots 0-\pi$ $b \dots 0-\infty$

Divergent integral ????

$\sigma_c(v) = \pi D^2$ for the collision of two perfectly flexible spheres

Transport cross-section



Transport cross-section

$(1 - \cos \chi)$

- Transport cross-section.
- cross-section of deflection

Jak jsme si ukázali, celkový účinný průřez σ_c z hlediska klasické mechaniky diverguje, a proto je pro naše další úvahy nepoužitelný. V kinetické teorii proto zavádíme veličiny typu

$$(2.90) \quad Q^{(l)} = 2\pi \int_0^\pi \sigma(\chi) (1 - \cos^l \chi) \sin \chi \, d\chi = \\ = 2\pi \int_0^\infty (1 - \cos^l \chi) b \, db, \quad l = 1, 2, \dots,$$

které již mohou být v některých případech konečné a mají tedy jistý fyzikální smysl.
Nejčastěji se vyskytují veličiny $Q^{(1)}$ a $Q^{(2)}$. Veličinu

$$(2.91) \quad Q^{(1)} = 2\pi \int_0^\pi \sigma(\chi) (1 - \cos \chi) \sin \chi \, d\chi$$

nazveme transportním průřezem, protože faktor $(1 - \cos \chi) \mu g$ určuje snížení impulsu částice v daném směru (viz obr. 2.4).

Veličinu

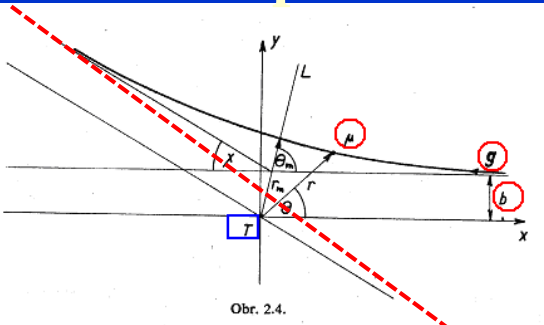
$$(2.92) \quad Q^{(2)} = 2\pi \int_0^\pi \sigma(\chi) (1 - \cos^2 \chi) \sin \chi \, d\chi$$

nazveme průřezem odklonu, protože faktor

$$(2.93) \quad \frac{\mu g^2}{2} (1 - \cos^2 \chi) = \frac{\mu g^2}{2} \sin^2 \chi$$

charakterizuje přírůstek kinetické energie ve směru kolmém na směr původní; charakterizuje nám tedy jistým způsobem odklon částice od původního směru.

Coulomb particle scattering



- Coulomb particle scattering
- Rutherford's formula

Úhel odklonu χ je nyní podle (2.42)

$$(2.49) \quad \chi = \pi - 2\theta_m = \pi - 2 \int_{r_m}^{\infty} \left[\frac{r^4}{b^2} - r^2 - \frac{2r^4 U(r)}{\mu g^2 b^2} \right]^{-1/2} dr.$$

$U(r) = Z_1 Z_2 e^2 / 4\pi \epsilon_0 r$... Interaction potential

Úhel θ_m je nyní podle (2.48) dán vztahem

$$(2.95) \quad \theta_m = \int_{r_m}^{\infty} \frac{1}{r} \left[\frac{r^2}{b^2} - 1 - \frac{Z_1 Z_2 e^2 r}{(4\pi \epsilon_0) \frac{1}{2} \mu g^2 b^2} \right]^{-1/2} dr,$$

kde r_m je nezáporný kořen rovnice

$$(2.96) \quad 1 - \frac{b^2}{r_m^2} - \frac{Z_1 Z_2 e^2}{(4\pi \epsilon_0) \frac{1}{2} \mu g^2 r_m} = 0.$$

Zavedeme-li nyní parametr

$$(2.97) \quad U(r) = \mu g^2 * b_0 / r \quad b_0 = \frac{Z_1 Z_2 e^2}{4\pi \epsilon_0 \mu g^2}$$

a novou proměnnou $u = b/r$, je možno (2.95) upravit na

$$(2.98) \quad \theta_m = \int_0^{u_m} \frac{du}{\left(1 - 2 \frac{b_0}{b} u - u^2 \right)^{1/2}},$$

kde u_m je nyní kladný kořen rovnice

$$(2.99) \quad 1 - 2 \frac{b_0}{b} u_m - u_m^2 = 0;$$

$$(2.100) \quad u_m = - \frac{b_0}{b} + \sqrt{\left(\frac{b_0}{b} \right)^2 + 1}.$$

We gett $g(\chi/2) = b_0/b$, which is the relation χ , b_0 a b

Věnujme se nyní výpočtu diferenciálního srážkového průřezu $\sigma(\chi)$ pro případ coulombovských sil. Ukázali jsme si, že obecný výraz pro $\sigma(\chi)$ je dán vztahem (2.79), tj.

$$(2.113) \quad \sigma(\chi) = \frac{b}{\sin \chi} \left| \frac{db}{d\chi} \right|.$$

Z rovnice (2.106) je ale zřejmě, že

$$(2.114) \quad \left| \frac{db}{d\chi} \right| = \frac{1}{2} \frac{b^2}{b_0} \frac{1}{\cos^2 \frac{\chi}{2}}$$

a

$$(2.115) \quad b = b_0 \cotg \frac{\chi}{2}.$$

Dosadime-li nyní (2.114) a (2.115) do (2.113), dostavíme téměř okamžitě požadovaný výraz pro $\sigma(\chi)$ ve tvaru

$$(2.116) \quad \sigma(\chi) = \frac{b_0^2}{4} \frac{1}{\sin^4 \frac{\chi}{2}} = \frac{Z_1^2 Z_2^2 e^4}{(4\pi \epsilon_0)^2 \mu^2 g^4} \frac{1}{4 \sin^4 \frac{\chi}{2}}$$

Toto je ale takzvaná Rutherfordova formule, kterou je možno získat ve stejném tvaru i na základě úvah kvantové mechaniky.*)

Z (2.116) je zřejmé, že $\sigma(\chi)$ nezávisí na známku náboje častic; platí tedy jak pro případ sil odpudivých, tak i pro případ sil přitažlivých. Z úvah, které se týkaly

*) Podrobněji o tom viz L. D. Landau, E. M. Lifšic: Kvantovaja mechanika. op. cit.

Coulomb particle scattering

Dropped b

Rutherford's formula

- Rutherford's formula
- Experiment.

Věnujme se nyní výpočtu diferenciálního srážkového průřezu $\sigma(\chi)$ pro případ coulombovských sil. Ukázali jsme si, že obecný výraz pro $\sigma(\chi)$ je dán vztahem (2.79), tj.

$$(2.113) \quad \sigma(\chi) = \frac{b}{\sin \chi} \left| \frac{db}{d\chi} \right|.$$

Z rovnice (2.106) je ale zřejmé, že

$$(2.114) \quad \left| \frac{db}{d\chi} \right| = \frac{1}{2} \frac{b^2}{b_0} \frac{1}{\cos^2 \frac{\chi}{2}}$$

a

$$(2.115) \quad b = b_0 \cotg \frac{\chi}{2}.$$

Dosadíme-li nyní (2.114) a (2.115) do (2.113), dostáváme téměř okamžitě požadovaný výraz pro $\sigma(\chi)$ ve tvaru

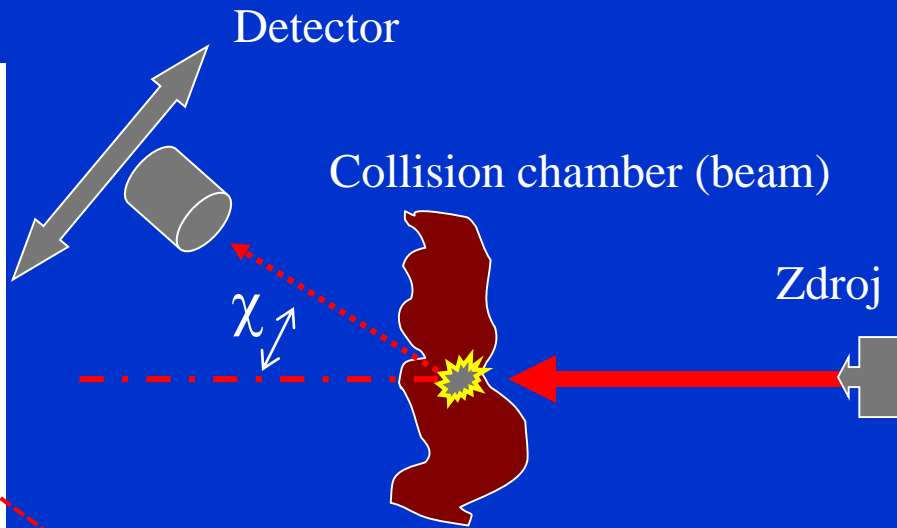
$$(2.116) \quad \boxed{\sigma(\chi) = \frac{b_0^2}{4} \frac{1}{\sin^4 \frac{\chi}{2}} = \frac{Z_1^2 Z_2^2 e^4}{(4\pi\epsilon_0)^2 \mu^2 g^4} \frac{1}{4 \sin^4 \frac{\chi}{2}}}.$$

Toto je ale takzvaná Rutherfordova formule, kterou je možno získat ve stejném tvaru i na základě úvah kvantové mechaniky.*)

Z (2.116) je zřejmé, že $\sigma(\chi)$ nezávisí na znaménku náboje částic; platí tedy jak pro případ sil odpudivých, tak i pro případ sil přitažlivých. Z úvah, které se týkaly

*) Podrobněji o tom viz L. D. Landau, E. M. Lifšic: Kvantovaja mechanika. op. cit.

$$\sigma_c(v) = \int \sigma(\chi) d\Omega = 2\pi \int \sigma(\chi) \sin \chi d\chi = 2\pi \int b db$$



The problem is with the determination of σ_c
The problem of long-range collisions

Distribution functions

$$f(\vec{r}, \vec{v}, t)$$

The number of particles with a coordinates $\mathbf{r}, \mathbf{v}, t$ in $d\mathbf{r}d\mathbf{v}$

$$f(\vec{r}, \vec{v}, t) d\vec{r} d\vec{v}$$

$$fd\vec{r}d\vec{v}$$

Particle concentration

$$n(\vec{r}, t)$$

Mean particle velocity

$$\bar{v}_0(\vec{r}, t)$$

Flow of quantity ψ through unit area moving with velocity \bar{v}_0

$$\Psi = \bar{\psi} = \int \psi(\vec{V}) \bar{V} f d\vec{V}$$

kde integrací se miní integrace přes celý rychlostní prostor a přes objem, ve kterém je daný systém uzavřen. Potom střední hodnota funkce $g(\mathbf{r}, \mathbf{v})$ je dána výrazem

$$(3.2) \quad \bar{g} = \frac{1}{N} \iint g(\mathbf{r}, \mathbf{v}) f(\mathbf{r}, \mathbf{v}, t) d\mathbf{r} d\mathbf{v},$$

Podobně pro lokální střední hodnotu (střední hodnotu, která se může obecně měnit v prostoru od bodu k bodu) funkce $g(\mathbf{r}, \mathbf{v})$ dostáváme

$$(3.3) \quad \bar{g}(\mathbf{r}, t) = \frac{1}{n} \int g(\mathbf{r}, \mathbf{v}) f(\mathbf{r}, \mathbf{v}, t) d\mathbf{v},$$

kde

$$(3.4) \quad n(\mathbf{r}, t) = \int f(\mathbf{r}, \mathbf{v}, t) d\mathbf{v}$$

je koncentrace částic v místě \mathbf{r} ; $n(\mathbf{r}, t) d\mathbf{r}$ je potom počet částic v objemu $d\mathbf{r}$ kolem bodu \mathbf{r} .*)

Pomocí definice (3.3) můžeme nyní zavést některé důležité veličiny, které budou pro nás v dalším textu nepostradatelné.

Tak například střední rychlosť částic v bodě (\mathbf{r}, t) $\bar{v}_0(\mathbf{r}, t)$ bude podle (3.3) dána vztahem

$$(3.5) \quad \bar{v}_0(\mathbf{r}, t) = \frac{1}{n} \int \mathbf{v} f(\mathbf{r}, \mathbf{v}, t) d\mathbf{v}.$$

Velmi často bývá výhodné vztahovat rychlosť částic ke střední rychlosći $\bar{v}_0(\mathbf{r}, t)$; zavedeme tedy pojem relativní rychlosći V vzhledem ke střední rychlosći $\bar{v}_0(\mathbf{r}, t)$ vztahem

$$(3.6) \quad V = \mathbf{v} - \bar{v}_0(\mathbf{r}, t).$$

Potom s ohledem na definici $\bar{v}_0(\mathbf{r}, t)$ (3.5) je zřejmé, že

$$(3.7) \quad \bar{V} = \bar{\mathbf{v}} - \bar{v}_0(\mathbf{r}, t) = 0.$$

V systému, který není v rovnovážném stavu, existuje jistý počet gradientů, jako například koncentrace, relativní rychlosť, teploty atd., které způsobují přenos hmotnosti, impulsu, teploty a dalších veličin, jež charakterizují vlastnosti částic daného systému. Označíme-li tyto veličiny jako $\psi(\mathbf{v})$, pak tok veličiny ψ jednotkovou plochou, která se pohybuje rychlosťí \bar{v}_0 ***) za jednotku času bude zřejmě roven

$$(3.8) \quad \Psi = \bar{\psi} = \int \psi(V) V f dV.$$

*) Pro jednoduchost zápisu budeme místo „ v dr kolem bodu r “ říkat „ v bod r “.

**) V dalším textu budeme vždy uvažovat tok plochou, která je v klidu vzhledem ke střední rychlosći částic systému.

Derivation of the Boltzmann equation

3.2 Odvození Boltzmannovy rovnice

Z předchozích úvah a z definice rozdělovací funkce vyplývá, že k popisu systému N častic plně postačí, budeme-li znát rozdělovací funkci tohoto systému (případně rozdělovací funkce f_i jednotlivých druhů častic systému). Budeme tedy v dalším textu sledovat zákony, kterými je určeno chování f_i , za předpokladu, že platí následující podmínky:

1. Liouvillův teorém a představy o srážkách častic platí podle našich dosavadních klasických představ;
2. plyn je natolik zředěný, že můžeme uvažovat pouze elastické binární srážky; je splněn předpoklad molekulárního chaosu, tj. stav částice 1 v bodě $(\mathbf{r}_1, \mathbf{v}_1)$ a částice 2 v bodě $(\mathbf{r}_2, \mathbf{v}_2)$ jsou na sobě nezávislé.
3. vnější síla \mathbf{F}_i , působící na i -tý druh častic, je nezávislá na rychlosti a je malá ve srovnání se silami, které vznikají v době srážek.
4. vnější síla \mathbf{F}_i , působící na i -tý druh častic, je nezávislá na rychlosti a je malá ve srovnání se silami, které vznikají v době srážek.

Mějme nyní objemový element μ prostoru se středem v bodě \mathbf{r}, \mathbf{v}_i o velikosti $d\mathbf{r} d\mathbf{v}_i$; v čase t obsahuje tento $f_i(\mathbf{r}, \mathbf{v}_i, t) d\mathbf{r} d\mathbf{v}_i$ častic i -tého druhu. Jestliže zanedbáme srážky mezi česticemi, pak v čase $t + dt$ vlivem vnější sily všechny tyto částice budou v objemovém elementu $d\mathbf{r}$ kolem bodu $\mathbf{r} + \mathbf{v}_i dt$ a v rychlostním elementu $d\mathbf{v}_i$ kolem bodu $\mathbf{v}_i + (\mathbf{F}_i/m_i) dt$ (předpokládáme, že síla \mathbf{F}_i se téměř nezmění uvnitř $d\mathbf{r}$ za dt).

Podle Liouvillova teoremu tedy platí

$$f_i(\mathbf{r} + \mathbf{v}_i dt, \mathbf{v}_i + (\mathbf{F}_i/m_i) dt, t + dt) d\mathbf{r} d\mathbf{v}_i = f_i(\mathbf{r}, \mathbf{v}_i, t) d\mathbf{r} d\mathbf{v}_i.$$

Vlivem srážek se však tyto dva členy budou lišit. Označíme-li

$$(3.32) \quad \frac{\delta f_i}{\delta t} d\mathbf{r} d\mathbf{v}_i dt$$

jako změnu počtu častic i -tého druhu v $d\mathbf{r} d\mathbf{v}_i$ způsobenou srážkami za čas dt , musí zřejmě platit

$$(3.33) \quad f_i(\mathbf{r} + \mathbf{v}_i dt, \mathbf{v}_i + (\mathbf{F}_i/m_i) dt, t + dt) d\mathbf{r} d\mathbf{v}_i - f_i(\mathbf{r}, \mathbf{v}_i, t) d\mathbf{r} d\mathbf{v}_i = \frac{\delta f_i}{\delta t} d\mathbf{r} d\mathbf{v}_i dt.$$

Rozvinemě-li první člen na levé straně (3.32) do Taylorovy řady, dostaneme

$$(3.34) \quad \frac{\partial f_i}{\partial t} + \mathbf{v}_i \cdot \nabla_{\mathbf{r}} f_i + \frac{\mathbf{F}_i}{m_i} \cdot \nabla_{\mathbf{v}_i} f_i = \frac{\delta f_i}{\delta t}.$$

Na pravé straně (3.33) stojí nyní srážkový člen $(\delta f_i/\delta t)$, kterému nyní musíme dát explicitní tvar. Člen (3.32) je roven počtu častic i -tého druhu, které se dostanou do objemového elementu $d\mathbf{r} d\mathbf{v}_i$ vlivem srážek s ostatními druhy častic za čas dt (označí-

(1.15')

$$\frac{dP_N}{dt} = \frac{\partial P_N}{\partial t} + [P_N; H] = 0,$$

Na pohyb častic systému je možno se dívat jako na kanonické transformace Jakobian transformace je 1 a proto je

$$\int d\Gamma = \int d\mathbf{r}^N d\mathbf{p}^N = \text{const},$$

Fázový objem se nemění. Fázový objem se pohybuje jako nestlačitelná kapalina... proto můžeme napsat „rovnici kontinuity“

BBGKY equations applied for $s=1, s=2$

Shrnutím předchozích výsledků dostáváme konečně požadovanou rovnici pro F_s ve tvaru

$$(1.52) \quad \frac{\partial F_s}{\partial t} = [H_s; F_s] + \frac{N-s}{V} \sum_{i=1}^s \int [\Phi_{i,s+1}; F_{s+1}] d\mathbf{r}_{s+1} d\mathbf{p}_{s+1},$$

Velmi důležitý a pro fyziku plazmatu nepostradatelný je tvar rovnice (1.52) pro $s=1$ a $s=2$. Pro $s=1$ dostaneme

$$(1.54) \quad \frac{\partial F_1}{\partial t} = \nabla_{\mathbf{r}_1} H_1 \cdot \nabla_{\mathbf{p}_1} F_1 - \nabla_{\mathbf{p}_1} H_1 \cdot \nabla_{\mathbf{r}_1} F_1 + \frac{N-1}{V} \int (\nabla_{\mathbf{r}_1} \Phi_{12} \cdot \nabla_{\mathbf{p}_1} F_2 - \nabla_{\mathbf{p}_1} \Phi_{12} \cdot \nabla_{\mathbf{r}_1} F_2) d\mathbf{r}_2 d\mathbf{p}_2$$

a pro $s=2$ dostaneme

$$(1.55) \quad \frac{\partial F_2}{\partial t} = [H_1 + H_2 + \Phi_{12}; F_2] + \frac{N-2}{V} \sum_{i=1}^2 [\Phi_{i3}; F_3] d\mathbf{r}_3 d\mathbf{p}_3.$$

Taylor function for G

$$G(\vec{A} + \vec{X}) = G(\vec{A}) + \vec{X} \cdot \nabla_{\vec{A}} G$$

3.2 Odvození Boltzmannovy rovnice

Z předchozích úvah a z definice rozdělovací funkce vyplývá, že k popisu systému N častic plně postačí, budeme-li znát rozdělovací funkci tohoto systému (případně rozdělovací funkce f_i jednotlivých druhů častic systému). Budeme tedy v dalším textu sledovat zákony, kterými je určeno chování f_i , za předpokladu, že platí následující podmínky:

1. Liouvillův teorém a představy o srážkách častic platí podle našich dosavadních klasických představ;
2. plyn je natolik zředěný, že můžeme uvažovat pouze elastické binární srážky;
3. je splněn předpoklad molekulárního chaosu, tj. stav částice 1 v bodě $(\mathbf{r}_1, \mathbf{v}_1)$ a částice 2 v bodě $(\mathbf{r}_2, \mathbf{v}_2)$ jsou na sobě nezávislé.
4. vnější síla \mathbf{F}_i , působící na i -tý druh častic, je nezávislá na rychlosti a je malá ve srovnání se silami, které vznikají v době srážek.

Mějme nyní objemový element μ prostoru se středem v bodě \mathbf{r}, \mathbf{v}_i o velikosti $d\mathbf{r} d\mathbf{v}_i$; v čase t obsahuje tento $f_i(\mathbf{r}, \mathbf{v}_i, t) d\mathbf{r} d\mathbf{v}_i$ častic i -tého druhu. Jestliže zanedbáme srážky mezi česticemi, pak v čase $t + dt$ vlivem vnější sily všechny tyto částice budou v objemu

bodu $\mathbf{r}_i + \mathbf{v}_i dt, \mathbf{v}_i + (\mathbf{F}_i/m_i) dt, t + dt$ vlivem sily \mathbf{F}_i kolem

Podle Liouvilleova rovnice $\frac{\partial f_i}{\partial t} = -\nabla_{\mathbf{r}} \cdot (\mathbf{v}_i f_i) - \nabla_{\mathbf{v}_i} \cdot (\mathbf{F}_i f_i)$ máme

$$G(\mathbf{A} + \mathbf{X}) - G(\mathbf{A}) = \mathbf{X} \Delta_{\mathbf{A}} \Gamma$$

$$f_i(\mathbf{r} + \mathbf{v}_i dt, \mathbf{v}_i + (\mathbf{F}_i/m_i) dt, t + dt) d\mathbf{r} d\mathbf{v}_i = f_i(\mathbf{r}, \mathbf{v}_i, t) d\mathbf{r} d\mathbf{v}_i.$$

Vlivem srážek se však tyto dva členy budou lišit. Označíme-li

$$(3.32) \quad \frac{\delta_e f_i}{\delta t} d\mathbf{r} d\mathbf{v}_i dt$$

jako změnu počtu častic i -tého druhu v $d\mathbf{r} d\mathbf{v}_i$ způsobenou srážkami za čas dt , musí zřejmě platit

$$(3.33) \quad f_i(\mathbf{r} + \mathbf{v}_i dt, \mathbf{v}_i + (\mathbf{F}_i/m_i) dt, t + dt) d\mathbf{r} d\mathbf{v}_i - f_i(\mathbf{r}, \mathbf{v}_i, t) d\mathbf{r} d\mathbf{v}_i = \frac{\delta_e f_i}{\delta t} d\mathbf{r} d\mathbf{v}_i dt.$$

Rozvinemě-li první člen na levé straně (3.32) do Taylorovy řady, dostaneme

$$(3.34) \quad \frac{\partial f_i}{\partial t} + \mathbf{v}_i \cdot \nabla_{\mathbf{r}} f_i + \frac{\mathbf{F}_i}{m_i} \cdot \nabla_{\mathbf{v}_i} f_i = \frac{\delta_e f_i}{\delta t}.$$

Na pravé straně (3.33) stojí nyní srážkový člen $(\delta_e f_i/\delta t)$, kterému nyní musíme dát explicitní tvar. Člen (3.32) je roven počtu častic i -tého druhu, které se dostanou do objemového elementu $d\mathbf{r} d\mathbf{v}_i$ vlivem srážek s ostatními druhy častic za čas dt (označíme ho Γ)

(1.15')

$$\frac{dP_N}{dt} = \frac{\partial P_N}{\partial t} + [P_N; H] = 0,$$

Na pohyb častic systému je možno se dívat jako na kanonické transformace Jakobian transformace je 1 a proto je

$$\int d\Gamma = \int d\mathbf{r}^N dp^N = \text{const},$$

Fázový objem se nemění. Fázový objem se pohybuje jako nestlačitelná kapalina... proto můžeme napsat „rovnici kontinuity“

BBGKY equations applied for $s=1, s=2$

Shrnutím předchozích výsledků dostáváme konečně požadovanou rovnici pro F_s ve tvaru

$$(1.52) \quad \frac{\partial F_s}{\partial t} = [H_s; F_s] + \frac{N-s}{V} \sum_{i=1}^s \int [\Phi_{i,s+1}; F_{s+1}] d\mathbf{r}_{s+1} d\mathbf{p}_{s+1},$$

Velmi důležitý a pro fyziku plazmatu nepostradatelný je tvar rovnice (1.52) pro $s=1$ a $s=2$. Pro $s=1$ dostaneme

$$(1.54) \quad \frac{\partial F_1}{\partial t} = \nabla_{\mathbf{r}_1} H_1 \cdot \nabla_{\mathbf{p}_1} F_1 - \nabla_{\mathbf{p}_1} H_1 \cdot \nabla_{\mathbf{r}_1} F_1 + \frac{N-1}{V} \int (\nabla_{\mathbf{r}_1} \Phi_{12} \cdot \nabla_{\mathbf{p}_1} F_2 - \nabla_{\mathbf{p}_1} \Phi_{12} \cdot \nabla_{\mathbf{r}_1} F_2) d\mathbf{r}_2 d\mathbf{p}_2$$

a pro $s=2$ dostaneme

$$(1.55) \quad \frac{\partial F_2}{\partial t} = [H_1 + H_2 + \Phi_{12}; F_2] + \frac{N-2}{V} \sum_{i=1}^2 [\Phi_{i3}; F_3] d\mathbf{r}_3 d\mathbf{p}_3.$$

Taylor series - for function G

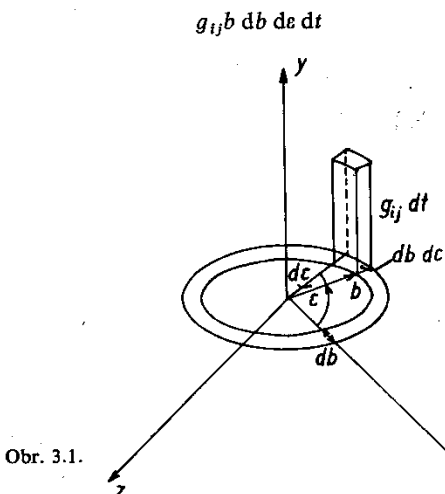
$$G(\vec{A} + \vec{X}) = G(\vec{A}) + \vec{X} \cdot \nabla_{\vec{A}} G$$

me $\sum_j A_{ij}^+ dr dv_i dt$, minus počet částic i -tého druhu, které tento objemový element opustí vlivem srážek s ostatními druhy částic za stejný časový interval dt (označíme $\sum_j A_{ij}^- dr dv_i dt$). Symbolicky tedy můžeme psát

$$(3.35) \quad \frac{\delta_e f_i}{\delta t} dr dv_i dt = \sum_j (A_{ij}^+ - A_{ij}^-) dr dv_i dt,$$

kde sečítáme přes všechny druhy částic.

Věnujme se nejdříve členu $A_{ij}^- dr dv_i dt$. Nechť částice i -tého druhu je umístěna v bodě r a nechť se pohybuje rychlosť v_i . Spočteme pravděpodobnost toho, že tato částice se za dobu dt srazí s částicí j -tého druhu. Elastická srážka dvou částic je ve válcových souřadnicích charakterizována relativní rychlostí téhoto částic $g_{ij} = |v_i - v_j|$, srážkovým parametrem b a úhlem ϵ mezi rovinou trajektorie a libovolnou rovinou referenční (viz kapitolu 2). Počet srážek částice i -tého druhu za čas dt s částicemi j -tého druhu, jejichž relativní rychlosť je g_{ij} , srážkový parametr je v mezích b , $b + db$ a úhel v mezích ϵ , $\epsilon + d\epsilon$ potom bude roven počtu částic j -tého druhu, které jsou obsaženy v objemovém elementu



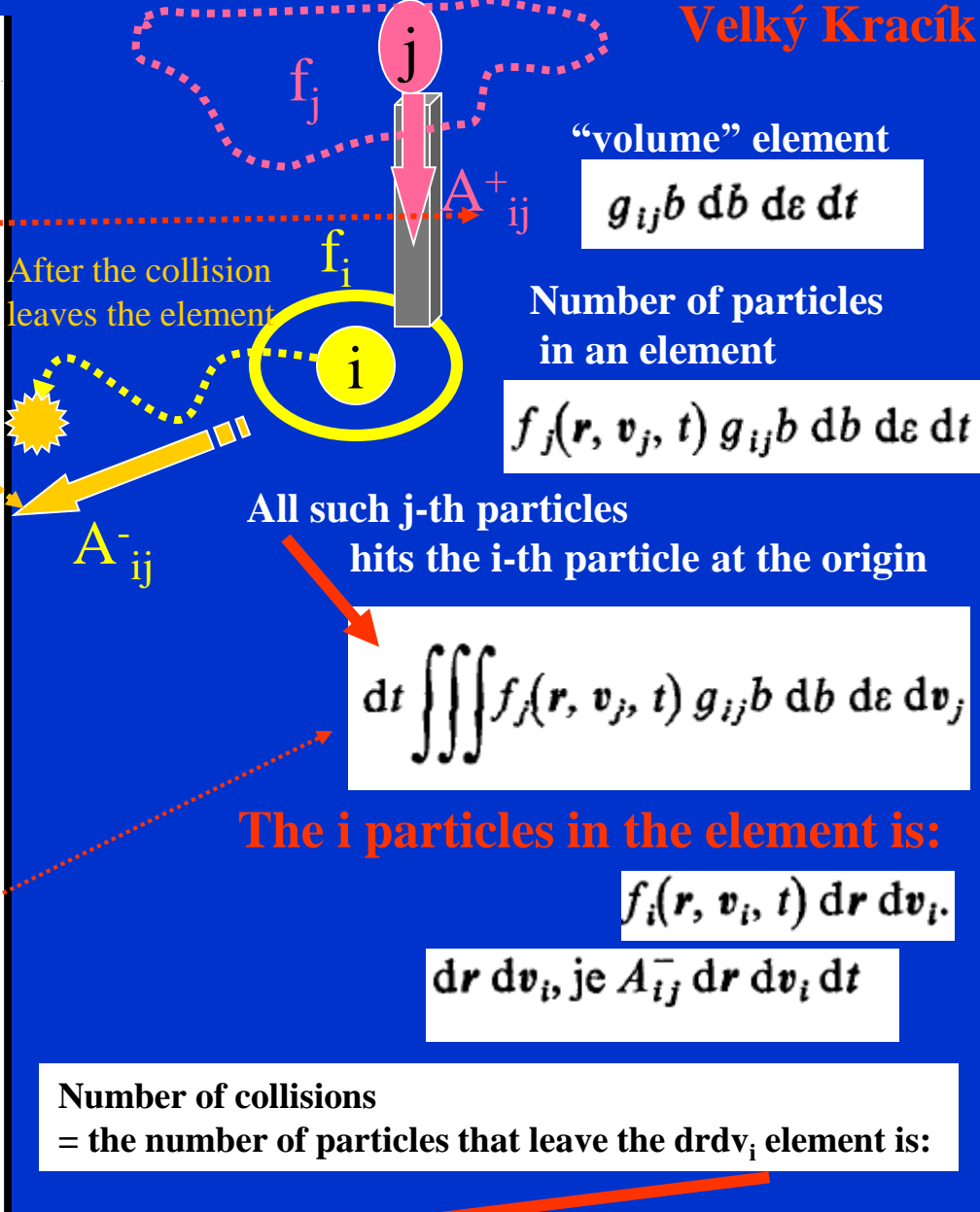
(viz obr. 3.1). Vzhledem k definici $f_j(r, v_j, t)$ je tento počet částic roven výrazu

$$f_j(r, v_j, t) g_{ij} b db d\epsilon dt.$$

Celkový počet srážek částice i -tého druhu se všemi částicemi druhu j -tého za čas dt potom zřejmě bude

(3.36)

$$dt \iiint f_j(r, v_j, t) g_{ij} b db d\epsilon dv_j,$$



$$A_{ij}^- dr dv_i dt = dr dv_i dt \iiint f_j(r, v_j, t) f_i(r, v_i, t) g_{ij} b db d\epsilon dv_j.$$

Velký Kracík



Volume element

$$g_{ij} b \, db \, de \, dt$$

Počet částic v elementu

$$f_j(\mathbf{r}, \mathbf{v}_j, t) g_{ij} b \, db \, de \, dt$$

All such j-th particles
hits the i-th particle at the origin

$$dt \iiint f_j(\mathbf{r}, \mathbf{v}_j, t) g_{ij} b \, db \, de \, d\mathbf{v}_j$$

The i-th particle in the element is:

$$f_i(\mathbf{r}, \mathbf{v}_i, t) \, d\mathbf{r} \, d\mathbf{v}_i.$$

$$d\mathbf{r} \, d\mathbf{v}_i, je A_{ij}^- \, d\mathbf{r} \, d\mathbf{v}_i \, dt$$

Number of precipitations

= the number of particles that leave the element $d\mathbf{r}_i d\mathbf{v}_i$ is :

$$A_{ij}^- \, d\mathbf{r} \, d\mathbf{v}_i \, dt = d\mathbf{r} \, d\mathbf{v}_i \, dt \iiint f_j(\mathbf{r}, \mathbf{v}_j, t) f_i(\mathbf{r}, \mathbf{v}_i, t) g_{ij} b \, db \, de \, d\mathbf{v}_j$$

Similarly, for the number of particles,
that enter into the element

Inverse Process

před srážkou jsou \mathbf{v}'_i a \mathbf{v}'_j

v důsledku srážky nabývají tyto částice

právě rychlostí \mathbf{v}_i a \mathbf{v}_j

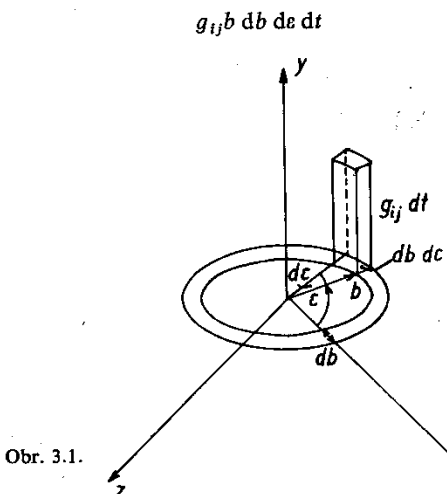
$$A_{ij}^+ \, d\mathbf{r} \, d\mathbf{v}_i \, dt = d\mathbf{r} \, d\mathbf{v}'_i \, dt \iiint f'_j(\mathbf{r}, \mathbf{v}'_j, t) f'_i(\mathbf{r}, \mathbf{v}'_i, t) g'_{ij} b' \, db' \, de' \, d\mathbf{v}'_j$$

me $\sum_j A_{ij}^+ dr dv_i dt$), minus počet částic i -tého druhu, které tento objemový element opustí vlivem srážek s ostatními druhy částic za stejný časový interval dt (označíme $\sum_j A_{ij}^- dr dv_i dt$). Symbolicky tedy můžeme psát

$$(3.35) \quad \frac{\delta_e f_i}{\delta t} dr dv_i dt = \sum_j (A_{ij}^+ - A_{ij}^-) dr dv_i dt,$$

kde sečítáme přes všechny druhy částic.

Věnujme se nejdříve členu $A_{ij}^- dr dv_i dt$. Nechť částice i -tého druhu je umístěna v bodě r a nechť se pohybuje rychlosť v_i . Spočteme pravděpodobnost toho, že tato částice se za dobu dt srazí s částicí j -tého druhu. Elastická srážka dvou částic je ve válcových souřadnicích charakterizována relativní rychlostí této částice $g_{ij} = |v_i - v_j|$, srážkovým parametrem b a úhlem ϵ mezi rovinou trajektorie a libovolnou rovinou referenční (viz kapitolu 2). Počet srážek částice i -tého druhu za čas dt s částicemi j -tého druhu, jejichž relativní rychlosť je g_{ij} , srážkový parametr je v mezích b , $b + db$ a úhel v mezích ϵ , $\epsilon + d\epsilon$ potom bude roven počtu částic j -tého druhu, které jsou obsaženy v objemovém elementu



Obr. 3.1.

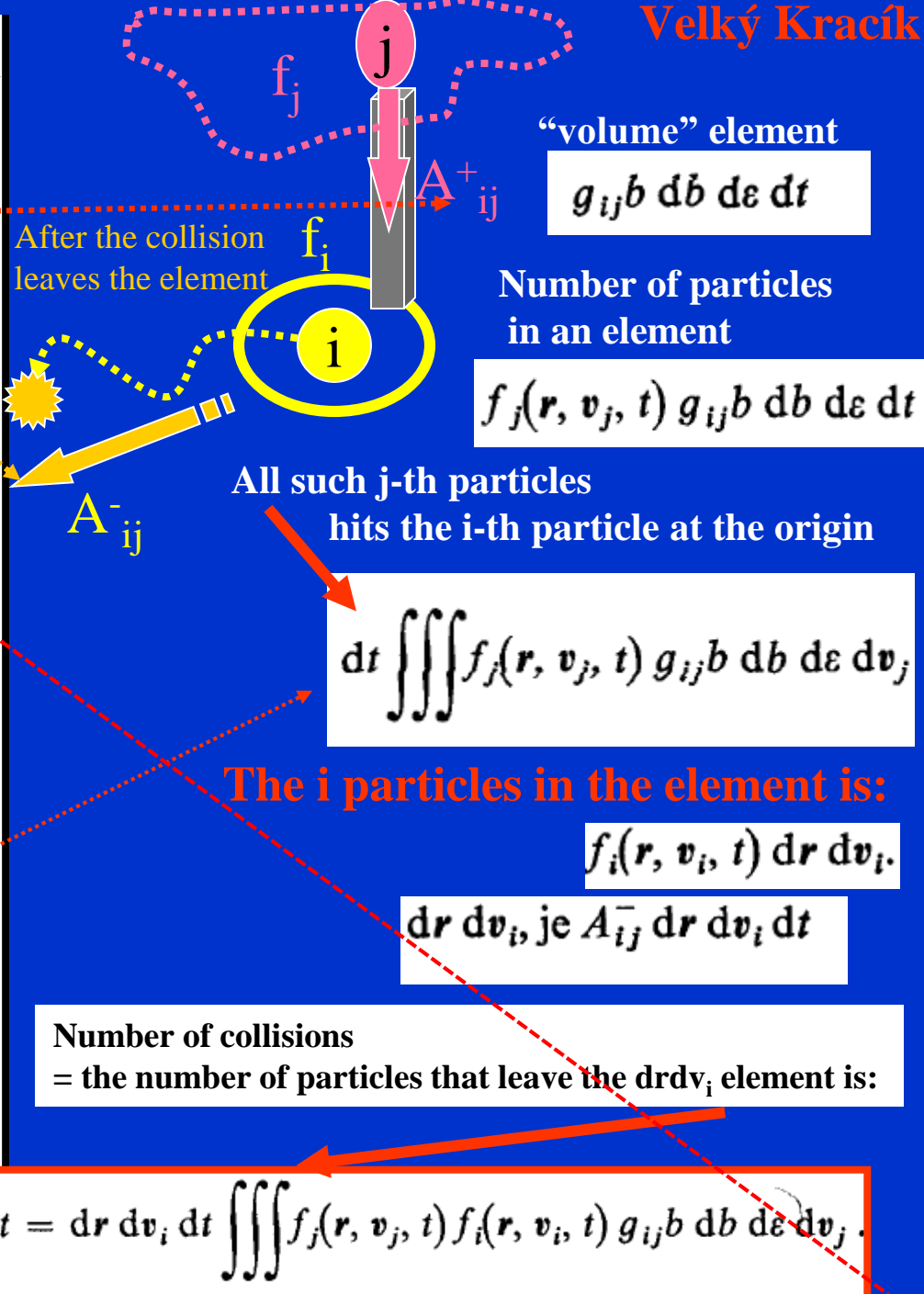
(viz obr. 3.1). Vzhledem k definici $f_j(r, v_j, t)$ je tento počet částic roven výrazu

$$f_j(r, v_j, t) g_{ij} b db d\epsilon dt.$$

Celkový počet srážek částice i -tého druhu se všemi částicemi druhu j -tého za čas dt potom zřejmě bude

(3.36)

$$dt \iiint f_j(r, v_j, t) g_{ij} b db d\epsilon dv_j,$$



$$\hat{A}_{ij}^- \, dr \, dv_i \, dt = dr \, dv_i \, dt \iiint f_j(r, v_j, t) f_i(r, v_i, t) g_{ij} b \, db \, d\epsilon \, dv_j .$$

$$A_{ij}^+ \, dr \, dv_i \, dt = dr \, dv'_i \, dt \iiint f'_j(r, v'_j, t) f'_i(r, v'_i, t) g'_{ij} b' \, db' \, d\epsilon' \, dv'_j$$

Ze zákona zachování energie a impulsu (viz kapitolu 2) dále plyne, že

The Law of Conservation of Energy and Impulse

$$g_{ij} = g'_{ij}, \quad b = b'$$

interakční potenciál částic je sféricky symetrický,

$$\epsilon = \epsilon'$$

Protože částice neopustí během srážek objem $dr (= dr')$, dostáváme z platnosti Liouvillova teorému důležitý výsledek, že

$$dv_i \, dv_j = dv'_i \, dv'_j$$

Velký Kracik continued

$$\hat{A}_{ij}^- dr dv_i dt = dr dv_i dt \iiint f_j(r, v_j, t) f_i(r, v_i, t) g_{ij} b db d\epsilon dv_j.$$

$$A_{ij}^+ dr dv_i dt = dr dv'_i dt \iiint f'_j(r, v'_j, t) f'_i(r, v'_i, t) g'_{ij} b' db' d\epsilon' dv'_j$$

$$g_{ij} = g'_{ij}, \quad b = b'$$

$$\epsilon = \epsilon'$$

$$dv_i dv_j = dv'_i dv'_j$$

Dosadíme-li nyní (3.39), (3.40) a (3.41) do rovnice (3.38), dostaneme konečně, že

$$(3.42) \quad A_{ij}^+ dr dv_i dt = dr dv_i dt \iiint f'_j(r, v'_j, t) f'_i(r, v'_i, t) g_{ij} b db d\epsilon dv_j.$$

Nyní již můžeme přistoupit k explicitnímu vyjádření rovnice (3.34). Po dosazení (3.37) a (3.42) do (3.34) za pomoci rovnice (3.35) dostaneme integrodiferenciální rovnici

$$(3.43) \quad \frac{\partial f_i}{\partial t} + \mathbf{v}_i \cdot \nabla_r f_i + \frac{\mathbf{F}_i}{m_i} \cdot \nabla_{v_i} f_i = \sum_j \iiint (f'_i f'_j - f_i f_j) g_{ij} b db d\epsilon dv_j$$

pro výpočet rozdělovací funkce f_i i -tého druhu částic – Boltzmannovu rovnici.

Full text

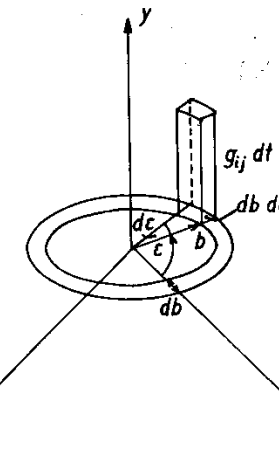
me $\sum_j A_{ij}^+ dr dv_i dt$), minus počet častic i -tého druhu, které tento objemový element opustí vlivem srážek s ostatními druhy častic za stejný časový interval dt (označíme $\sum_j A_{ij}^- dr dv_i dt$). Symbolicky tedy můžeme psát

$$(3.35) \quad \frac{\delta_e f_i}{\delta t} dr dv_i dt = \sum_j (A_{ij}^+ - A_{ij}^-) dr dv_i dt,$$

kde sečítame přes všechny druhy častic.

Věnujme se nejdříve členu $A_{ij}^- dr dv_i dt$. Nechť částice i -tého druhu je umístěna v bodě r a nechť se pohybuje rychlosť v_i . Spočteme pravděpodobnost toho, že tato částice se za dobu dt srazí s částicí j -tého druhu. Elastická srážka dvou častic je ve válcových souřadnicích charakterizována relativní rychlostí těchto častic $g_{ij} = v_i - v_j$, srážkovým parametrem b a úhlem ε mezi rovinou trajektorie a libovolnou rovinou referenční (viz kapitolu 2). Počet srážek částice i -tého druhu za čas dt s česticemi j -tého druhu, jejichž relativní rychlosť je g_{ij} , srážkový parametr je v mezích b , $b + db$ a úhel v mezích ε , $\varepsilon + d\varepsilon$ potom bude roven počtu častic j -tého druhu, které jsou obsaženy v objemovém elementu

$$g_{ij} b db d\varepsilon dt$$



Obr. 3.1.

(viz obr. 3.1). Vzhledem k definici $f_j(r, v_j, t)$ je tento počet častic roven výrazu

$$f_j(r, v_j, t) g_{ij} b db d\varepsilon dt.$$

Celkový počet srážek částice i -tého druhu se všemi česticemi druhu j -tého za čas dt potom zřejmě bude

$$(3.36)$$

$$dt \iiint f_j(r, v_j, t) g_{ij} b db d\varepsilon dv_j,$$

kde se integrování provádí přes b , ε a v_j . Abychom zachytily celkový počet srážek všech častic i -tého druhu v objemu $dr dv_i$, je nutno (3.36) vynásobit počtem častic i -tého druhu, které se nacházejí v objemovém elementu $dr dv_i$, tj. je nutno (3.36) vynásobit výrazem $f_i(r, v_i, t) dr dv_i$. Protože každá částice i -tého druhu, která se srazí s částicí j -tého druhu za dt , opustí námi uvažovaný element $dr dv_i$, je $A_{ij}^- dr dv_i dt$ rovno počtu srážek, tj.

$$(3.37) \quad A_{ij}^- dr dv_i dt = dr dv_i dt \iiint f_j(r, v_j, t) f_i(r, v_i, t) g_{ij} b db d\varepsilon dv_j.$$

Obdobným způsobem můžeme stanovit $A_{ij}^+ dr dv_i dt$, tj. počet častic i -tého druhu, které se vlivem srážek s česticemi j -tého druhu dostanou za dt do námi uvažovaného objemu $dr dv_i$. V tomto případě stačí uvažovat takové inverzní srážky mezi česticemi i -tého druhu a česticemi j -tého druhu, kdy rychlosti těchto častic před srážkou jsou v'_i a v'_j a kdy v důsledku srážky nabývají tyto částice právě rychlosti v_i a v_j (předpokládáme, že se srážkové podmínky oproti předcházejícímu případu nezmění). Potom úplně analogicky s (3.37) je počet takových srážek roven

$$(3.38) \quad A_{ij}^+ dr dv_i dt = dr dv'_i dt \iiint f'_j(r, v'_j, t) f'_i(r, v'_i, t) g'_{ij} b' db' d\varepsilon' dv'_j.$$

Ze zákona zachování energie a impulsu (viz kapitolu 2) dále plyne, že

$$(3.39) \quad g_{ij} = g'_{ij}, \quad b = b'.$$

Budeme-li dálé předpokládat, že interakční potenciál častic je sféricky symetrický, můžeme položit

$$(3.40) \quad \varepsilon = \varepsilon'.$$

Protože částice neopustí během srážek objem dr ($= dr'$), dostáváme z platnosti Liouvillova teoremu důležitý výsledek, že

$$(3.41) \quad dv_i dv_j = dv'_i dv'_j.$$

Dosadíme-li nyní (3.39), (3.40) a (3.41) do rovnice (3.38), dostaneme konečně, že

$$(3.42) \quad A_{ij}^+ dr dv_i dt = dr dv_i dt \iiint f'_j(r, v'_j, t) f'_i(r, v'_i, t) g_{ij} b db d\varepsilon dv_j.$$

Nyní již můžeme přistoupit k explicitnímu vyjádření rovnice (3.34). Po dosazení (3.37) a (3.42) do (3.34) za pomoci rovnice (3.35) dostaneme integrodiferenciální rovnici

$$(3.43) \quad \frac{\partial f_i}{\partial t} + v_i \cdot \nabla_r f_i + \frac{F_i}{m_i} \cdot \nabla_{v_i} f_i = \sum_j \iiint (f'_i f'_j - f_i f_j) g_{ij} b db d\varepsilon dv_j,$$

pro výpočet rozdělovací funkce f_i i -tého druhu častic – Boltzmannovu rovnici.

Collision term

- Some properties of the collision term
- Precipitation invariants

$$\frac{\partial f_i}{\partial t} + \mathbf{v}_i \cdot \nabla_{\mathbf{r}} f_i + \frac{\mathbf{F}_i}{m_i} \cdot \nabla_{\mathbf{v}_i} f_i = \sum_j \iiint (f'_i f'_j - f_i f_j) g_{ij} b \, db \, d\varepsilon \, d\mathbf{v}_j$$

Ukážeme si nyní některé symetrické vlastnosti srážkového členu, které budeme v dalším textu často používat. Srážkový člen na pravé straně Boltzmannovy rovnice (3.43) je zřejmě funkci t , \mathbf{r} a \mathbf{v}_i . Velmi často se vyskytuje úloha provést integraci srážkového členu s nějakou váhovou funkcí $\Phi_i = \Phi_i(\mathbf{v}_i, \mathbf{r}, t)$ přes rychlostní prostor \mathbf{v}_i , tj. určit

3.3 Některé vlastnosti srážkového členu: Srážkové invarianty

Ukážeme si nyní některé symetrické vlastnosti srážkového členu, které budeme v dalším textu často používat. Srážkový člen na pravé straně Boltzmannovy rovnice (3.43) je zřejmě funkci t , \mathbf{r} a \mathbf{v}_i . Velmi často se vyskytuje úloha provést integraci srážkového členu s nějakou váhovou funkcí $\Phi_i = \Phi_i(\mathbf{v}_i, \mathbf{r}, t)$ přes rychlostní prostor \mathbf{v}_i , tj. určit

$$(3.53) \quad n_i \delta \Phi_i = \int \Phi_i \frac{\delta_e f_i}{\delta t} \, d\mathbf{v}_i = \int \Phi_i \left(\frac{\delta_e f_i}{\delta t} \right)_i \, d\mathbf{v}_i + \sum_{j \neq i} \int \Phi_i \left(\frac{\delta_e f_i}{\delta t} \right)_j \, d\mathbf{v}_i = \\ = \iiint \Phi_i (f'_i f'^{(1)}_i - f_i f^{(1)}_i) g b \, db \, d\varepsilon \, d\mathbf{v}^{(1)}_i \, d\mathbf{v}_i + \\ + \sum_{j \neq i} \iiint \Phi_i (f'_i f'_j - f_i f_j) g_{ij} b \, db \, d\varepsilon \, d\mathbf{v}_j \, d\mathbf{v}_i.$$

Pomocí některých symetrických vlastností srážkového členu je možno (3.53) převést na podstatně výhodnější formu. Uvažujme nejprve

$$(3.54) \quad \iiint \Phi_i (f'_i f'_j - f_i f_j) g_{ij} b \, db \, d\varepsilon \, d\mathbf{v}_j \, d\mathbf{v}_i.$$

Zaměníme-li nyní integrační proměnné \mathbf{v}_i , \mathbf{v}_j , b a ε za \mathbf{v}'_i , \mathbf{v}'_j , b' a ε' , dostaneme integrál

$$(3.55) \quad \iiint \Phi'_i (f_i f_j - f'_i f'_j) g_{ij} b' \, db' \, d\varepsilon' \, d\mathbf{v}'_j \, d\mathbf{v}'_i,$$

kde $\Phi'_i = \Phi_i(\mathbf{v}'_i, \mathbf{r}, t)$, který je číselně roven integrálu (3.54). Protože ale platí rovnice

We will show that for some functions -
invariants

$$\Psi = 1, \quad \Theta = m\mathbf{v}, \quad \Sigma = \frac{1}{2}mv^2,$$

It is

$$\iiint \iiint \iiint \Psi_i (f'_i f'_j - f_i f_j) g_{ij} b \, db \, d\varepsilon \, d\mathbf{v}_j \, d\mathbf{v}_i = 0$$

In detail

Collision term – a deterrent example

- Some properties of the collision term
- Precipitation invariants

3.3 Některé vlastnosti srážkového členu. Srážkové invarianty

Ukážeme si nyní některé symetrické vlastnosti srážkového členu, které budeme v dalším textu často používat. Srážkový člen na pravé straně Boltzmannovy rovnice (3.43) je zřejmě funkci t , \mathbf{r} a \mathbf{v}_i . Velmi často se vyskytuje úloha provést integraci srážkového členu s nějakou váhovou funkcí $\Phi_i = \Phi_i(\mathbf{v}_i, \mathbf{r}, t)$ přes rychlostní prostor \mathbf{v}_i , tj. určit

$$(3.53) \quad n_i \delta \Phi_i = \int \Phi_i \frac{\delta_e f_i}{\delta t} d\mathbf{v}_i = \int \Phi_i \left(\frac{\delta_e f_i}{\delta t} \right)_i d\mathbf{v}_i + \sum_{j \neq i} \int \Phi_i \left(\frac{\delta_e f_i}{\delta t} \right)_j d\mathbf{v}_i = \\ = \iiint \Phi_i (f'_i f'^{(1)}_i - f_i f^{(1)}_i) g b db de d\mathbf{v}_i + \\ + \sum_{j \neq i} \iiint \Phi_i (f'_i f'_j - f_i f_j) g_{ij} b db de d\mathbf{v}_j d\mathbf{v}_i.$$

Pomocí některých symetrických vlastností srážkového členu je možno (3.53) převést na podstatně výhodnější formu. Uvažujme nejprve

$$(3.54) \quad \iiint \Phi_i (f'_i f'_j - f_i f_j) g_{ij} b db de d\mathbf{v}_j d\mathbf{v}_i.$$

Zaměníme-li nyní integrační proměnné \mathbf{v}_i , \mathbf{v}_j , b a e za \mathbf{v}'_i , \mathbf{v}'_j , b' a e' , dostaneme integrál

$$(3.55) \quad \iiint \Phi'_i (f'_i f'_j - f'_i f'_j) g_{ij} b' db' de' d\mathbf{v}'_j d\mathbf{v}'_i,$$

kde $\Phi'_i = \Phi_i(\mathbf{v}'_i, \mathbf{r}, t)$, který je číselně roven integrálu (3.54). Protože ale platí rovnice

(3.39), (3.40) a (3.41), dostáváme z (3.54) a (3.55)

$$(3.56) \quad \iiint \Phi_i (f'_i f'_j - f_i f_j) g_{ij} b db de d\mathbf{v}_j d\mathbf{v}_i = \\ = \iiint \Phi'_i (f_i f_j - f'_i f'_j) g_{ij} b db de d\mathbf{v}_i d\mathbf{v}_j = - \iiint \Phi'_i (f'_i f'_j - f_i f_j) g_{ij} b db de d\mathbf{v}_i d\mathbf{v}_j.$$

Uvážíme-li nyní platnost (3.56) a identitu z (3.54), můžeme konečně psát, že

$$(3.57) \quad \iiint \Phi_i (f'_i f'_j - f_i f_j) g_{ij} b db de d\mathbf{v}_j d\mathbf{v}_i = \\ = \frac{1}{2} \iiint (\Phi_i - \Phi'_i) (f'_i f'_j - f_i f_j) g_{ij} b db de d\mathbf{v}_j d\mathbf{v}_i.$$

Pro první člen na pravé straně (3.53) můžeme napsat zcela analogickou rovnici, tj.

$$(3.58) \quad \iiint \Phi_i (f'_i f'^{(1)}_i - f_i f^{(1)}_i) g b db de d\mathbf{v}_i^{(1)} d\mathbf{v}_i = \\ = \frac{1}{2} \iiint (\Phi_i - \Phi'_i) (f'_i f'^{(1)}_i - f_i f^{(1)}_i) g b db de d\mathbf{v}_i^{(1)} d\mathbf{v}_i.$$

Zaměníme-li \mathbf{v}_i za $\mathbf{v}_i^{(1)}$, rovnice (3.58) se nezmění; můžeme potom psát

$$(3.59) \quad \iiint \Phi_i (f'_i f'^{(1)}_i - f_i f^{(1)}_i) g b db de d\mathbf{v}_i^{(1)} d\mathbf{v}_i = \\ = \frac{1}{2} \iiint (\Phi_i^{(1)} - \Phi'^{(1)}_i) (f'^{(1)}_i f'_i - f^{(1)}_i f_i) g b db de d\mathbf{v}_i d\mathbf{v}_i^{(1)}.$$

Nyní sečtením (3.58) a (3.59) získáváme důležitý závěr, že

$$(3.60) \quad \iiint \Phi_i (f'_i f'^{(1)}_i - f_i f^{(1)}_i) g b db de d\mathbf{v}_i^{(1)} d\mathbf{v}_i = \\ = \frac{1}{4} \iiint (\Phi_i + \Phi_i^{(1)} - \Phi'_i - \Phi'^{(1)}_i) (f'_i f'^{(1)}_i - f_i f^{(1)}_i) g b db de d\mathbf{v}_i^{(1)} d\mathbf{v}_i.$$

V případě, že $i \neq j$, budeme postupovat poněkud jiným způsobem. K tomuto účelu sestrojme výraz

$$(3.61) \quad \sum_i \sum_{j \neq i} \iiint \Phi_i (f'_i f'_j - f_i f_j) g_{ij} b db de d\mathbf{v}_j d\mathbf{v}_i = \\ = \frac{1}{2} \sum_i \sum_{j \neq i} \iiint (\Phi_i - \Phi'_i) (f'_i f'_j - f_i f_j) g_{ij} b db de d\mathbf{v}_i d\mathbf{v}_j$$

Collision term – a deterrent example

3.3 Některé vlastnosti srážkového členu.

Srážkové invarianty

Ukážeme si nyní některé symetrické vlastnosti srážkového členu, které budeme v dalším textu často používat. Srážkový člen na pravé straně Boltzmannovy rovnice (3.43) je zřejmě funkci t, r a \mathbf{v}_i . Velmi často se vyskytuje úloha provést integraci srážkového členu s nějakou váhou funkci $\Phi_i = \Phi_i(\mathbf{v}_i, r, t)$ přes rychlostní prostor \mathbf{v}_i , tj. určit

$$(3.53) \quad n_i \delta \Phi_i = \int \Phi_i \frac{\delta_e f_i}{\delta t} d\mathbf{v}_i = \int \Phi_i \left(\frac{\delta_e f_i}{\delta t} \right)_i d\mathbf{v}_i + \sum_{j \neq i} \int \Phi_i \left(\frac{\delta_e f_i}{\delta t} \right)_j d\mathbf{v}_i = \\ = \iiint \Phi_i (f'_i f'_i - f_i f_i^{(1)}) g b db de d\mathbf{v}_i^{(1)} d\mathbf{v}_i + \\ + \sum_{j \neq i} \iiint \Phi_i (f'_i f'_j - f_i f_j) g_{ij} b db de d\mathbf{v}_j d\mathbf{v}_i.$$

Particles of the same species

Pomocí některých symetrických vlastností srážkového členu je možno (3.53) převést na podstatně výhodnější formu. Uvažujme nejprve

$$(3.54) \quad \iiint \Phi_i (f'_i f'_j - f_i f_j) g_{ij} b db de d\mathbf{v}_j d\mathbf{v}_i.$$

Zaměníme-li nyní integrační proměnné $\mathbf{v}_i, \mathbf{v}_j, b$ a ϵ za $\mathbf{v}'_i, \mathbf{v}'_j, b'$ a ϵ' , dostaneme integrál

$$(3.55) \quad \iiint \Phi'_i (f'_i f'_j - f'_i f'_j) g_{ij} b' db' de' d\mathbf{v}'_j d\mathbf{v}'_i,$$

kde $\Phi'_i = \Phi_i(\mathbf{v}'_i, r, t)$, který je číselně roven integrálu (3.54). Protože ale platí rovnice

result

If this is equal= 0,
then this is = 0

- Some properties of the collision term
- Precipitation invariants

(3.39), (3.40) a (3.41), dostáváme z (3.54) a (3.55)

$$(3.56) \quad \iiint \Phi_i (f'_i f'_j - f_i f_j) g_{ij} b db de d\mathbf{v}_j d\mathbf{v}_i = \\ = \iiint \Phi'_i (f'_i f'_j - f'_i f'_j) g_{ij} b db de d\mathbf{v}_i d\mathbf{v}_j = - \iiint \Phi'_i (f'_i f'_j - f_i f_j) g_{ij} b db de d\mathbf{v}_i d\mathbf{v}_j.$$

Uvážíme-li nyní platnost (3.56) a identitu z (3.54), můžeme konečně psát, že

$$(3.57) \quad \iiint \Phi_i (f'_i f'_j - f_i f_j) g_{ij} b db de d\mathbf{v}_j d\mathbf{v}_i = \\ = \frac{1}{2} \iiint (\Phi_i - \Phi'_i) (f'_i f'_j - f_i f_j) g_{ij} b db de d\mathbf{v}_j d\mathbf{v}_i.$$

Pro první člen na pravé straně (3.53) můžeme napsat zcela analogickou rovnici, tj.

$$(3.58) \quad \iiint \Phi_i (f'_i f'_i^{(1)} - f_i f_i^{(1)}) g b db de d\mathbf{v}_i^{(1)} d\mathbf{v}_i = \\ = \frac{1}{2} \iiint (\Phi_i - \Phi'_i) (f'_i f'_i^{(1)} - f_i f_i^{(1)}) g b db de d\mathbf{v}_i^{(1)} d\mathbf{v}_i.$$

Zaměníme-li \mathbf{v}_i za $\mathbf{v}_i^{(1)}$, rovnice (3.58) se nezmění; můžeme potom psát

$$(3.59) \quad \iiint \Phi_i (f'_i f'_i^{(1)} - f_i f_i^{(1)}) g b db de d\mathbf{v}_i^{(1)} d\mathbf{v}_i = \\ = \frac{1}{2} \iiint (\Phi_i^{(1)} - \Phi'^{(1)}) (f_i^{(1)} f'_i - f_i^{(1)} f_i) g b db de d\mathbf{v}_i d\mathbf{v}_i^{(1)}.$$

Nyní sečtením (3.58) a (3.59) získáváme důležitý závěr, že

$$(3.60) \quad \iiint \Phi_i (f'_i f'_i^{(1)} - f_i f_i^{(1)}) g b db de d\mathbf{v}_i^{(1)} d\mathbf{v}_i = \\ = \frac{1}{2} \iiint (\Phi_i + \Phi_i^{(1)} - \Phi'_i - \Phi'^{(1)}) (f'_i f'_i^{(1)} - f_i f_i^{(1)}) g b db de d\mathbf{v}_i^{(1)} d\mathbf{v}_i.$$

Particles of the same species

V případě, že $i \neq j$, budeme postupovat poněkud jiným způsobem. K tomuto účelu sestrojme výraz

$$(3.61) \quad \sum_i \sum_{j \neq i} \iiint \Phi_i (f'_i f'_j - f_i f_j) g_{ij} b db de d\mathbf{v}_j d\mathbf{v}_i = \\ = \frac{1}{2} \sum_i \sum_{j \neq i} \iiint (\Phi_i - \Phi'_i) (f'_i f'_j - f_i f_j) g_{ij} b db de d\mathbf{v}_j d\mathbf{v}_i$$

Collision term – a deterrent example (frightening)

But the result.....

result

3.3 Některé vlastnosti srážkového členu. Srážkové invarianty

Ukážeme si nyní některé symetrické vlastnosti srážkového členu, které budeme v dalším textu často používat. Srážkový člen na pravé straně Boltzmannovy rovnice (3.43) je zřejmě funkcí t , r a v_i . Velmi často se vyskytuje úloha provést integraci srážkového členu s nějakou váhovou funkcí $\Phi_i = \Phi_i(v_i, r, t)$ přes rychlostní prostor v_i , tj. určit

$$(3.53) \quad n_i \delta \Phi_i = \int \Phi_i \frac{\delta_e f_i}{\delta t} dv_i = \int \Phi_i \left(\frac{\delta_e f_i}{\delta t} \right)_t dv_i + \sum_{j \neq i} \int \Phi_i \left(\frac{\delta_e f_i}{\delta t} \right)_j dv_i = \\ = \iiint \Phi_i (f'_i f'^{(1)}_i - f_i f^{(1)}_i) g b db de dv_i^{(1)} dv_i + \\ + \sum_{j \neq i} \iiint \Phi_i (f'_i f'_j - f_i f_j) g_{ij} b db de dv_j dv_i .$$

Pomocí některých symetrických vlastností srážkového členu je možno (3.53) převést na podstatně výhodnější formu. Uvažujme nejprve

$$(3.54) \quad \iiint \Phi_i (f'_i f'_j - f_i f_j) g_{ij} b db de dv_j dv_i .$$

Zaměníme-li nyní integrační proměnné v_b , v_j , b a e za v'_i , v'_j , b' a e' , dostaneme integrál

$$(3.55) \quad \iiint \Phi'_i (f'_i f'_j - f'_i f'_j) g_{ij} b' db' de' dv'_j dv'_i ,$$

kde $\Phi'_i = \Phi_i(v'_i, r, t)$, který je číselně roven integrálu (3.54). Protože ale platí rovnice

a Σ_i . Zde je nutno vzít v úvahu platnost rovnice (3.63), do které nyní za Φ_i dosadíme Θ_i a Σ_i . Potom dostaneme

$$(3.68) \quad \sum_i \sum_{j \neq i} \iiint \Theta_i (f'_i f'_j - f_i f_j) g_{ij} b db de dv_j dv_i = 0$$

a

$$(3.69) \quad \sum_i \sum_{j \neq i} \iiint \Sigma_i (f'_i f'_j - f_i f_j) g_{ij} b db de dv_j dv_i = 0 .$$

Obdobné výsledky získáme, přejdeme-li od proměnných v , r , t k jejich ekvivalentům V , r , t (respektive od v_i , r , t k V_i , r , t). Forma srážkových invariantů (3.65) a (3.67) se nezmění, je nutná pouze ekvivalentní záměna v za V respektive v_i za V_i .

Some properties of the collision term

Precipitation invariants (srážkové invarianty)

na základě platnosti (3.57). Provedeme-li nyní záměnu i za j , je pravá strana (3.61) rovna také výrazu

$$(3.62) \quad \frac{1}{2} \sum_i \sum_{j \neq i} \iiint (\Phi_j - \Phi'_j) (f'_i f'_j - f_i f_j) g_{ij} b db de dv_j dv_i ,$$

který za pomoci (3.61) dává závěrečný vztah, že

$$(3.63) \quad \sum_i \sum_{j \neq i} \iiint \Phi_i (f'_i f'_j - f_i f_j) g_{ij} b db de dv_j dv_i = \\ = \sum_i \sum_{j \neq i} \frac{1}{2} \iiint (\Phi_i + \Phi_j - \Phi'_i - \Phi'_j) (f'_i f'_j - f_i f_j) g_{ij} b db de dv_j dv_i .$$

Vráťme-li se nyní k některým úvahám, které se týkají teorie binárních elasticických srážek (viz kapitolu 2), vidíme, že existuje jistý počet funkcí Φ_i , pro které platí

$$(3.64) \quad \delta \Phi_i = 0 .$$

Tyto funkce se nazývají srážkové invarianty a budou zřejmě funkcemi hybnosti a energie částic, neboť tyto veličiny se během srážek zachovávají. Jako třetí veličinu, která splňuje (3.64), můžeme přijmout $\Phi_i = 1$, což nám vlastně vyjadřuje podmínu, že během srážky částice neopouští objemový element dr . Protože během binárních srážek platí zákon zachování hmoty, můžeme také jako třetí veličinu, která splňuje (3.64), přijmout $\Phi_i = m_i$, což je v podstatě úplně ekvivalentní $\Phi_i = 1$.

Jestliže je systém tvořen stejnými částicemi, máme pět srážkových invariantů

$$(3.65) \quad \Psi = 1, \quad \Theta = mv, \quad \Sigma = \frac{1}{2} mv^2 ,$$

které, vzhledem k platnosti (3.60), splňují (3.64).

Poněkud jiná situace nastane, jestliže systém bude tvořen několika druhy částic. Zde musíme rozlišovat dva případy:

a) Jestliže $\Psi_i = 1$, potom podle rovnice (3.57) platí, že

$$(3.66) \quad \iiint \Psi_i (f'_i f'_j - f_i f_j) g_{ij} b db de dv_j dv_i = 0$$

a tedy tento případ je úplně obdobný případu předchozímu.

b) Jestliže ale

$$(3.67) \quad \Theta_i = m_i v_i \quad a \quad \Sigma_i = \frac{1}{2} m_i v_i^2 ,$$

pak již není možno zobecnit (3.66) do té míry, že bychom nahradili Ψ_i funkcemi Θ_i

Gibbs H-theorem PAST LECTURE

$$(1.17) \quad S = -kH = -k \int P_N \ln P_N d\Gamma ,$$

kde k je Boltzmannova konstanta. Budeme se tedy dále zabývat studiem H -funkce definované vztahem

$$(1.18) \quad H = \int P_N \ln P_N d\Gamma .$$

Pro systém neinteragujících a na sobě nezávislých částic je možno P_N zapsat do tvaru

$$(1.19) \quad P_N = P_1(\mathbf{r}_1, \mathbf{p}_1) P_1(\mathbf{r}_2, \mathbf{p}_2) \dots P_1(\mathbf{r}_N, \mathbf{p}_N) .$$

Dosadíme-li nyní (1.19) do (1.18) a zavedeme-li generickou rozdělovací funkci

$$f_1(\mathbf{r}_1, \mathbf{p}_1) = N P_1(\mathbf{r}_1, \mathbf{p}_1) ,$$

dostaneme, že

$$(1.20) \quad H = \int f_1(\mathbf{r}_1, \mathbf{p}_1) \ln f_1(\mathbf{r}_1, \mathbf{p}_1) d\mathbf{r}_1 d\mathbf{p}_1 - N \ln N .$$

V rovnovážném stavu je $f_1(\mathbf{r}_1, \mathbf{p}_1)$ totožné s kinetickou rozdělovací funkcí $f(\mathbf{r}, \mathbf{p})$ a H -funkce statistické mechaniky (1.18) se potom redukuje na Boltzmannovu H -funkci

$$H = \int f(\mathbf{r}, \mathbf{p}) \ln f(\mathbf{r}, \mathbf{p}) d\mathbf{r} d\mathbf{p} ,$$

která se liší od (1.20) pouze aditivní konstantou ($N \ln N$), což ovšem není podstatné.

Situace se poněkud změní, jestliže systém nebude v rovnovážném stavu. Totiž z (1.18) plyne, že

$$(1.21) \quad \frac{dH}{dt} = \int \frac{\partial P_N}{\partial t} (\ln P_N + 1) d\Gamma .$$

Uvážíme-li nyní platnost Liouvillovy rovnice (1.15'), můžeme psát, že

$$(1.22) \quad \int \frac{\partial P_N}{\partial t} \ln P_N d\Gamma = - \int [H; P_N] \ln P_N d\Gamma = \int P_N [H; \ln P_N] d\Gamma = \\ = \int [H; P_N] d\Gamma = - \int \frac{\partial P_N}{\partial t} d\Gamma .$$

Spojením rovnic (1.21) a (1.22) dostaváme, že

$$(1.23) \quad \boxed{\frac{dH}{dt} = 0 ,}$$

This means that the system does not evolve over time.... i.e., an unequilibrium system can never reach a state of equilibrium.

Paradox - classical mechanics leads to a strictly reversible description, while nature behaves irreversibly ...

And we were unhappy

Boltzmann's H-theorem

...special case

$$(3.43) \quad \frac{\partial f_i}{\partial t} + \mathbf{v}_i \cdot \nabla_r f_i + \frac{\mathbf{F}_i}{m_i} \cdot \nabla_{v_i} f_i = \sum_j \iiint (f'_i f'_j - f_i f_j) g_{ij} b \, db \, dv_i$$

pro výpočet rozdělovací funkce f_i i tého druhu častic – Boltzmannovu rovnici.

$$\nabla_r = 0, \quad \vec{F} = 0$$

Let's do function

$$(3.60) \quad \iiint \Phi_i (f'_i f'^{(1)} - f_i f^{(1)}) g b \, db \, dv_i = \\ = \frac{1}{4} \iiint (\Phi'_i + \Phi'^{(1)} - \Phi'_i - \Phi'^{(1)}) (f'_i f'^{(1)} - f_i f^{(1)}) g b \, db \, dv_i$$

Particles of the same species

3.4 Boltzmannův H -teorém

Na rozdíl od Liouvillovy rovnice vyhovuje Boltzmannova rovnice plně požadavku nevratnosti přírodních dějů; tj. entropie definované pomocí rozdělovací funkce, která je řešením Boltzmannovy rovnice (3.43), je rostoucí funkce času až do té doby, dokud systém nedosáhne rovnovážného stavu. Potom je entropie konstantní, na čase nezávislá.

Abychom si ukázali výše uvedenou vlastnost Boltzmannovy rovnice, uvažujme nejprve jednoduchý případ, kdy $\nabla_r = 0$, vnější síly jsou nulové a systém se skládá z jednoho druhu častic. Boltzmannova rovnice má nyní tvar

$$(3.70) \quad \frac{\partial f}{\partial t} = \iiint (f' f'^{(1)} - f f^{(1)}) g b \, db \, dv$$

Sestrojme dále funkcionál $H(t)$ podle definice

$$(3.71) \quad H(t) = \int f(\mathbf{v}, t) \ln f(\mathbf{v}, t) \, d\mathbf{v}$$

Potom

$$(3.72) \quad \frac{\partial H}{\partial t} = \int (1 + \ln f) \frac{\partial f}{\partial t} \, d\mathbf{v} = \iiint (1 + \ln f) (f' f'^{(1)} - f f^{(1)}) g b \, db \, dv$$

Tento výraz můžeme dále upravit podle (3.60); po kratších úpravách můžeme psát, že

$$(3.73) \quad \frac{\partial H}{\partial t} = -\frac{1}{4} \iiint \ln \left(\frac{f' f'^{(1)}}{f f^{(1)}} \right) (f' f'^{(1)} - f f^{(1)}) g b \, db \, dv$$

Particles of the same species

Odtud již snadno vidíme, že integrand je vždy kladný a tedy $\partial H / \partial t$ je vždy záporné.

And we have no paradox - entropy is increasing

$$\frac{\delta H}{\delta t} \leq 0$$

equilibrium

Dále $\partial H / \partial t = 0$ tehdy a jen tehdy, jestliže

$$(3.74) \quad f'f'^{(1)} = ff^{(1)}.$$

Podle rovnice (3.70) je pak ale $\partial f / \partial t = 0$, a proto podmínka (3.74) odpovídá rovnovážnému stavu.

Na základě rovnosti (3.74) můžeme nyní určit tvar rozdělovací funkce systému, který je v rovnováze. Podle (3.74) můžeme totiž psát

$$(3.75) \quad \ln f' + \ln f'^{(1)} = \ln f + \ln f^{(1)},$$

tj. logaritmus rovnovážné rozdělovací funkce je srážkovým invariantem našeho systému. Podle našich předchozích úvah (viz str. 80) musí tedy být $\ln f$ lineární kombinací srážkových invariantů (3.65), tj.

$$(3.76) \quad \ln f = am + b \cdot mv + c \frac{1}{2}mv^2,$$

kde konstanty a , b a c závisí na celkovém počtu častic, celkovém impulsu a celkové energii systému. Abychom určili tyto konstanty, přeplíšme (3.76) do tvaru

$$(3.77) \quad \ln f = \ln a_0 - c \frac{1}{2}m[(v_x - b_x/c)^2 + (v_y - b_y/c)^2 + (v_z - b_z/c)^2].$$

Položíme-li nyní

$$(3.78) \quad V' = v - \frac{b}{c},$$

dostaneme z (3.77), že

$$(3.79) \quad f = a_0 \exp(-c \frac{1}{2}mV'^2).$$

Z normovací podmínky (3.4) dále máme

$$(3.80) \quad n = \int f dv = a_0 \int \exp\left(-\frac{c}{2}mV'^2\right) dV' = a_0 \left(\frac{2\pi}{mc}\right)^{3/2}.$$

Podobně

$$(3.81) \quad nv_0 = \int vf dv = \int \left(V' + \frac{b}{c}\right) f dV' = n \frac{b}{c},$$

protože $\int V' f dV' = 0$; můžeme tedy psát, že

$$(3.82) \quad v_0 = \frac{b}{c}$$

a tedy

$$(3.83) \quad V' = v - v_0 = V.$$

- Derivation of
- Maxwell distribution function.

$$\frac{\partial f}{\partial t} = \iiint (f'f'^{(1)} - ff^{(1)}) g b db d\varepsilon dv^{(1)}$$

Precipitation invariants

$$\Psi = 1, \quad \Theta = mv, \quad \Sigma = \frac{1}{2}mv^2,$$

Maxwell distribution function.

Dále $\partial H/\partial t = 0$ tehdy a jen tehdy, jestliže

$$(3.74) \quad f'f'^{(1)} = ff^{(1)}.$$

Podle rovnice (3.70) je pak ale $\partial f/\partial t = 0$, a proto podmínka (3.74) odpovídá rovnovážnému stavu.

Na základě rovnosti (3.74) můžeme nyní určit tvar rozdělovací funkce systému, který je v rovnováze. Podle (3.74) můžeme totiž psát

$$(3.75) \quad \ln f' + \ln f'^{(1)} = \ln f + \ln f^{(1)},$$

tj. logaritmus rovnovážné rozdělovací funkce je srážkovým invariantem našeho systému. Podle našich předchozích úvah (viz str. 80) musí tedy být $\ln f$ lineární kombinací srážkových invariantů (3.65), tj.

$$(3.76) \quad \ln f = am + \mathbf{b} \cdot \mathbf{mv} + c \frac{1}{2}mv^2,$$

kde konstanty a , \mathbf{b} a c závisí na celkovém počtu častic, celkovém impulsu a celkové energii systému. Abychom určili tyto konstanty, přepišme (3.76) do tvaru

$$(3.77) \quad \ln f = \ln a_0 - c \frac{1}{2}m[(v_x - b_x/c)^2 + (v_y - b_y/c)^2 + (v_z - b_z/c)^2].$$

Položíme-li nyní

$$(3.78) \quad V' = \mathbf{v} - \frac{\mathbf{b}}{c},$$

dostaneme z (3.77), že

$$(3.79) \quad f = a_0 \exp(-c \frac{1}{2}mV'^2).$$

Z normovací podmínky (3.4) dále máme

$$(3.80) \quad n = \int f d\mathbf{v} = a_0 \int \exp\left(-\frac{c}{2}mV'^2\right) dV' = a_0 \left(\frac{2\pi}{mc}\right)^{3/2}.$$

Podobně

$$(3.81) \quad nv_0 = \int \mathbf{v}f d\mathbf{v} = \int \left(V' + \frac{\mathbf{b}}{c}\right) f dV' = n \frac{\mathbf{b}}{c},$$

protože $\int V'f dV' = 0$; můžeme tedy psát, že

$$(3.82) \quad \mathbf{v}_0 = \frac{\mathbf{b}}{c}$$

a tedy

$$(3.83) \quad V' = \mathbf{v} - \mathbf{v}_0 = \mathbf{v}.$$

$$(3.5) \quad \mathbf{v}_0(\mathbf{r}, t) = \frac{1}{n} \int \mathbf{v} f(\mathbf{r}, \mathbf{v}, t) d\mathbf{v}.$$

$$\delta H / \delta t = 0$$

$$\frac{\partial f}{\partial t} = \iiint (f'f'^{(1)} - ff^{(1)}) gb db dv dv^{(1)}$$

Dále podle (3.80) a (3.83) platí

$$(3.84) \quad \frac{1}{2}m\bar{V}^2 = \frac{m}{2n} \int V^2 f d\mathbf{v} = \frac{m}{2n} a_0 \int V^2 \exp\left(-\frac{c}{2}mV^2\right) dV = \frac{3}{2}kT.$$

S ohledem na definici V (3.6) je ale zřejmé, že

$$(3.85) \quad \frac{1}{2}m\bar{V}^2 = \frac{3}{2}kT$$

a tedy

$$(3.86) \quad c = \frac{1}{kT},$$

kde k je Boltzmannova konstanta a T kinetická teplota plynu. Spojením předchozích výsledků dostaváme nyní rozdělovací funkci f ve tvaru

$$(3.87) \quad f = n \left(\frac{m}{2\pi kT}\right)^{3/2} \exp\left(-\frac{mV^2}{2kT}\right).$$

Tato rozdělovací funkce se nazývá Maxwellovou rozdělovací funkcí a systém, jehož stav je takovouto funkcí popsán, se nazývá maxwellovský systém.

Podle obecné definice rozdělovací funkce je $f d\mathbf{v}$ počet častic v jednotkovém objemu, jejichž rychlosti leží v intervalu \mathbf{v} , $\mathbf{v} + d\mathbf{v}$. V některých případech je ale vhodné znat počet častic v jednotce objemu, jejichž rychlosti leží v intervalu V , $V + dV$, tj. zajímáme se pouze o absolutní hodnotu rychlosti a ne o směr. Zavedením sférických souřadnic (V , θ , ϕ) snadno získáme, že

$$(3.88) \quad d\mathbf{v} = dV = V^2 \sin \theta d\theta d\phi dV$$

a odtud integrací přes θ a ϕ pak dostaneme, že počet častic v jednotce objemu, jejichž rychlosti leží mezi V a $V + dV$, je dán vztahem

$$(3.89) \quad \left(\frac{2}{\pi}\right)^{1/2} n \left(\frac{m}{kT}\right)^{3/2} V^2 \exp\left(-\frac{mV^2}{2kT}\right) dV.$$

Pomocí takto zapsaného rozdělení můžeme nyní snadno určit střední hodnotu nějaké fyzikální veličiny, která nezávisí na směru rychlosti.

Tak např.

$$(3.90) \quad \bar{V} = \left(\frac{2}{\pi}\right)^{1/2} \left(\frac{m}{kT}\right)^{3/2} \int_0^\infty V^3 e^{-mV^2/2kT} dV = \left(\frac{8kT}{\pi m}\right)^{1/2}$$

a podobně

$$(3.91) \quad \bar{V}^2 = \frac{3kT}{m}.$$

Mean values

Dále můžeme spočítat nejpravděpodobnější rychlosť \bar{V}_n , tj. rychlosť, pro kterou (3.89) dosahuje maxima. Snadno najdeme, že

$$(3.92) \quad \bar{V}_n = \left(\frac{2kT}{m} \right)^{1/2}.$$

Sledujme nyní, jak vypadá tlakový tenzor (viz str. 71) maxwellovského systému. Jak je možno snadno zjistit, všechny členy tenzoru (3.11), s výjimkou diagonálních, jsou nulové. Pro výpočet diagonálních členů stačí uvážit, že $\bar{V}_x^2 = \bar{V}_y^2 = \bar{V}_z^2 = kT/m$. Potom dostaneme, že

$$(3.93) \quad p_{xx} = p_{yy} = p_{zz} = \frac{1}{3}(p_{xx} + p_{yy} + p_{zz}) = p = nkT$$

a tedy

$$(3.94) \quad \underline{\underline{p}} = nkT\underline{\underline{I}}.$$

Boltzman H-theorem

in general

Sledujme nyní obecnější případ systému stejných částic, kdy $\nabla_r \neq 0$ a $\vec{F} \neq 0$.
Pro jednoduchost předpokládejme, že vnější síly \vec{F} nezávisí na rychlosti částic.
Sestrojme nyní, stejně jako v kapitole 1, \mathcal{H} -funkci podle definice

$$(3.95) \quad \mathcal{H} = \iint f \ln f \, dv \, dr.$$

Potom

$$(3.96) \quad \begin{aligned} \frac{\partial \mathcal{H}}{\partial t} &= \iint (1 + \ln f) \frac{\partial f}{\partial t} \, dv \, dr = \\ &= \iint \left\{ (1 + \ln f) \frac{\delta_e f}{\delta t} - \mathbf{v} \cdot \nabla_r (f \ln f) - \frac{\vec{F}}{m} \cdot \nabla_v (f \ln f) \right\} \, dv \, dr. \end{aligned}$$

Poslední dva členy pravé strany (3.96) při integraci vymizí (protože $\lim_{v \rightarrow \pm\infty} f \ln f = \lim_{r \rightarrow \pm\infty} f \ln f = 0$) a můžeme proto psát

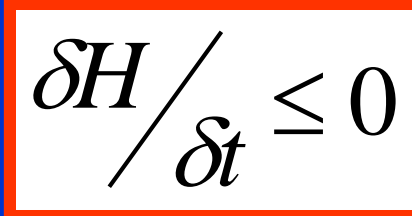
$$(3.97) \quad \frac{\partial \mathcal{H}}{\partial t} = \iint (1 + \ln f) \frac{\delta_e f}{\delta t} \, dv \, dr.$$

To ale znamená (stejně jako v předchozím případě), že

$$(3.98) \quad \frac{\partial \mathcal{H}}{\partial t} \leq 0;$$



$$\nabla_r \neq 0, \quad \vec{F} \neq 0$$



$$\frac{\delta H}{\delta t} \leq 0$$

$$(3.60) \quad \begin{aligned} &\iiint \Phi_i (f'_i f_i^{(1)} - f_i f_i^{(1)}) g b \, db \, de \, dv_i^{(1)} \, dv_i = \\ &= \frac{1}{4} \iiint (\Phi_i + \Phi_i^{(1)} - \Phi'_i - \Phi'^{(1)}_i) (f'_i f_i^{(1)} - f_i f_i^{(1)}) g b \, db \, de \, dv_i^{(1)} \, dv_i \end{aligned}$$

Maxwell distribution function

Potential field

v rovnovážném stavu, kdy $\delta_e f / \delta t = 0$, je potom

$$(3.99) \quad f = n \left(\frac{m}{2\pi kT} \right)^{3/2} \exp \left(-\frac{mv^2}{2kT} \right),$$

kde $V = v - v_0$. Veličiny n , v_0 a T nyní nezávisí na v a t , ale závisí na r .

Tuto závislost si demonstrujme na jednoduchém případu, kdy $v_0 = 0$.
Potom

$$(3.100) \quad f = n(r) \left(\frac{m}{2\pi kT(r)} \right)^{3/2} e^{-mv^2/2kT(r)}$$

a musí platit

$$(3.101) \quad v \cdot \nabla_r f + \frac{\mathbf{F}}{m} \cdot \nabla_v f = 0.$$

Dosadíme-li nyní do této rovnice rozdělovač funkci (3.100), dostaneme po kratších úpravách

$$(3.102) \quad v \cdot \nabla_r \left(\ln \frac{n}{T^{3/2}} \right) + \frac{m}{2kT} \frac{v^2}{T} v \cdot \nabla_r T - \frac{\mathbf{F}}{kT} \cdot v = 0.$$

Aby tato rovnice byla splněna, musí být členy při stejných mocninách v nulové.
Odtud již snadno dostaneme, že

$$(3.103) \quad \nabla_r T = 0$$

a

$$(3.104) \quad \nabla_r \left(\ln \frac{n}{T^{3/2}} \right) - \frac{\mathbf{F}}{kT} = 0.$$

Z rovnice (3.104) dále plyne, že

$$(3.105) \quad \mathbf{F} = kT \nabla_r \left(\ln \frac{n}{T^{3/2}} \right).$$

Označíme-li nyní potenciál silového pole jako Φ ($\mathbf{F} = -\nabla_r \Phi$), pak

$$(3.106) \quad \Phi = -kT \ln n + \text{konst}$$

a pro koncentraci dostáváme

$$(3.107) \quad n = n_0 \exp \left(-\frac{\Phi}{kT} \right),$$

$$\frac{\delta H}{\delta t} = 0$$

Equilibrium -- that's terribly strong

$$\nabla_r \neq 0, \quad \vec{F} \neq 0$$

$$(3.43) \quad \frac{\partial f_i}{\partial t} + \mathbf{v}_i \cdot \nabla_r f_i + \frac{\mathbf{F}_i}{m_i} \cdot \nabla_v f_i = \sum_j \iiint (f'_i f'_j - f_i f_j) g_{ij} db de dv_j$$

pro výpočet rozdělovač funkce f_i i-tého druhu častic – Boltzmannova rovnici.

$$=0 \quad =0$$

This only shows that it does not have an internal contradiction
balance... thermodynamic equilibrium ???

kde n_0 odpovídá koncentraci v místě $\Phi = 0$. Růzdělovač funkce (3.100) má pak tvar

$$(3.108) \quad f = n_0 \left(\frac{m}{2\pi kT} \right)^{3/2} \exp \left(-\frac{mv^2}{2kT} - \frac{\Phi}{kT} \right)$$

All this in
balance

It is necessary to understand this so
that we can use it???

Boltzman H-theorem

.... in general

$$\nabla_r \neq 0, \quad \vec{F} \neq 0$$



$$\delta H / \delta t \leq 0$$

Maxwell distribution function

v rovnovážném stavu, kdy $\delta_e f / \delta t = 0$, je potom

$$(3.99) \quad f = n \left(\frac{m}{2\pi kT} \right)^{3/2} \exp \left(-\frac{mv^2}{2kT} \right),$$

kde $V = v - v_0$. Veličiny n , v_0 a T nyní nezávisí na v a t , ale závisí na r .

Tuto závislost si demonstrujme na jednoduchém případu, kdy $v_0 = 0$.
Potom

$$(3.100) \quad f = n(r) \left(\frac{m}{2\pi kT(r)} \right)^{3/2} e^{-mv^2/2kT(r)}$$

a musí platit

$$(3.101) \quad v \cdot \nabla_r f + \frac{\mathbf{F}}{m} \cdot \nabla_v f = 0.$$

Dosadíme-li nyní do této rovnice rozdělovací funkci (3.100), dostaneme po kratších úpravách

$$(3.102) \quad v \cdot \nabla_r \left(\ln \frac{n}{T^{3/2}} \right) + \frac{m}{2kT} \frac{v^2}{T} v \cdot \nabla_r T - \frac{\mathbf{F}}{kT} \cdot v = 0.$$

Aby tato rovnice byla splněna, musí být členy při stejných mocninách v nulové.
Odtud již snadno dostaneme, že

$$(3.103) \quad \nabla_r T = 0$$

a

$$(3.104) \quad \nabla_r \left(\ln \frac{n}{T^{3/2}} \right) - \frac{\mathbf{F}}{kT} = 0.$$

Z rovnice (3.104) dále plyne, že

$$(3.105) \quad \mathbf{F} = kT \nabla_r \left(\ln \frac{n}{T^{3/2}} \right).$$

Označíme-li nyní potenciál silového pole jako Φ ($\mathbf{F} = -\nabla_r \Phi$), pak

$$(3.106) \quad \Phi = -kT \ln n + \text{konst}$$

a pro koncentraci dostáváme

$$(3.107) \quad n = n_0 \exp \left(-\frac{\Phi}{kT} \right),$$

■ Potential field

$$\delta H / \delta t = 0$$

$$\nabla_r \neq 0, \quad \vec{F} \neq 0$$

!!!!!!

kde n_0 odpovídá koncentraci v místě $\Phi = 0$. Rozdělovací funkce (3.100) má pak tvar

$$(3.108) \quad f = n_0 \left(\frac{m}{2\pi kT} \right)^{3/2} \exp \left(-\frac{mv^2}{2kT} - \frac{\Phi}{kT} \right)$$

- f is standardized to n !!!
- f was derived from assumption $v_0=0!!!$

→ (No macroscopic movement)

Maxwell distribution function

■ Potential field

kde n_0 odpovídá koncentraci v místě $\Phi = 0$. Růzdělovací funkce (3.100) má pak tvar

$$(3.108) \quad f' = n_0 \left(\frac{m}{2\pi kT} \right)^{3/2} \exp \left(-\frac{mv^2}{2kT} - \frac{\Phi}{kT} \right) d\vec{v}$$

- f is standardized to n

f was derived under the assumption of $v_0=0$ → no macroscopic motion

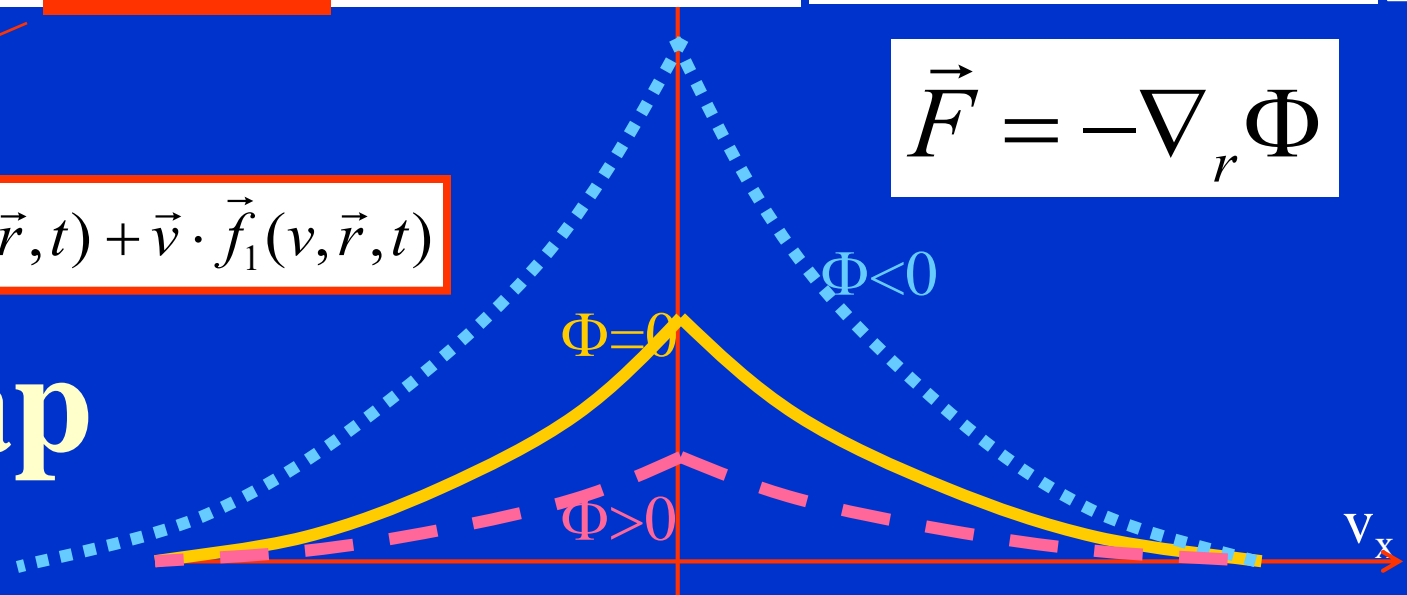
$$f = n_0 \left(\frac{m}{2\pi kT} \right)^{3/2} \exp \left(-\frac{\Phi}{kT} \right) \exp \left(-\frac{mv^2}{2kT} \right) d\vec{v} \quad n(\vec{r}) = n_0 \exp \left(-\frac{\Phi}{kT} \right)$$

$n(r)$

$$\vec{F} = -\nabla_r \Phi$$

$$f(\vec{v}, \vec{r}, t) = f_0(v, \vec{r}, t) + \vec{v} \cdot \vec{f}_1(v, \vec{r}, t)$$

Ion trap

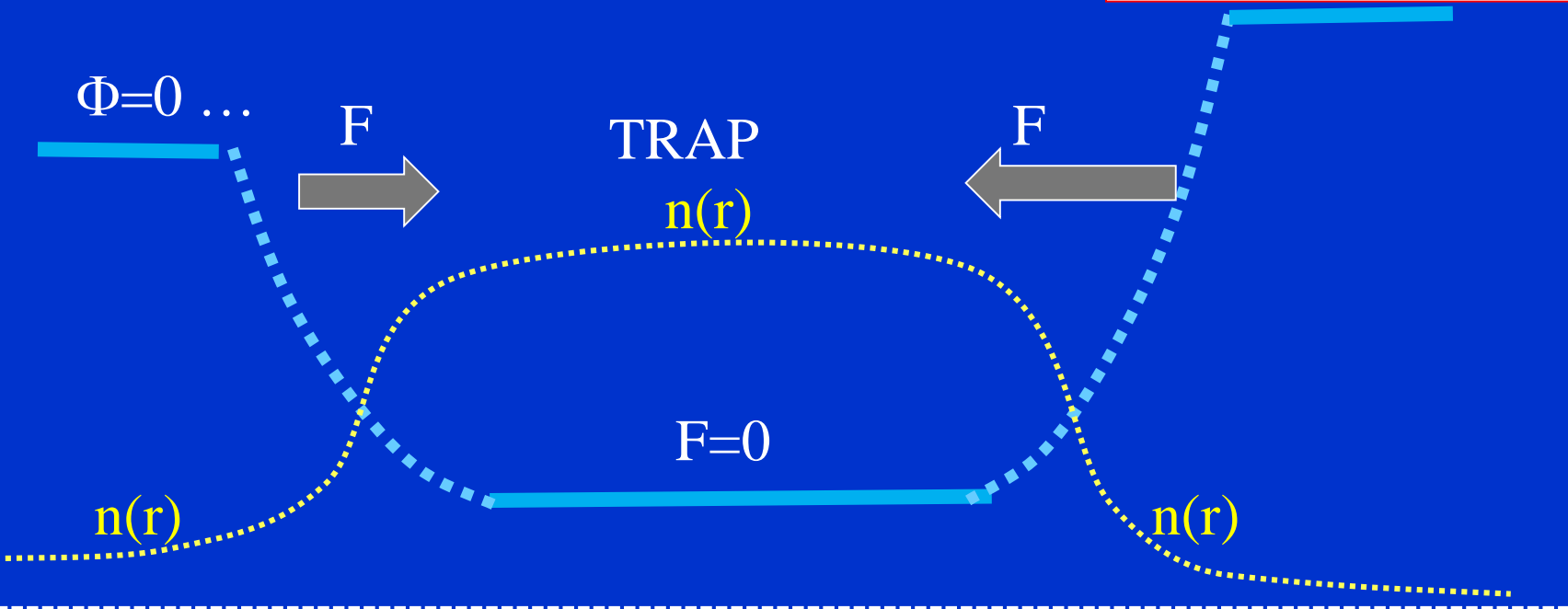


Maxwelova rozdělovací funkce

$$\vec{F} = -\nabla_r \Phi$$

- Potenciálové pole

Potenciál silového pole



Density of trapped particles

$$f = n_0 \left(\frac{m}{2\pi kT} \right)^{3/2} \exp\left(-\frac{\Phi}{kT}\right) \exp\left(-\frac{mv^2}{2kT}\right) d\vec{v}$$

$$n(\vec{r}) = n_0 \exp\left(-\frac{\Phi}{kT}\right)$$

$$n(r)$$

$$f(\vec{v}, \vec{r}, t) = f_0(v, \vec{r}, t) + \vec{v} \cdot \vec{f}_1(v, \vec{r}, t)$$

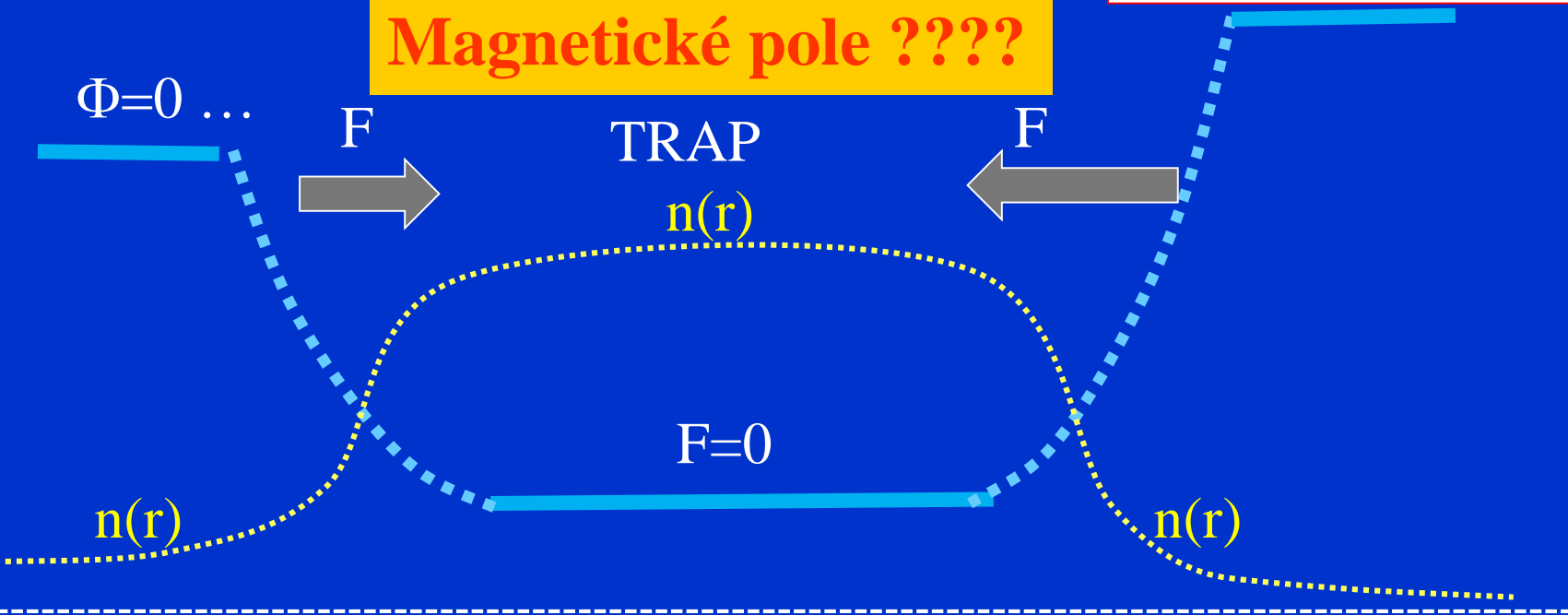
Maxwelova rozdělovací funkce

$$\vec{F} = -\nabla_r \Phi$$

- Potenciálové pole

Potenciál silového pole

Magnetické pole ????



Density of trapped particles

$$f = n_0 \left(\frac{m}{2\pi kT} \right)^{3/2} \exp\left(-\frac{\Phi}{kT}\right) \exp\left(-\frac{mv^2}{2kT}\right) d\vec{v}$$

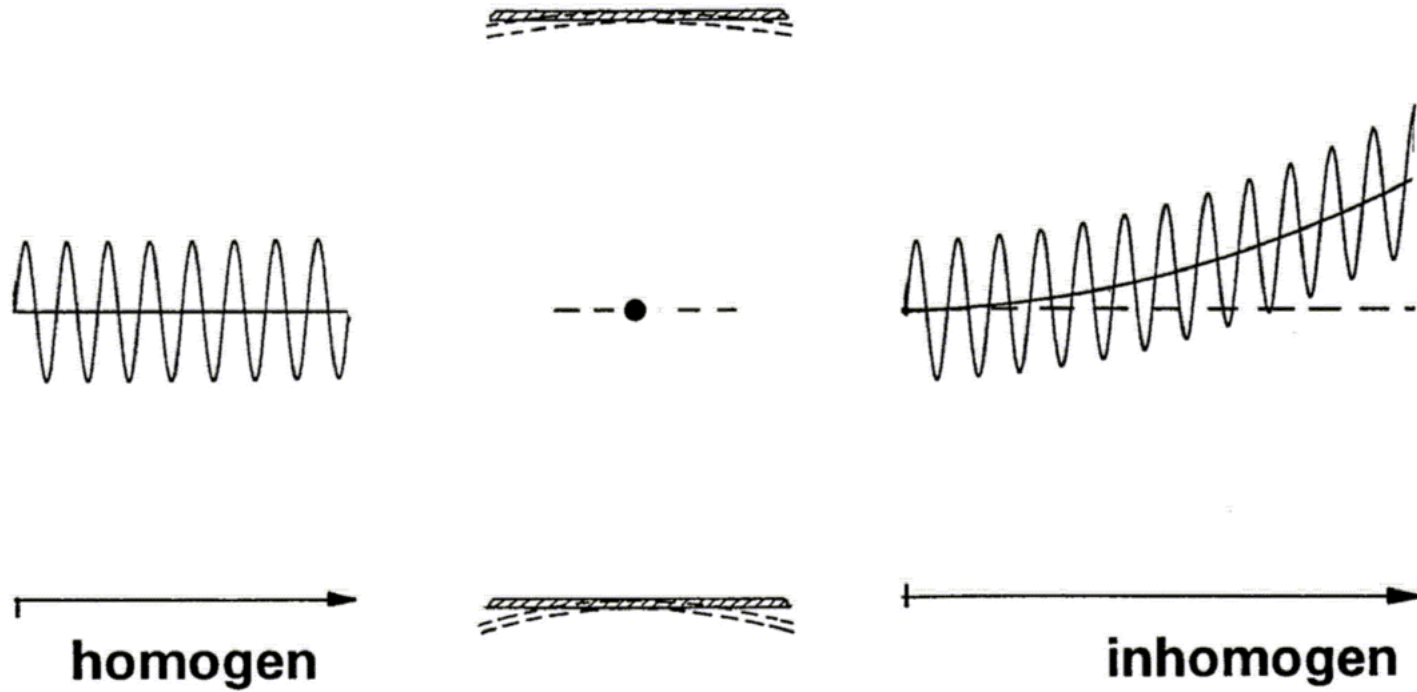
$$n(\vec{r}) = n_0 \exp\left(-\frac{\Phi}{kT}\right)$$

$n(r)$

$$f(\vec{v}, \vec{r}, t) = f_0(v, \vec{r}, t) + \vec{v} \cdot \vec{f}_1(v, \vec{r}, t)$$

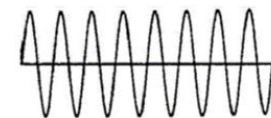
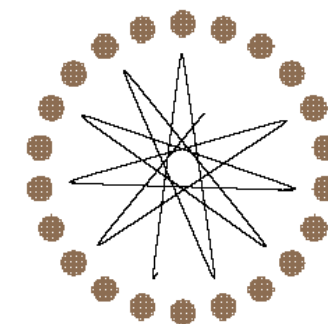
Homogeneous electric field / Inhomogeneous electric field

$$m\ddot{\mathbf{r}} = q\mathbf{E}_0(\mathbf{r}) \cos(\Omega t + \delta) + q\mathbf{E}_s(\mathbf{r})$$



Kapitza 1951, Landau-Lifschitz Classical Mechanics 1962

22-pole ion trap



homogen

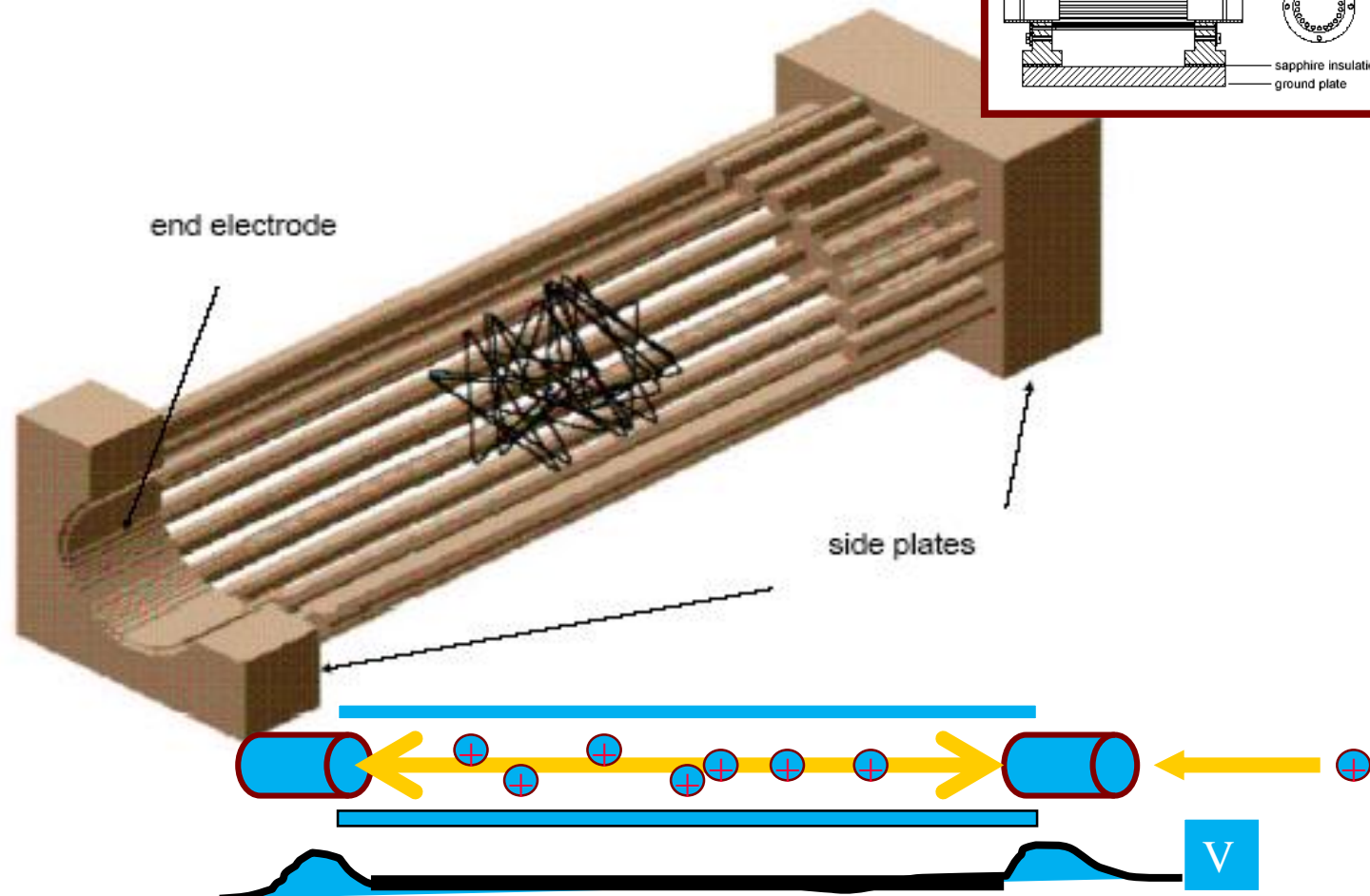
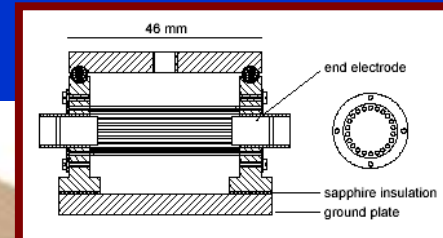
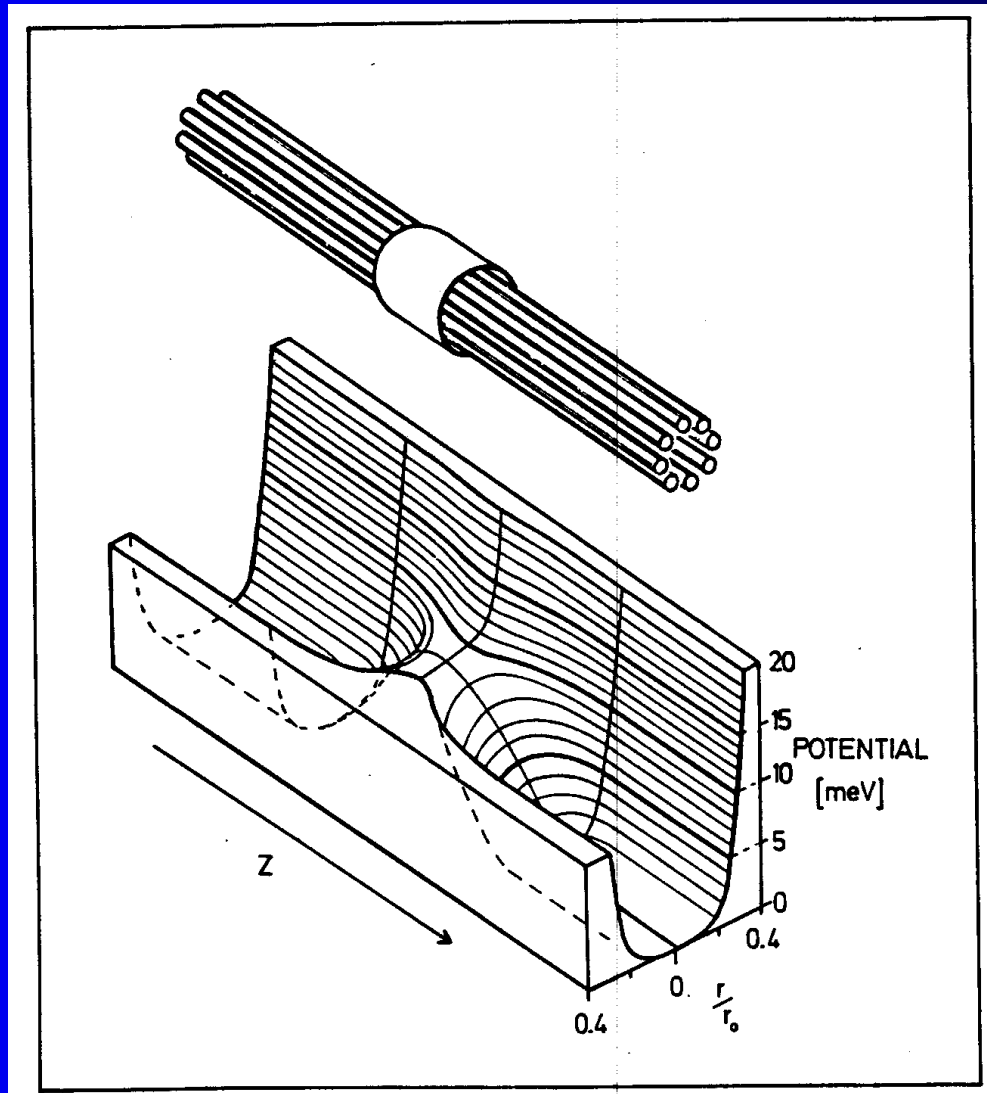


Figure 10.13: Three-dimensional numerical simulation of the trajectory of a singly charged ion (mass 3) in a 22-pole trap. RF parameters as above, static voltages at the end caps +0.1 V, kinetic energy of the ion $E_{\text{kin}} = 7.5 \text{ meV}$ ($\sim 90 \text{ K}$). For clarity, only part of the side plates are drawn and the upper rods and part of one of the side plates with the end electrode inside is cut away.



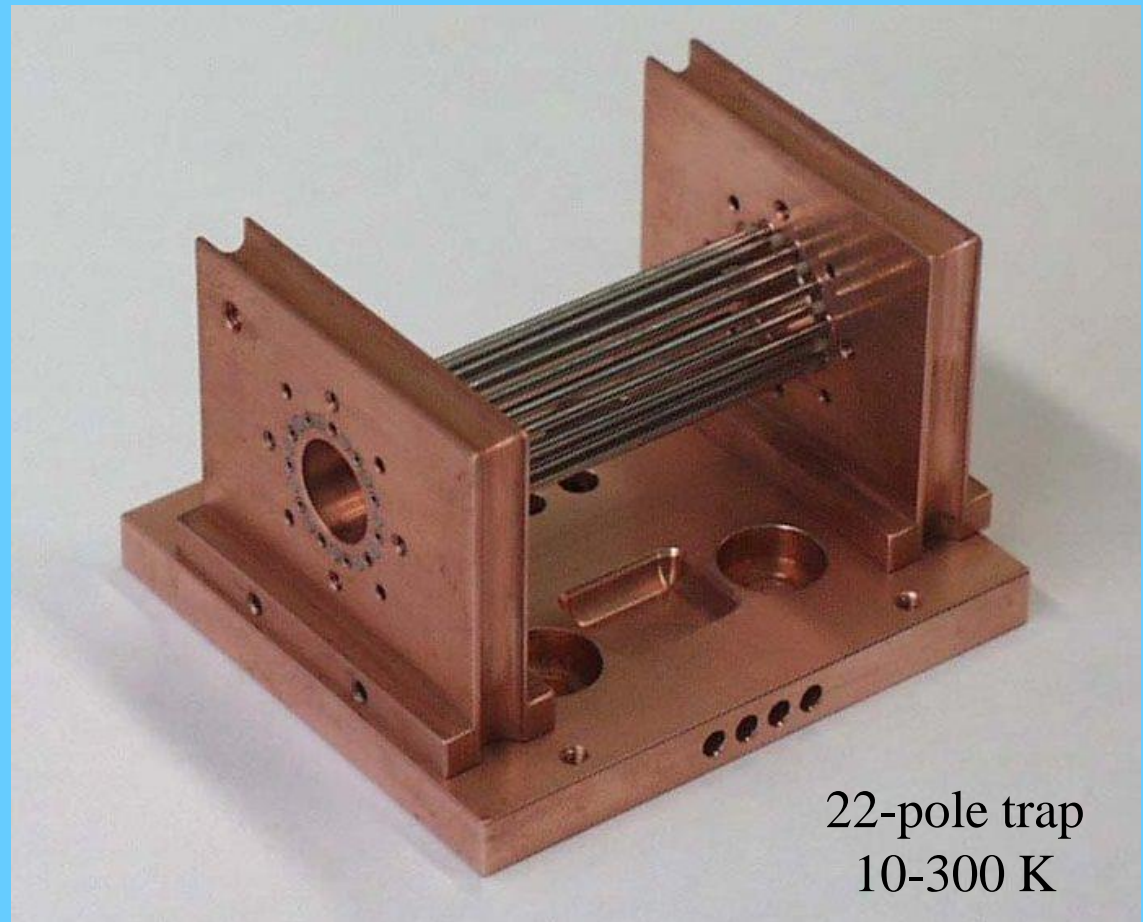
8-pole trap



Effective potential
8-pole trap

When we were still Barbarians

Ked' my sme ešte boli Barbari



22-pole trap
10-300 K



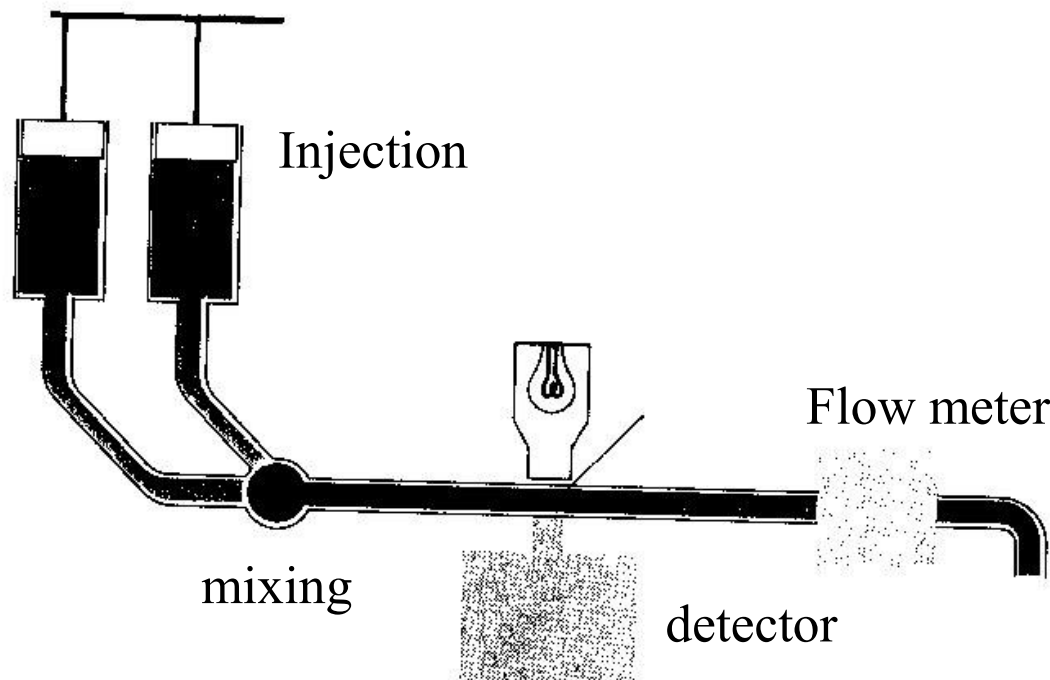
Figure 3.3: The 22-pole ion trap forms the central element of the new ion trap setup. It is mounted on a helium cryostat and can be cooled to temperatures between 8 – 300 K. The base plate of a 50 K thermoshield can be seen, which reduces the heat input on the trap housing caused by blackbody radiation. The 22 rf electrodes are surrounded by five electrostatic ring electrodes, which can be used to shift the stored ions inside the trap. Cylindrical endcaps are used to confine the ions in axial direction.

Ion trap

EVERYDAY REALITY

Rate Law

- **rate = $k[A]^x[B]^y$**
- **rate order = $x + y$**
- **knowledge of order can help control reaction**
- **rate must be experimentally determined**



FA– Flowing Afterglow principle

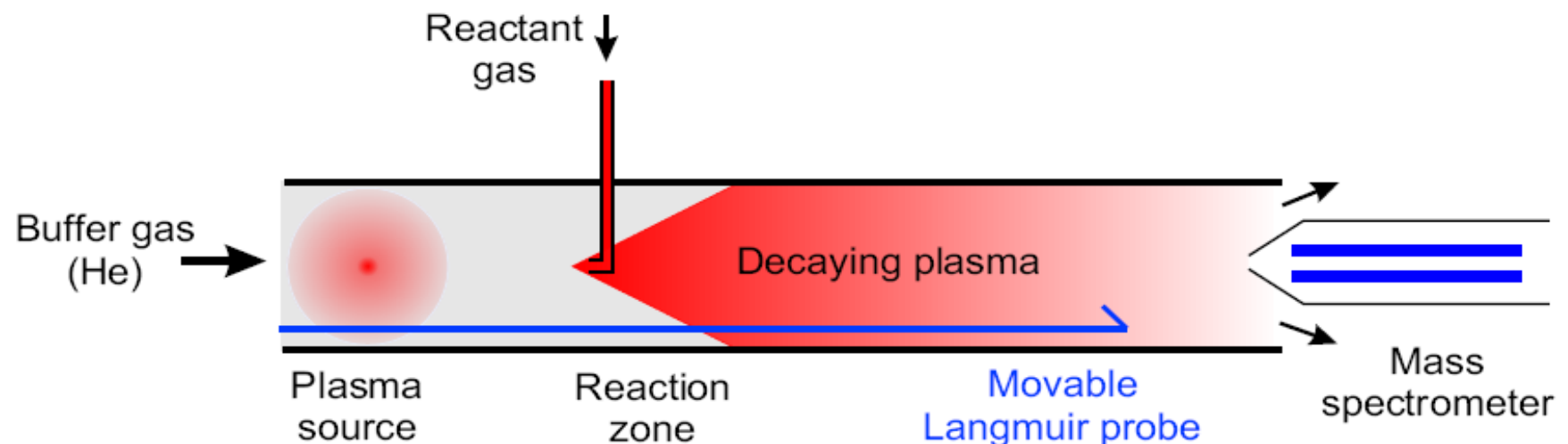


Figure 1.1: The basic principle of FA and FALP techniques.

Techniques for study of IMR – FALP

1965

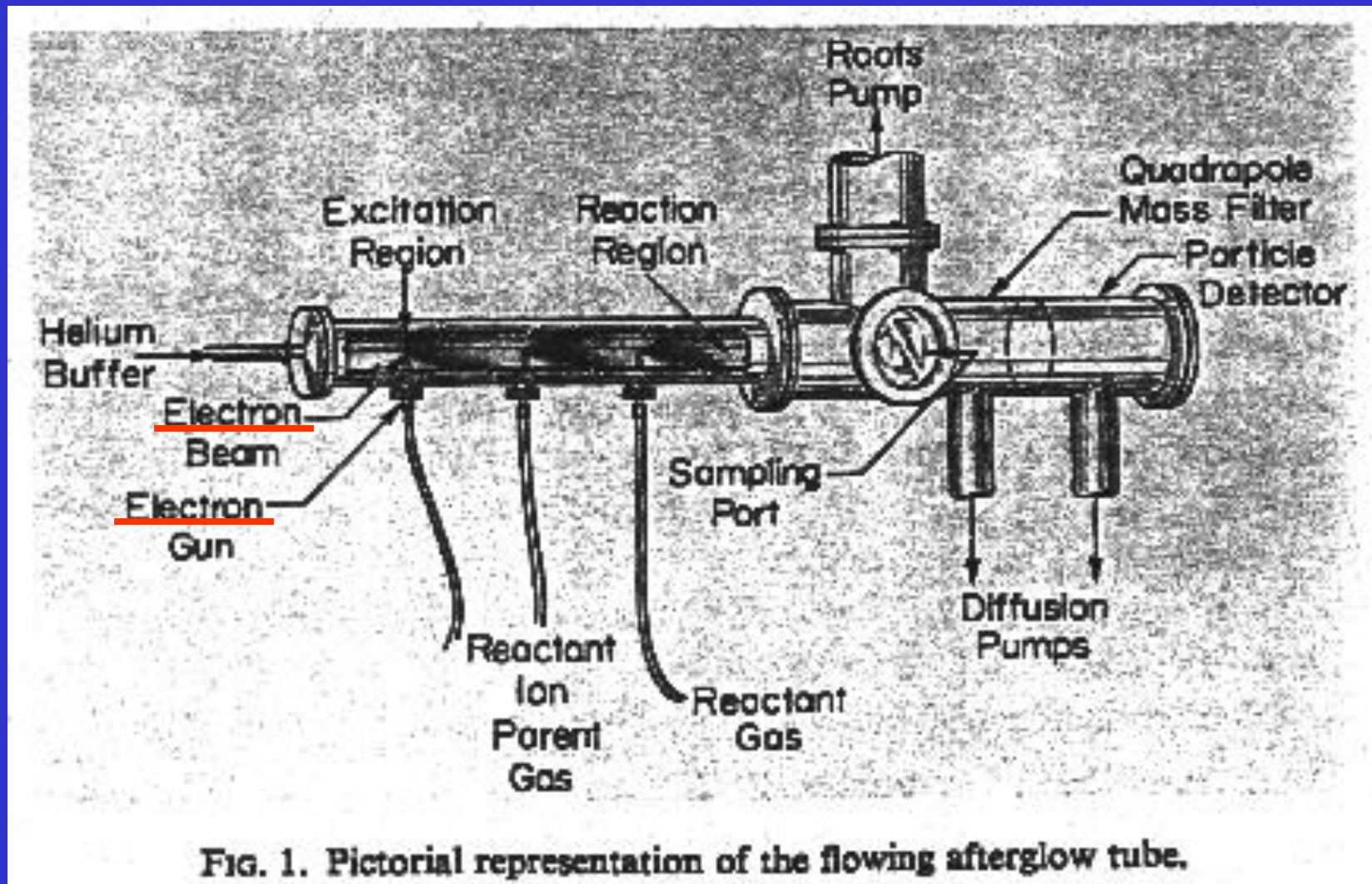
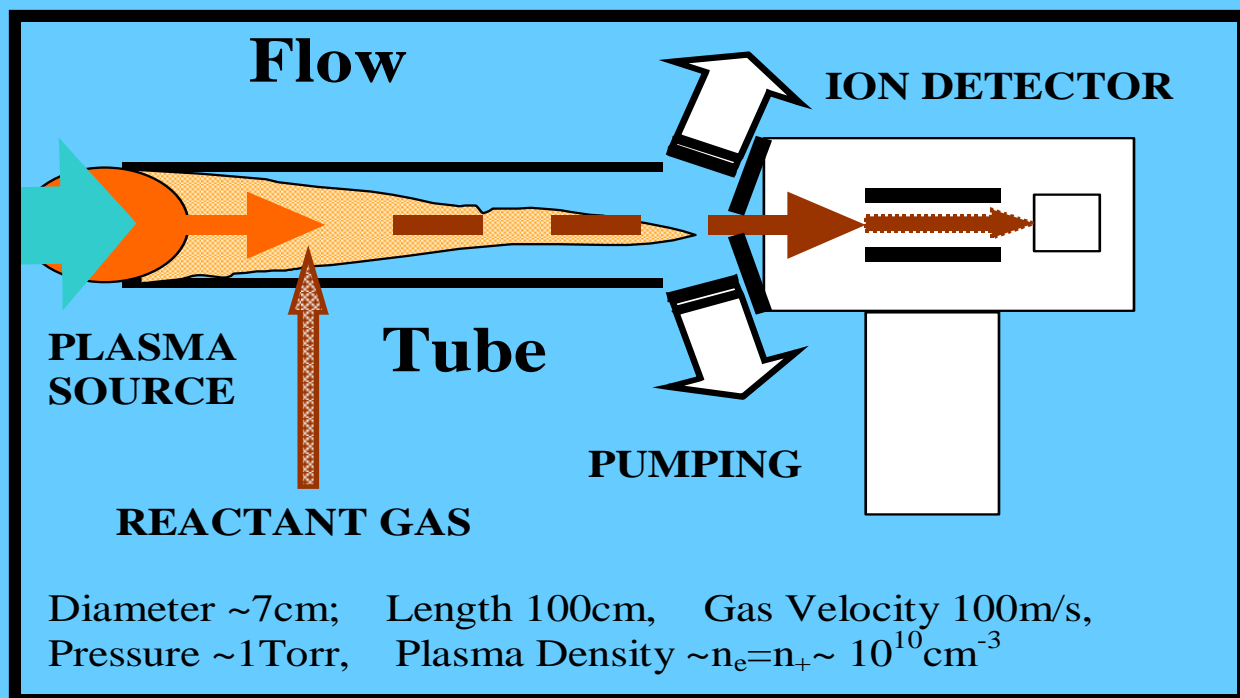
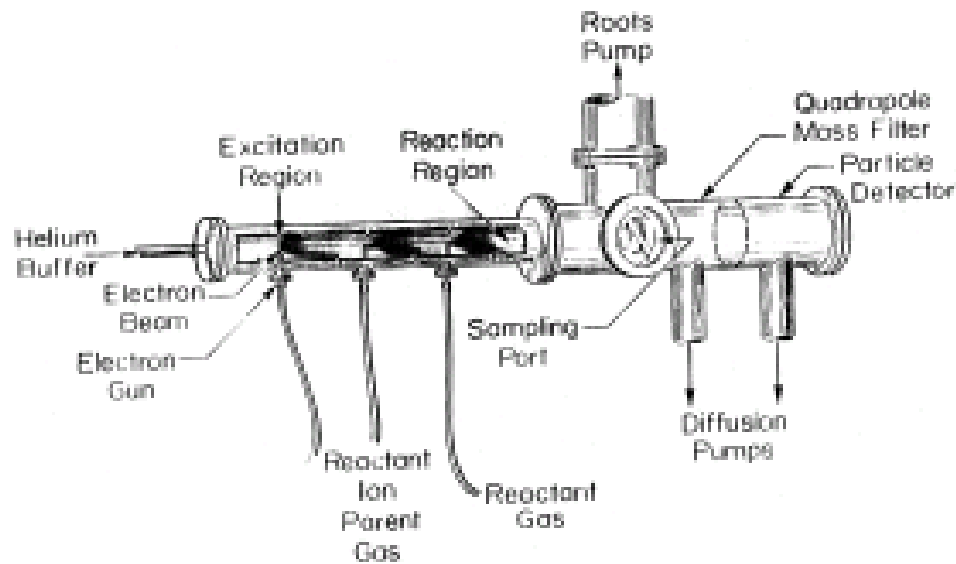


Fig. 1. Pictorial representation of the flowing afterglow tube.

Experimental studies of IMR → FA



Techniques for study of IMR

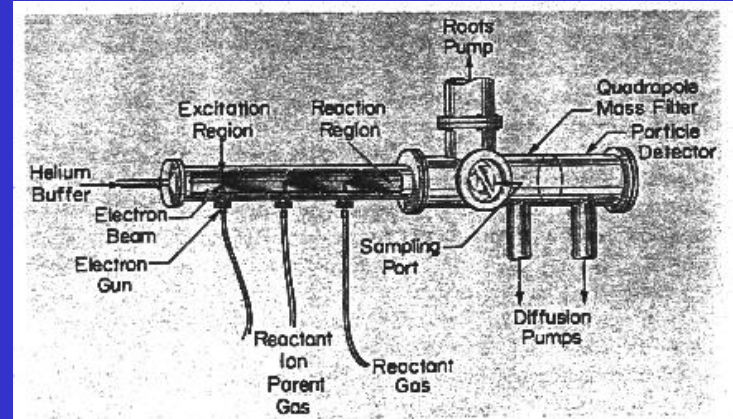
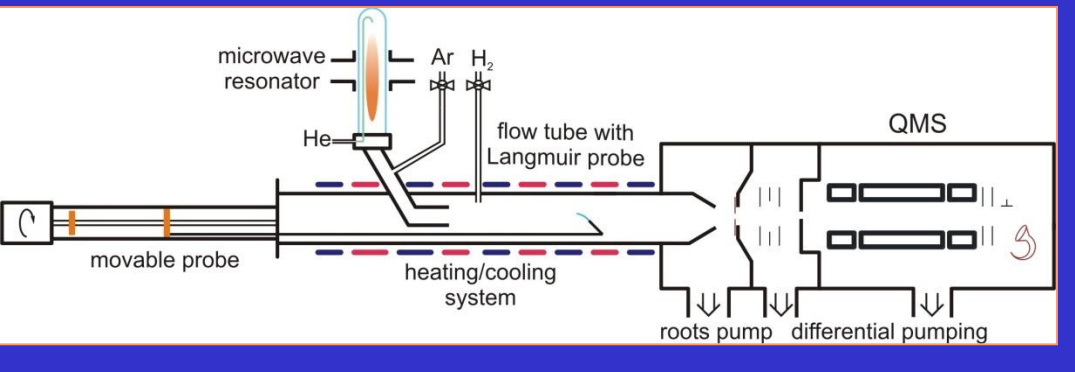
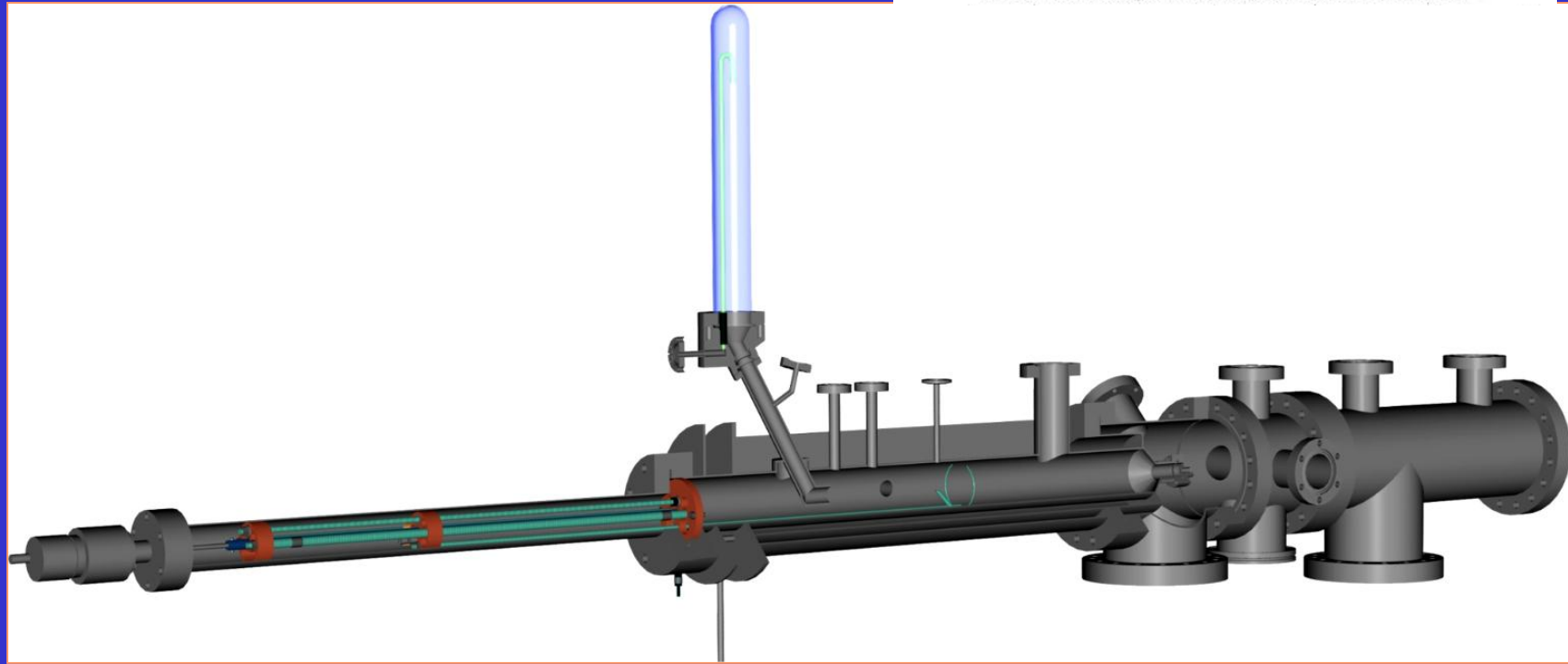
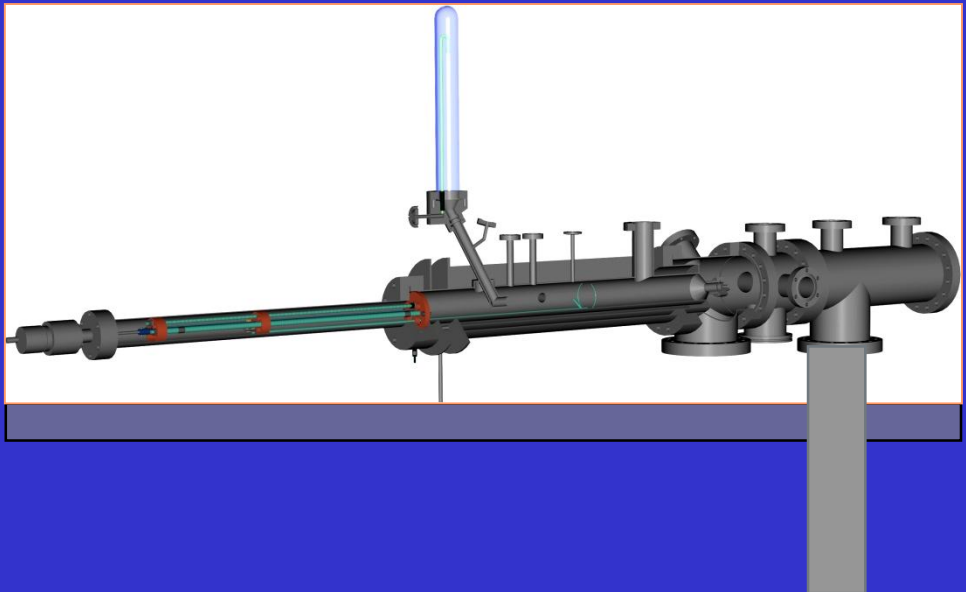
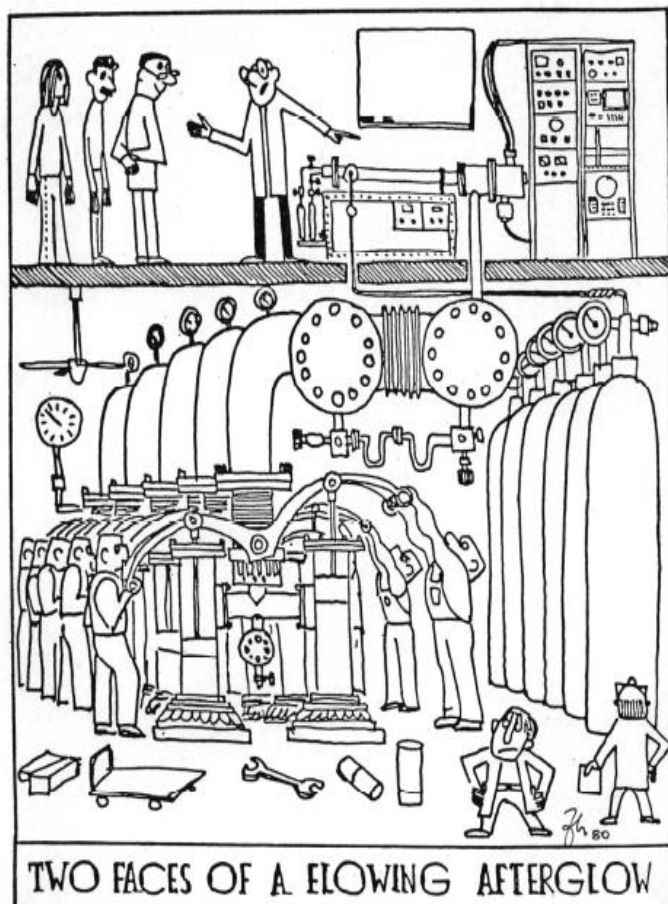


FIG. 1. Pictorial representation of the flowing afterglow tube.









*Two faces of a flowing afterglow.
(Opening picture to a seminar in Boulder, 1980)*



Techniques for study of IMR

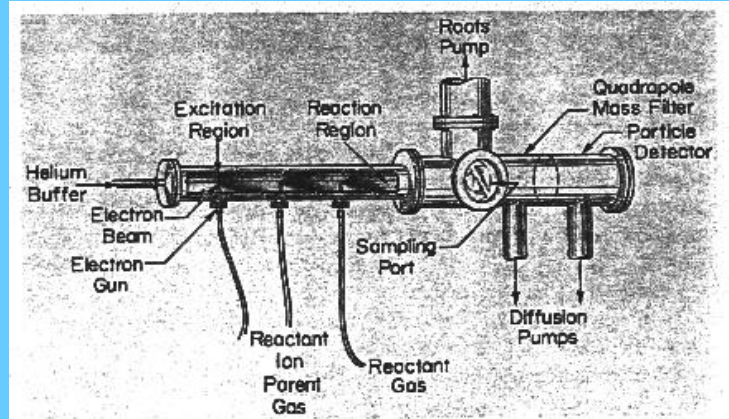
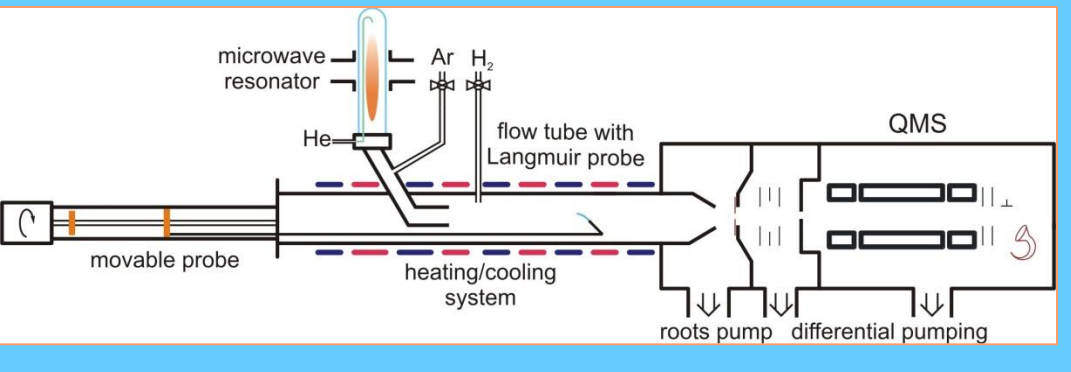
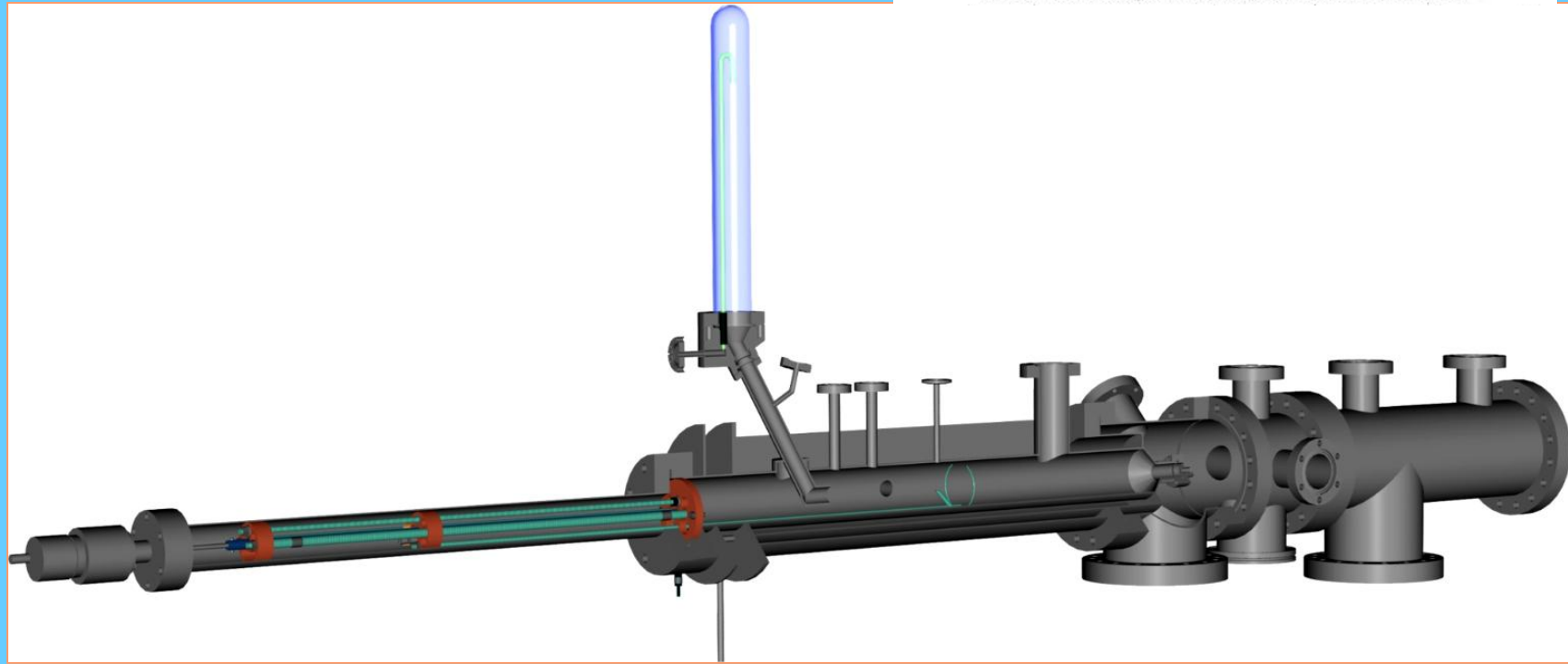
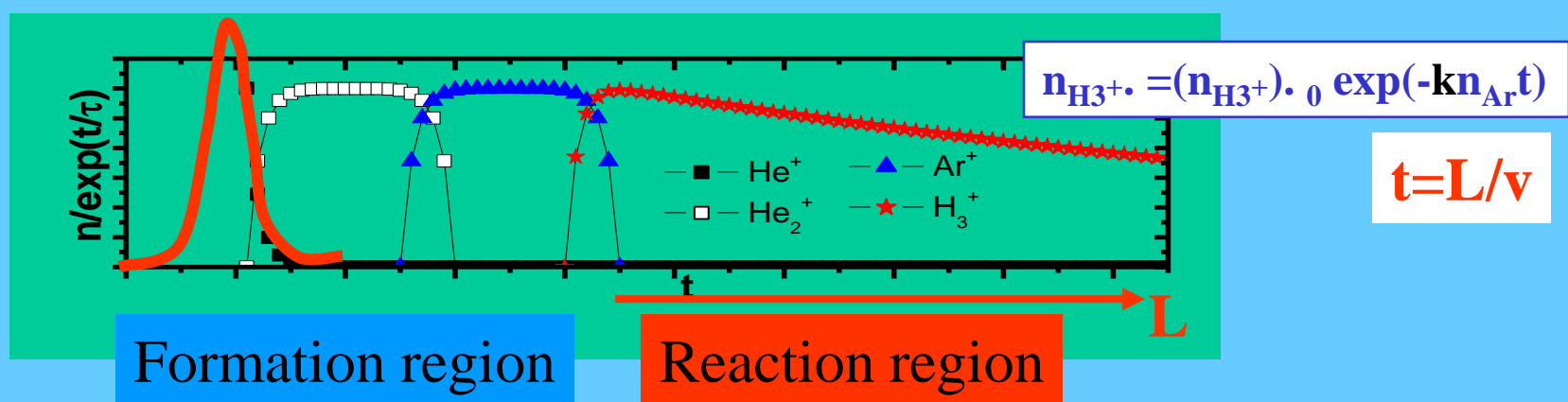
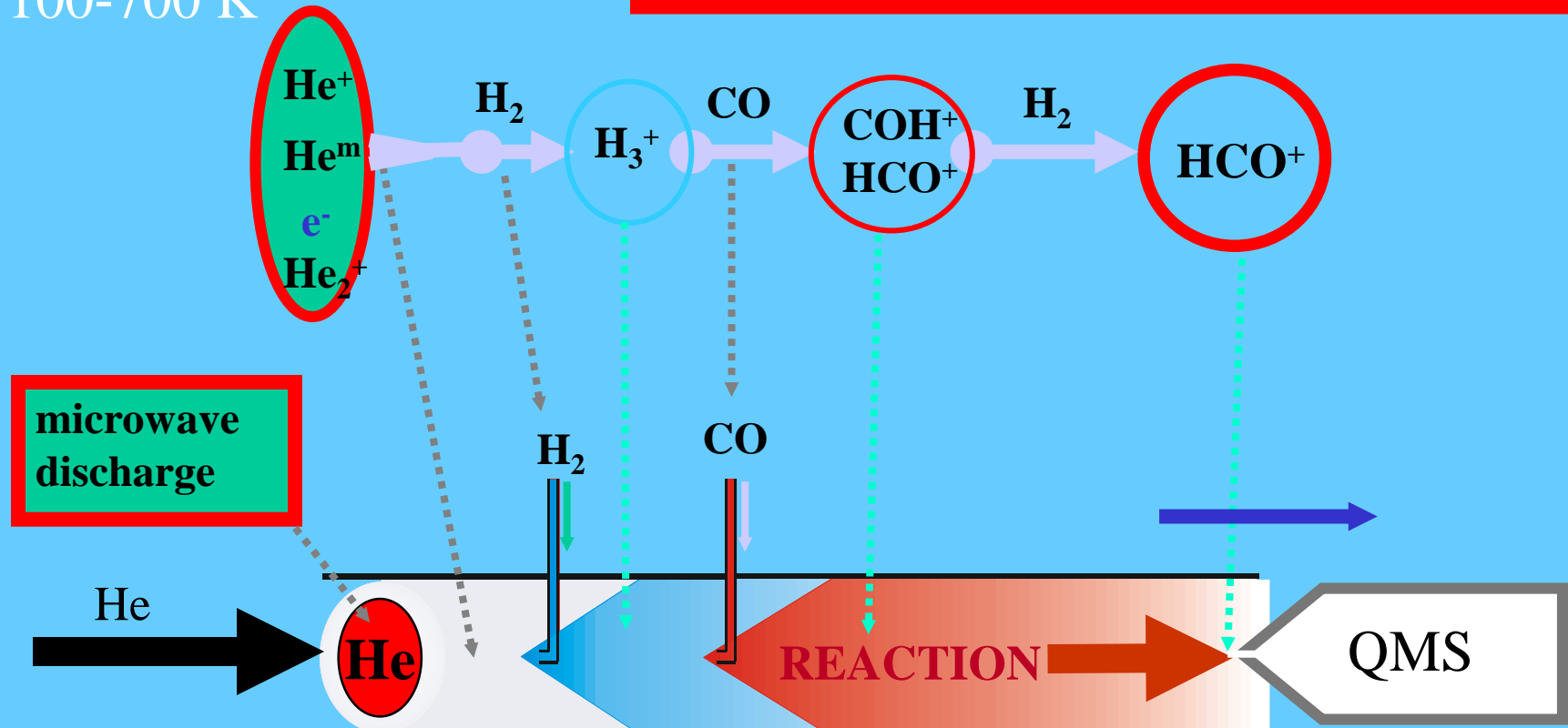
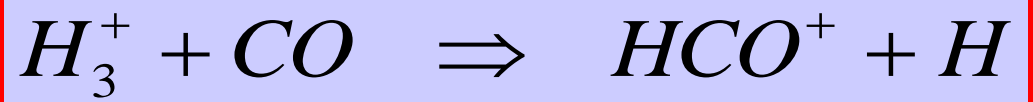


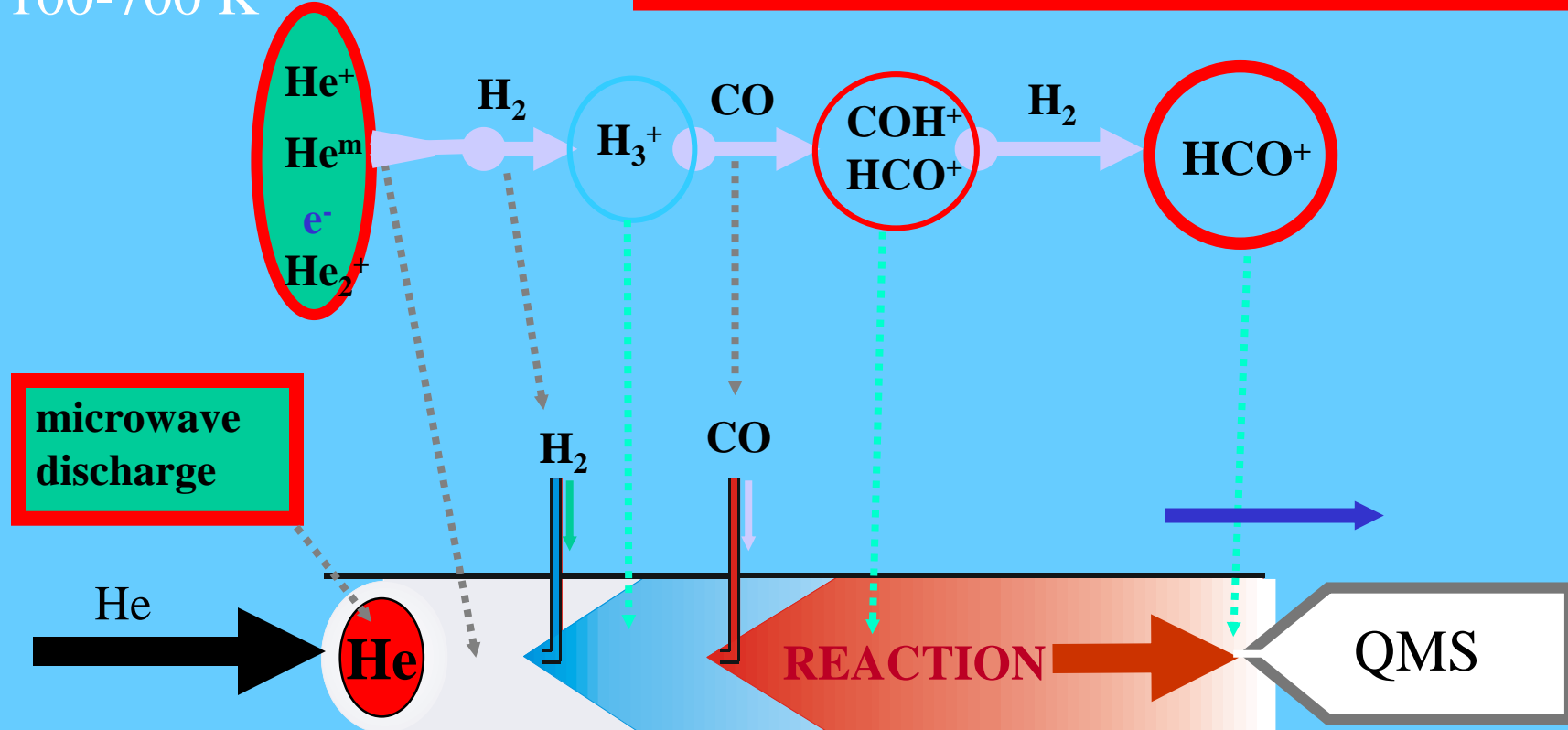
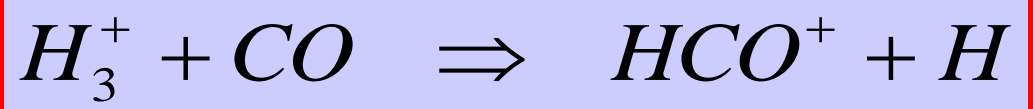
FIG. 1. Pictorial representation of the flowing afterglow tube.



FA - Flowing Afterglow
100-700 K

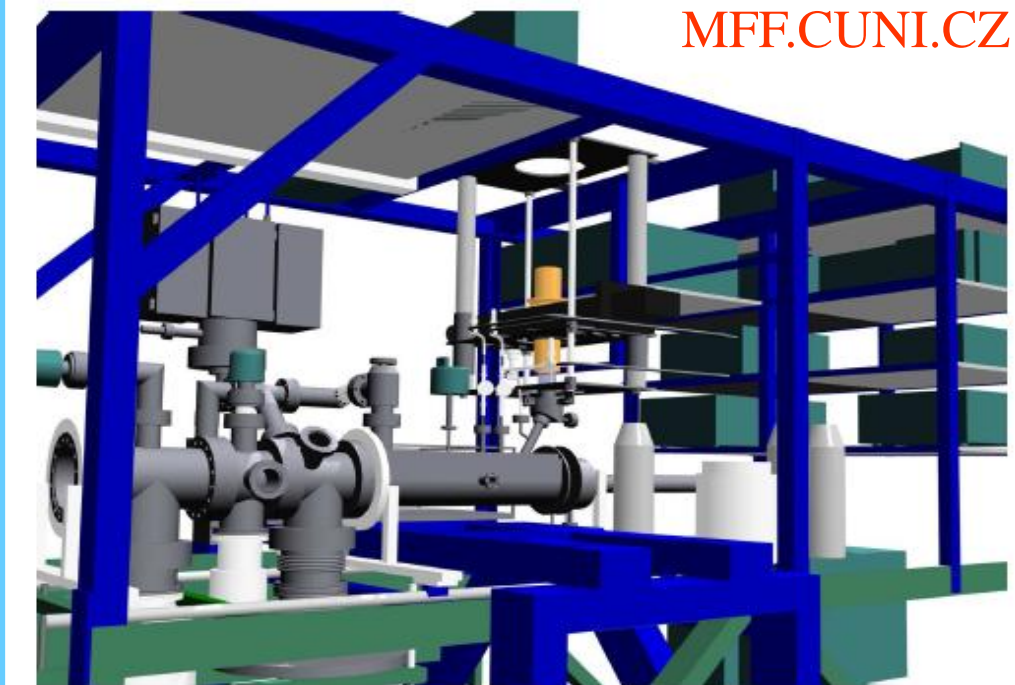


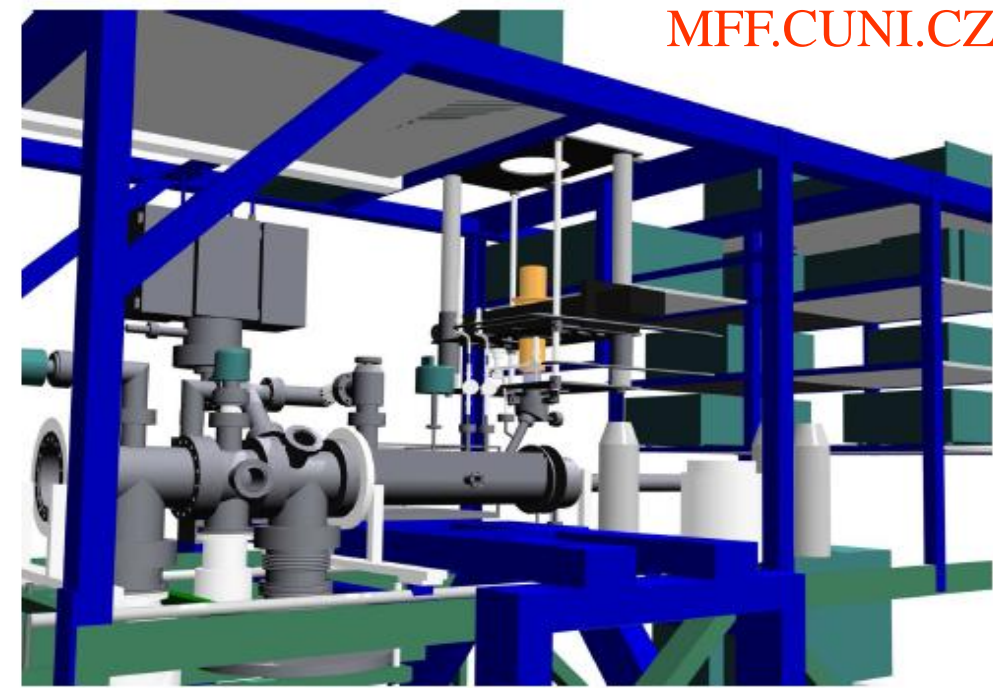
FA - Flowing Afterglow
100-700 K



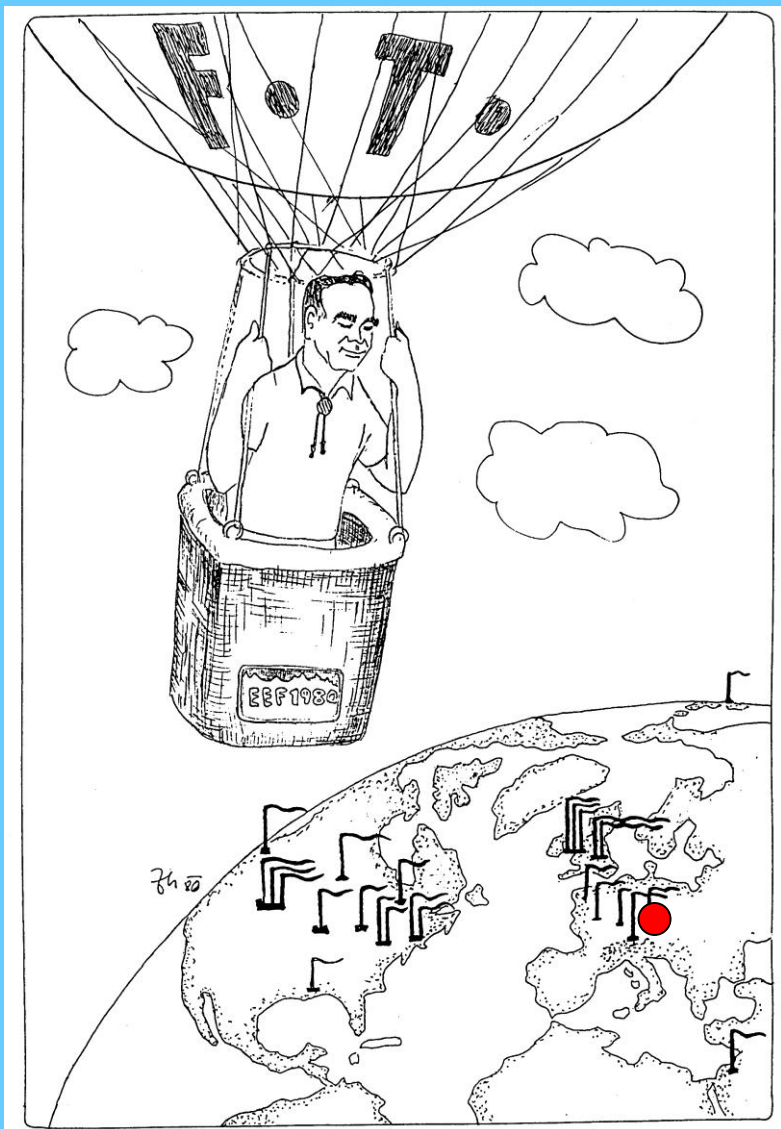
FA- Flowing Afterglow 2005

MFF.CUNI.CZ

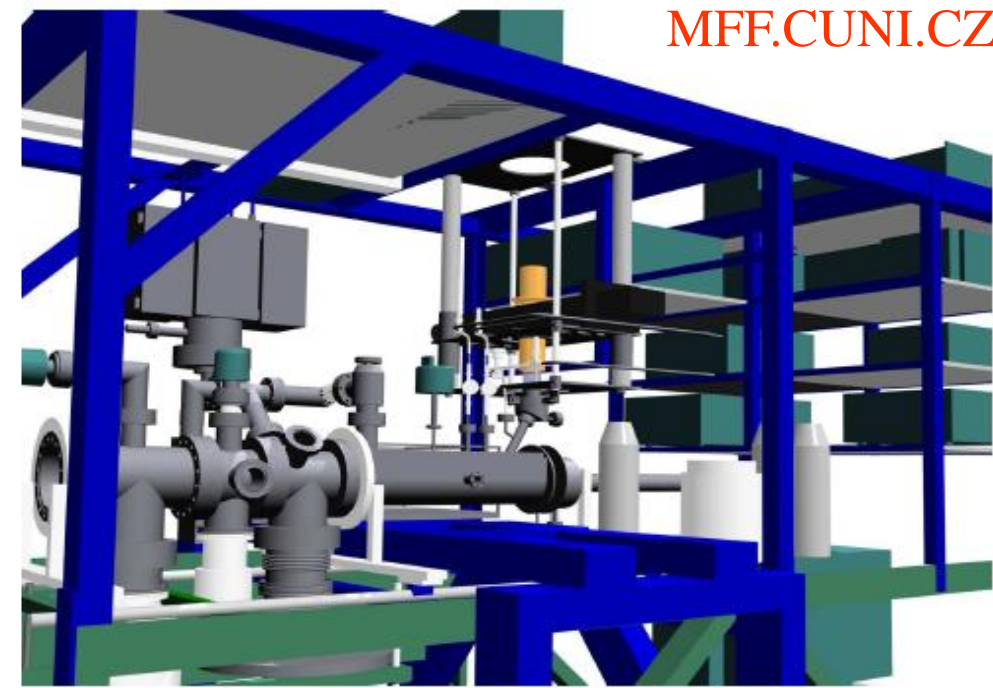


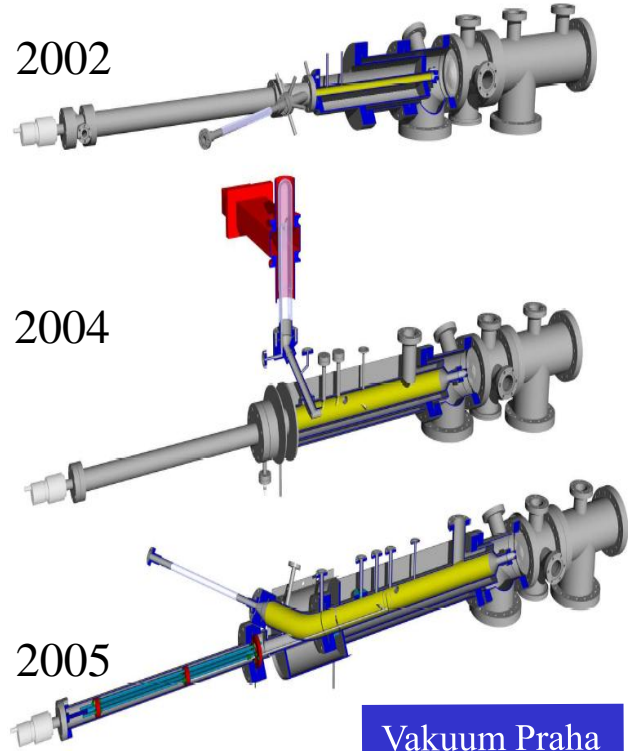
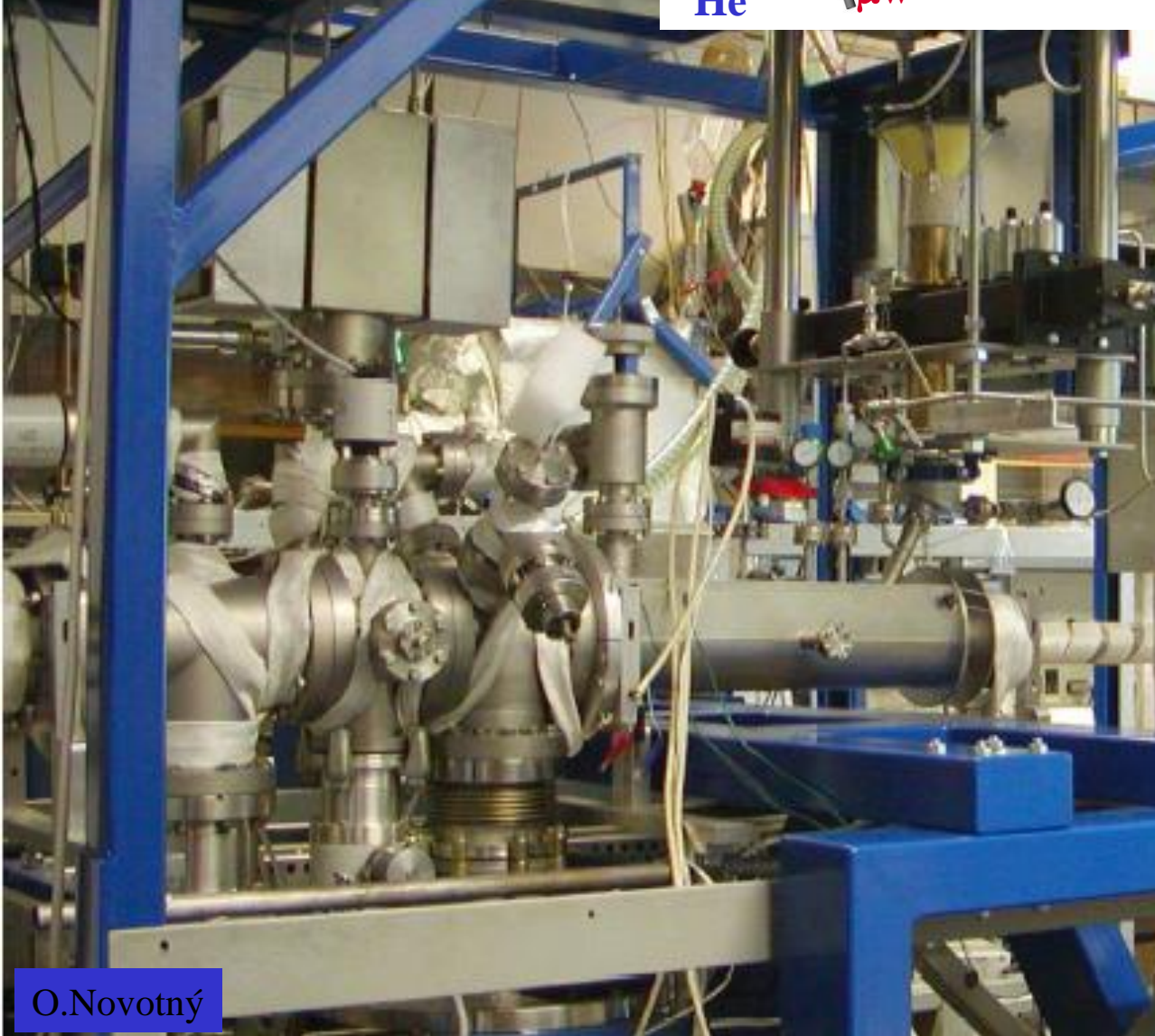
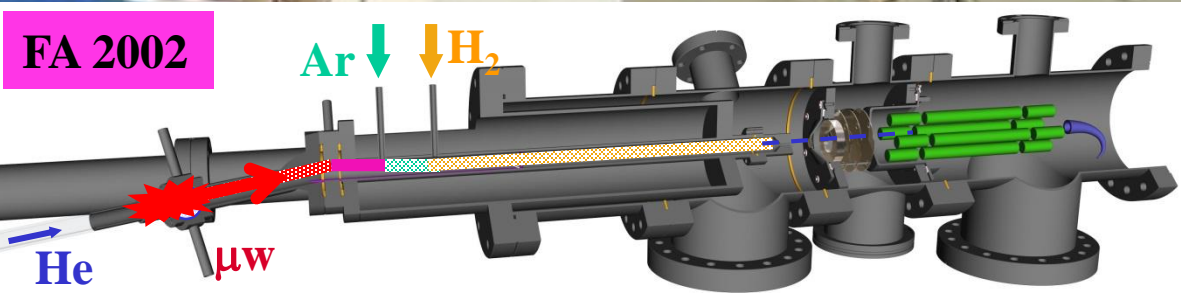


FA – Flowing Afterglow 1965 -2006

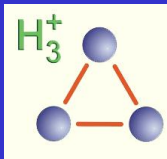


*CU – Chemistry 1980:
Eldon Ferguson watching the flow-tube centers*

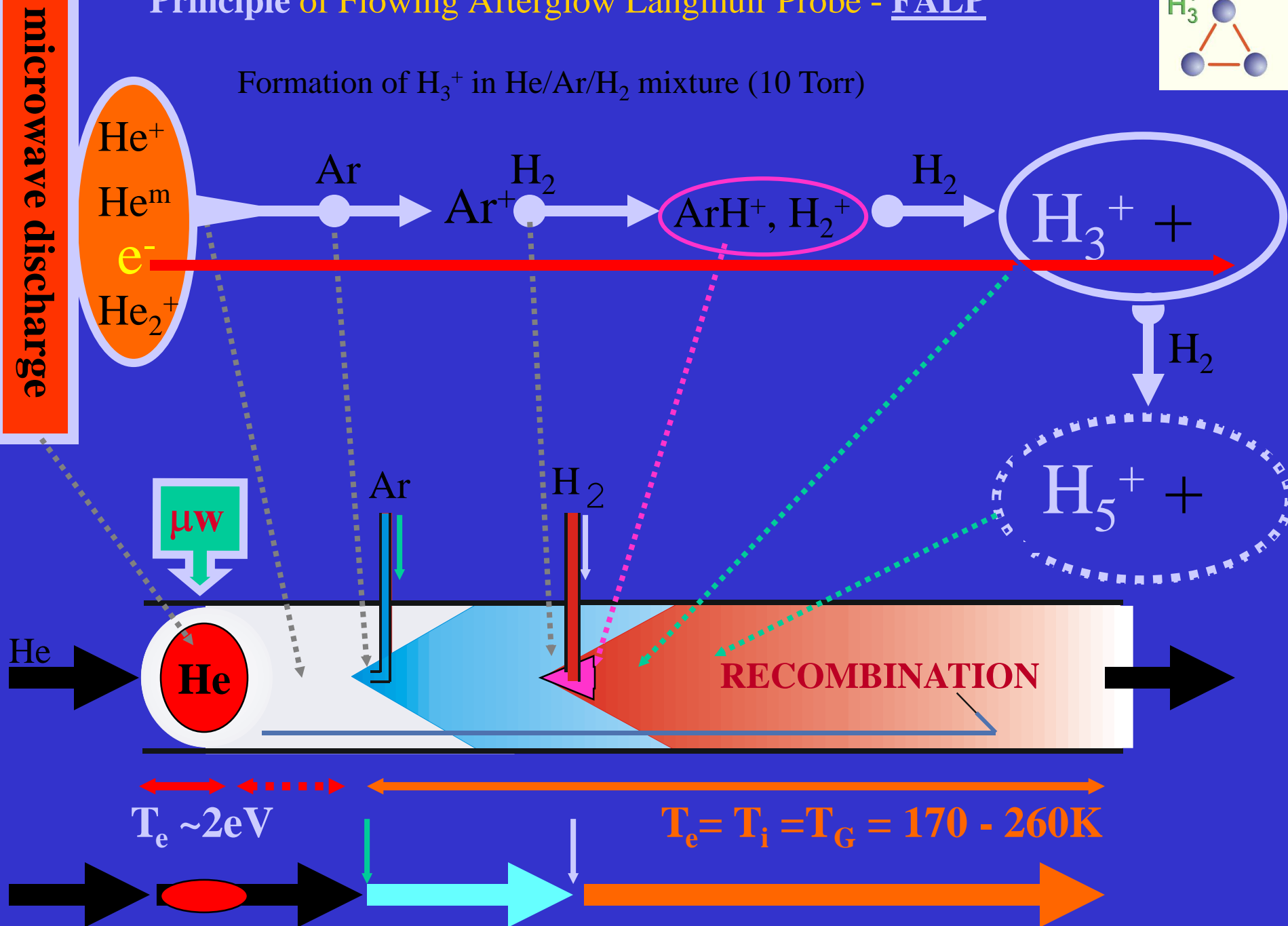




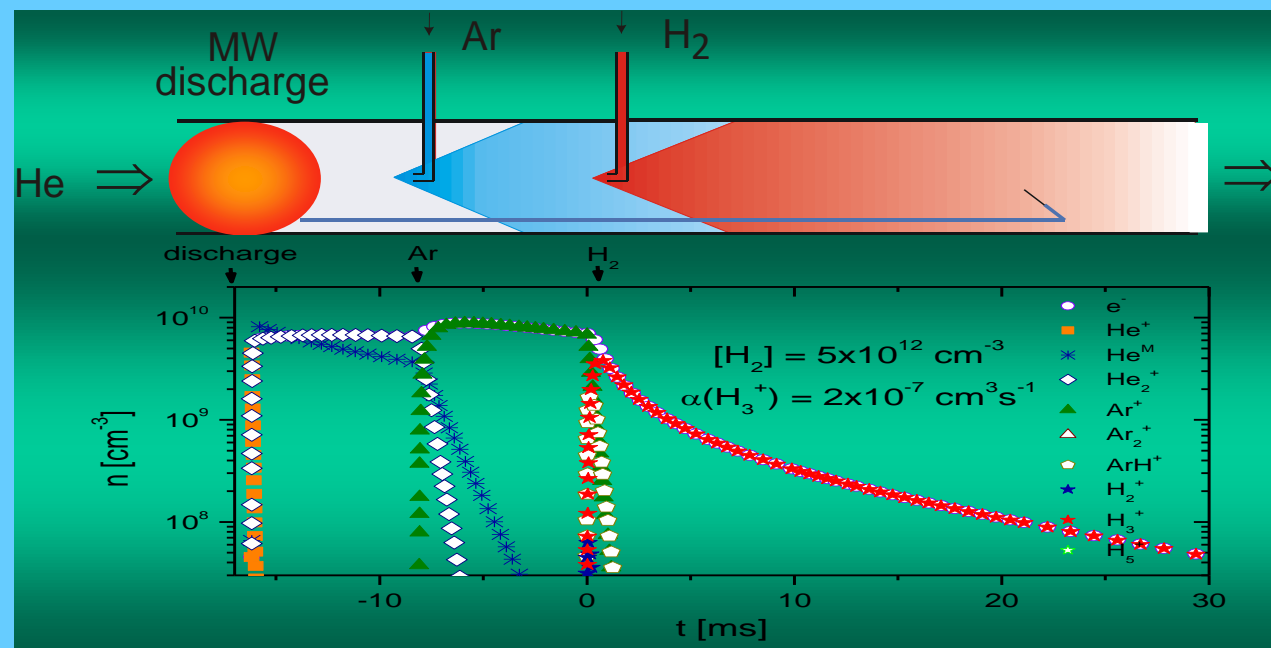
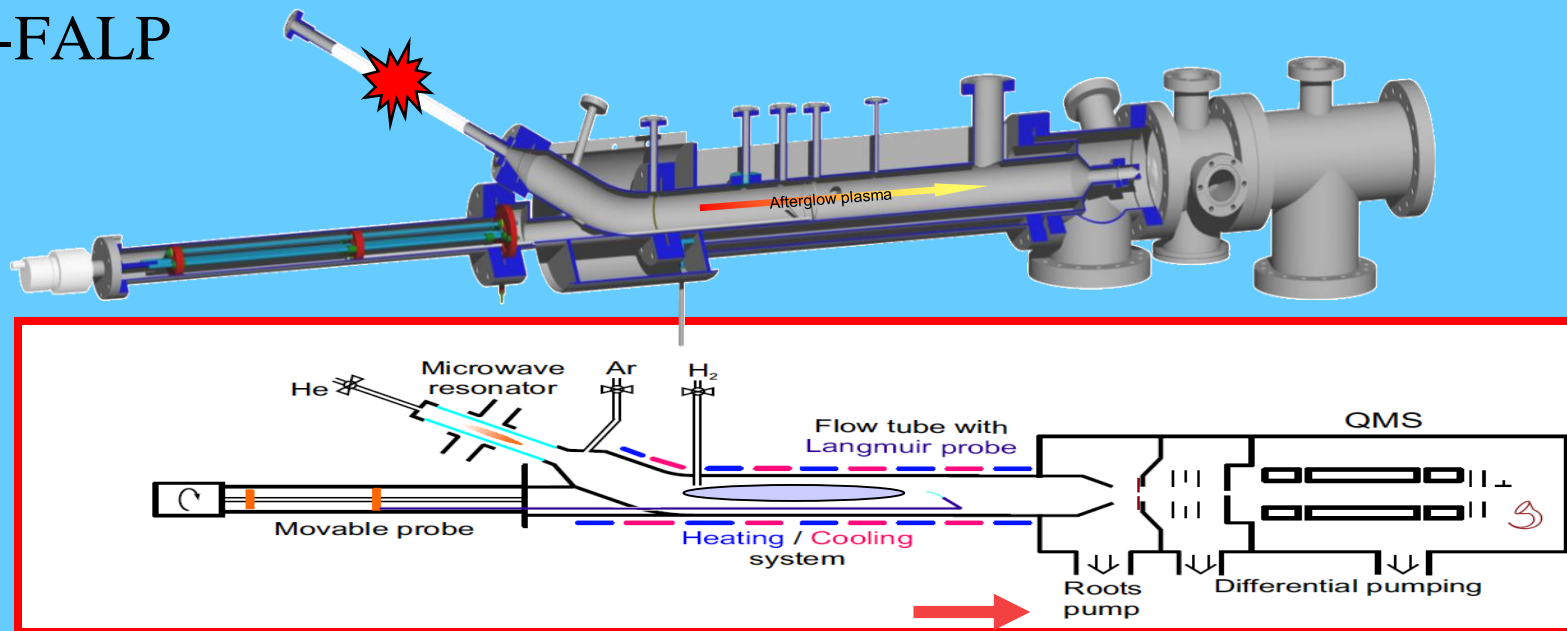
Principle of Flowing Afterglow Langmuir Probe - FALP



Formation of H_3^+ in He/Ar/H₂ mixture (10 Torr)



Apparatus -FALP



$$\alpha \sim 5 \times 10^{-9} \text{ cm}^3 \text{s}^{-1}$$

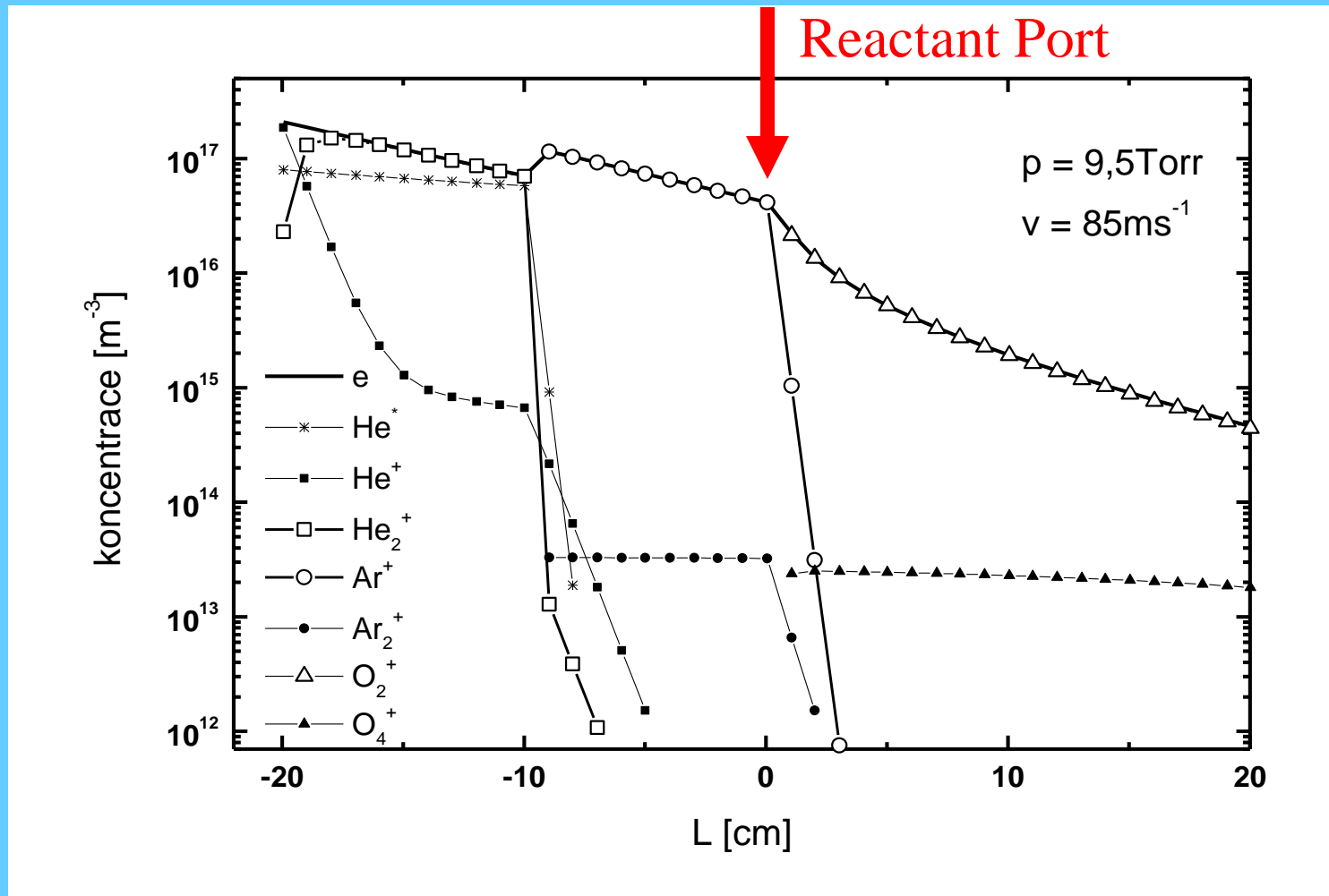
Plasma decay can be monitored up to 35 cm \rightarrow 65 ms, Temperature – 130 - 300 K Pressure up to 12 Torr

Kinetics

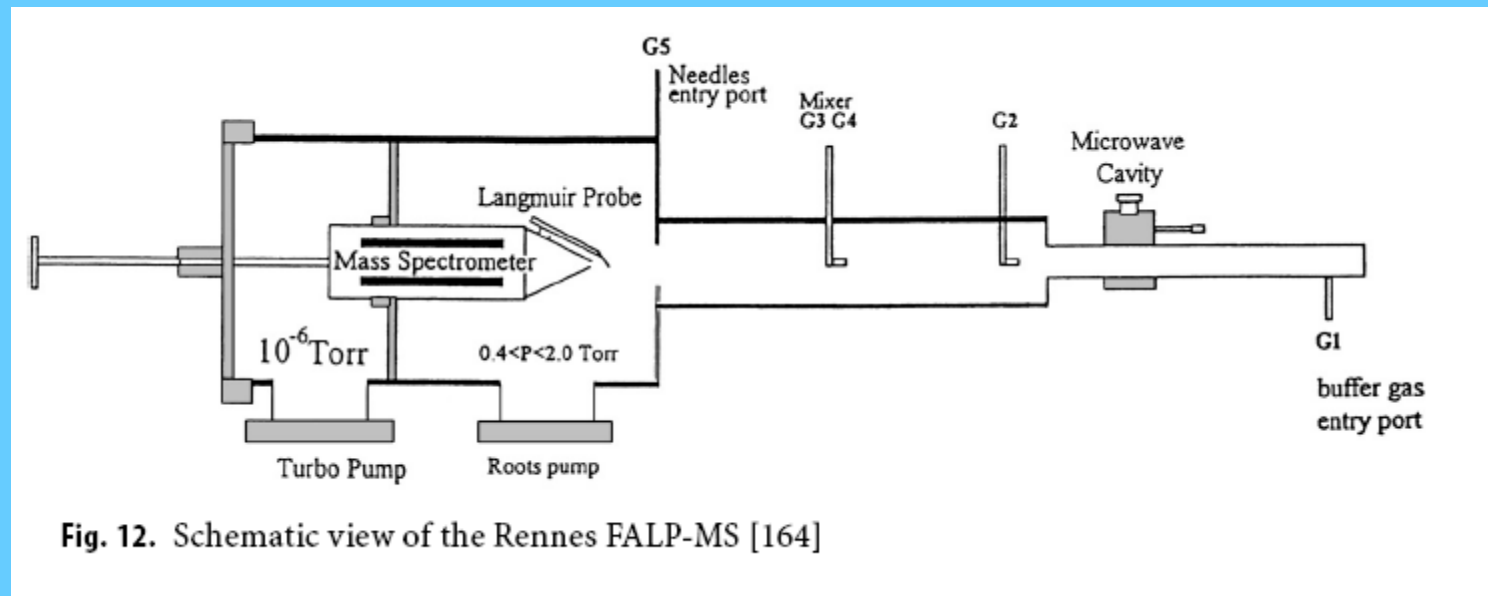
Evolution along the flow tube

$$[A^+]_L = [A^+]_{L=0} \cdot e^{-DL/\lambda^2 v}$$

$$[A^+]_L = [A^+]_{L=0} \cdot e^{-const_1 \cdot D_0 p_0 L / Q} = [A^+]_{L=0} \cdot e^{-const_2 \cdot L / Q}$$

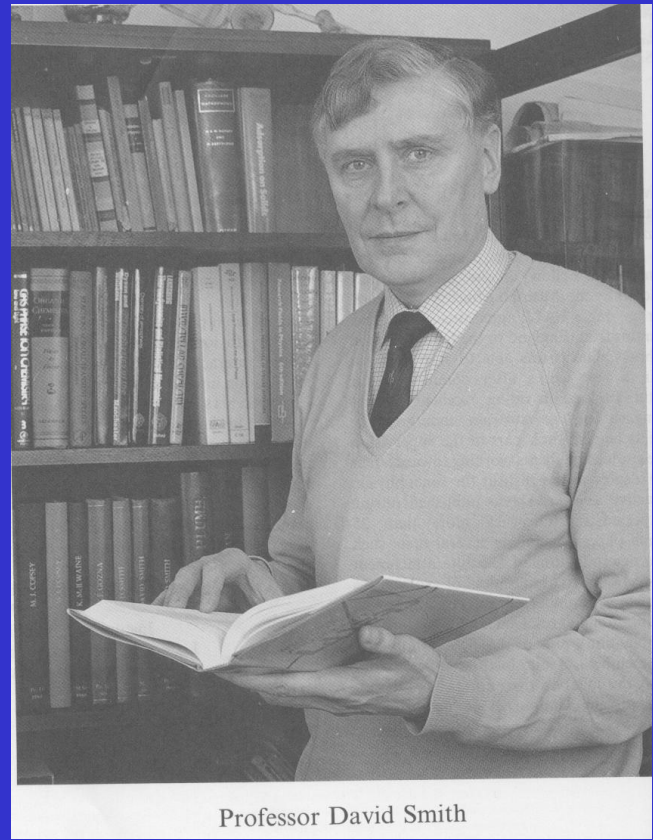
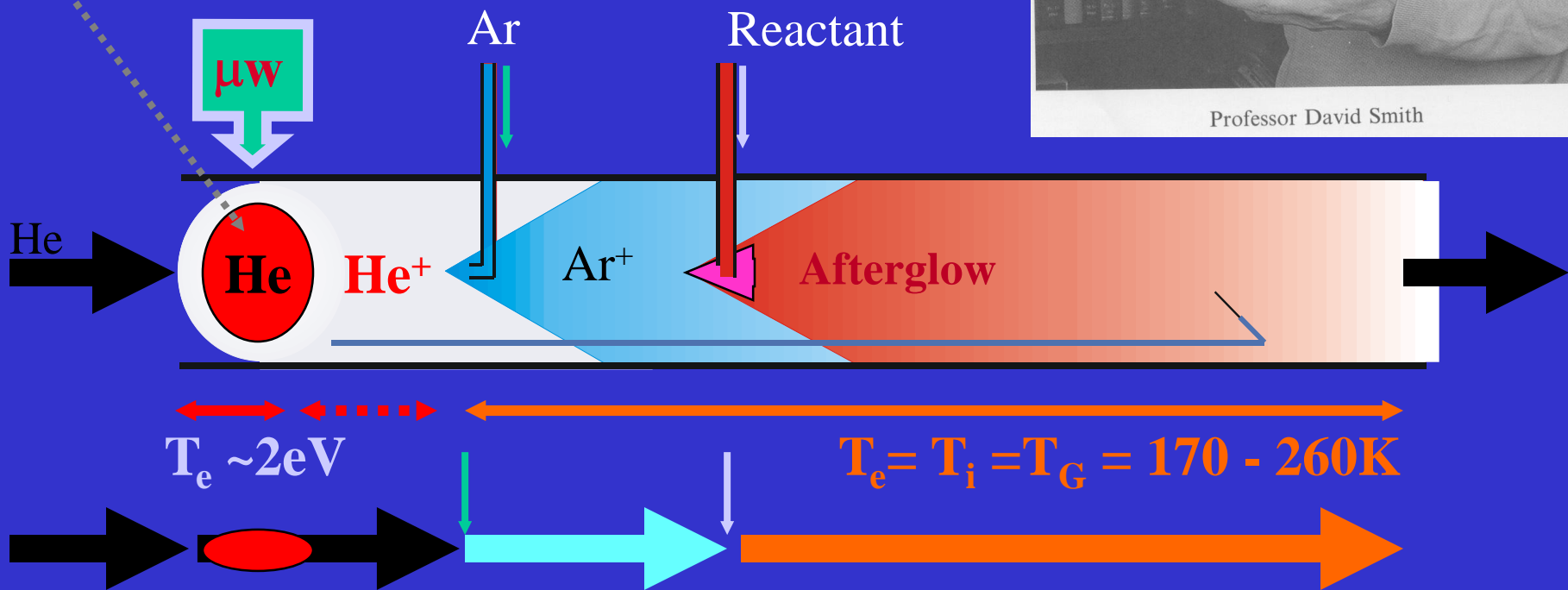


Ion-molecule reactions



microwave discharge

Flowing Afterglow 1968



Professor David Smith

FALP example

$$(3.102) \quad \mathbf{v} \cdot \nabla_r \left(\ln \frac{n}{T^{3/2}} \right) + \frac{m}{2kT} \frac{v^2}{T} \mathbf{v} \cdot \nabla_r T - \frac{\mathbf{F}}{kT} \cdot \mathbf{v} = 0.$$

Aby tato rovnice byla splněna, musí být členy při stejných mocninách v nulové.
Odtud již snadno dostaneme, že

$$(3.103) \quad \nabla_r T = 0$$

a

$$(3.104) \quad \nabla_r \left(\ln \frac{n}{T^{3/2}} \right) - \frac{\mathbf{F}}{kT} = 0.$$

Z rovnice (3.104) dále plyní, že

$$(3.105) \quad \mathbf{F} = kT \nabla_r \left(\ln \frac{n}{T^{3/2}} \right).$$

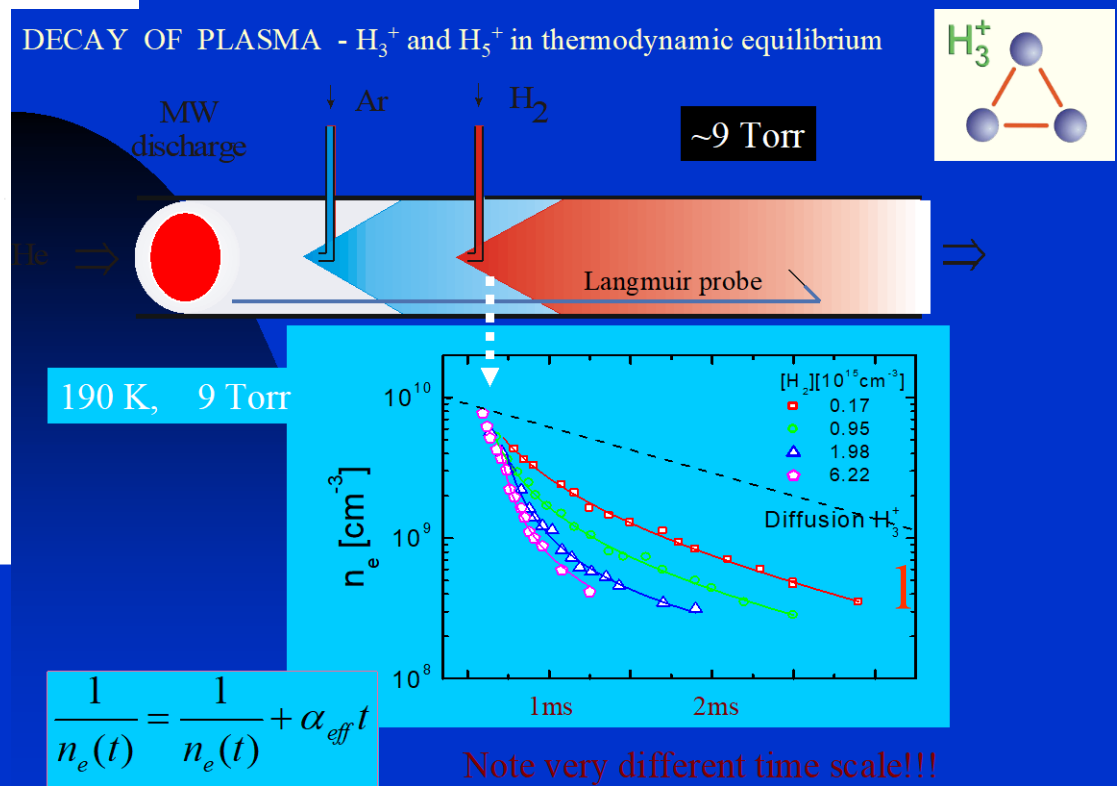
Označíme-li nyní potenciál silového pole jako Φ ($\mathbf{F} = -\nabla_r \Phi$), pak

$$(3.106) \quad \Phi = -kT \ln n + \text{konst}$$

a pro koncentraci dostáváme

$$(3.107) \quad n = n_0 \exp \left(-\frac{\Phi}{kT} \right),$$

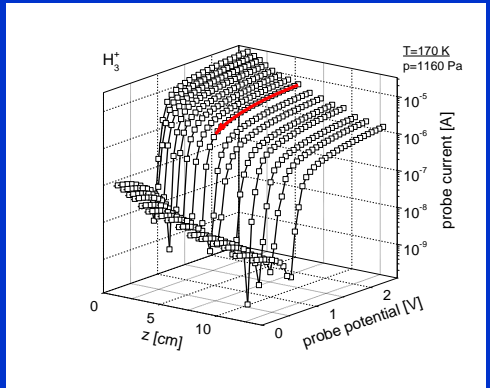
- Summarize what is expected of the participants.
- TO UNDERSTAND THE PROBLEM



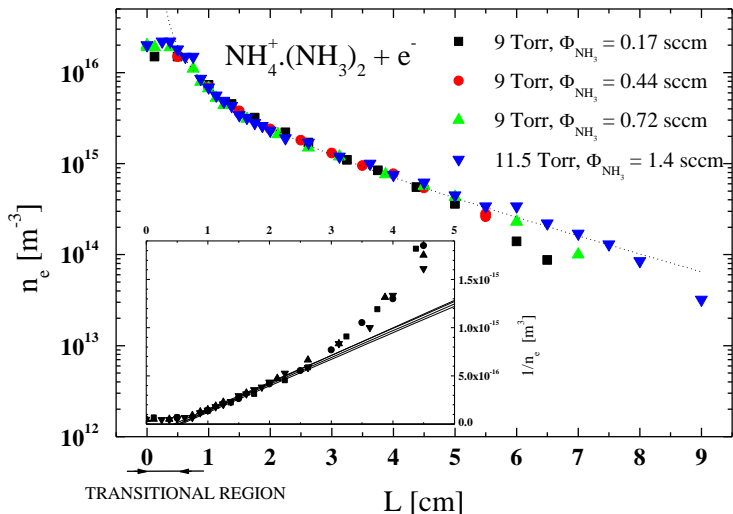
$$\frac{1}{n_e(t)} = \frac{1}{n_e(0)} + \alpha_{eff} t$$

Note very different time scale!!!

Plasma parameters along the flow tube



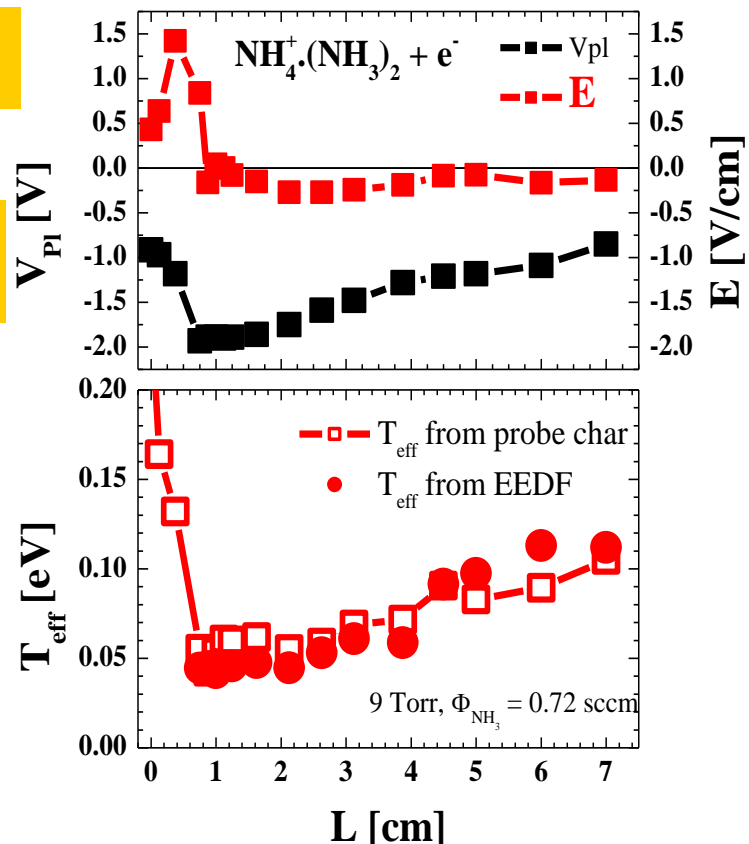
n_e



\vec{E}_L

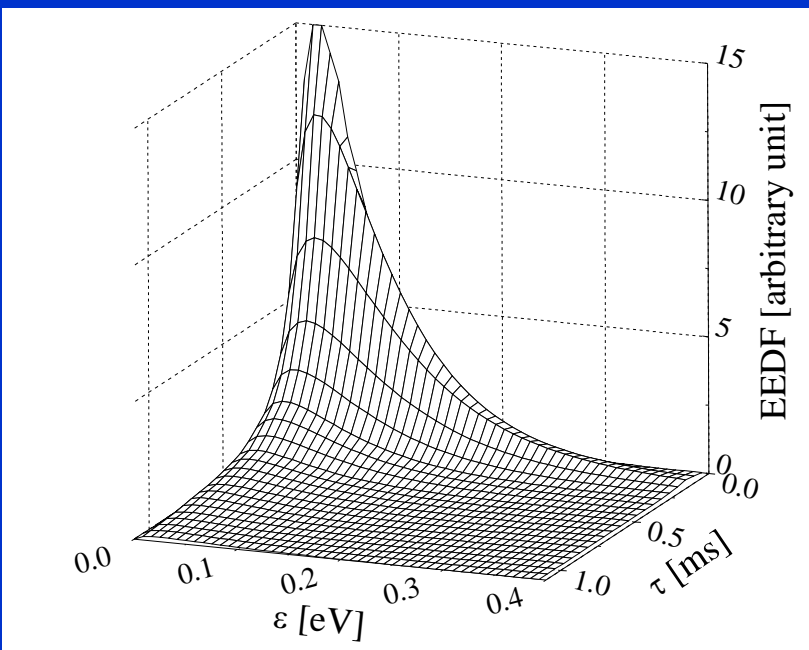
V_p

T_e

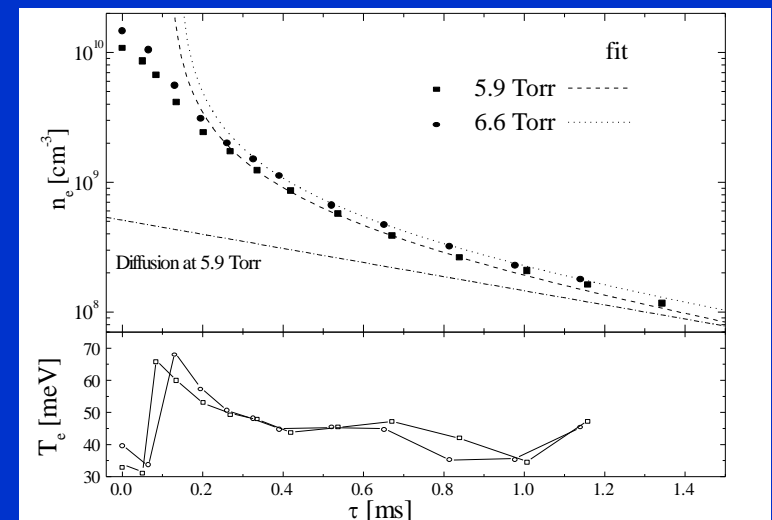
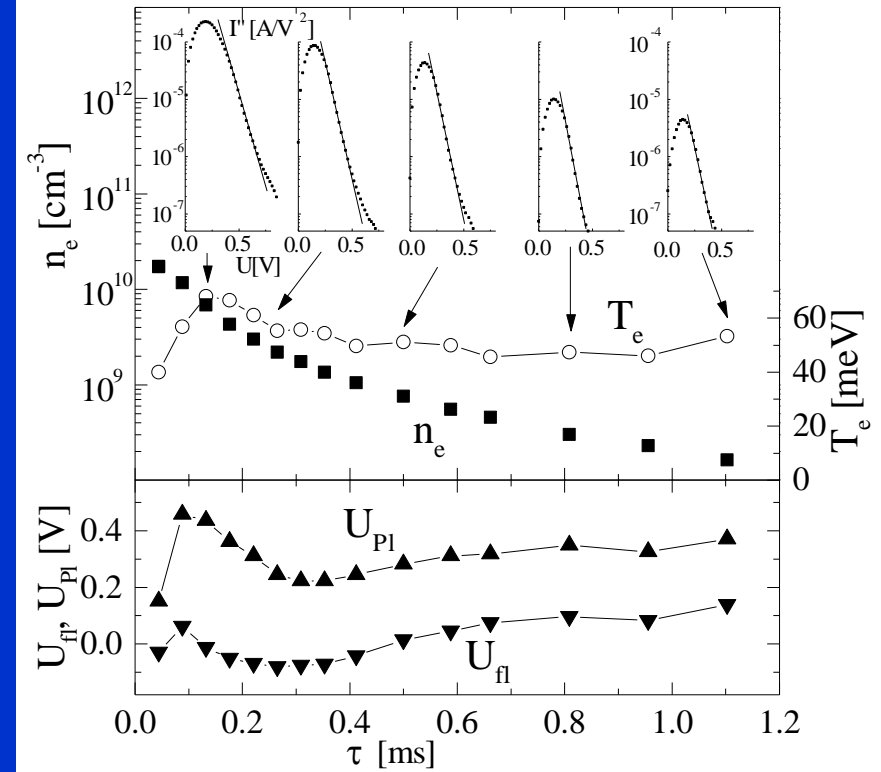


He buffer gas

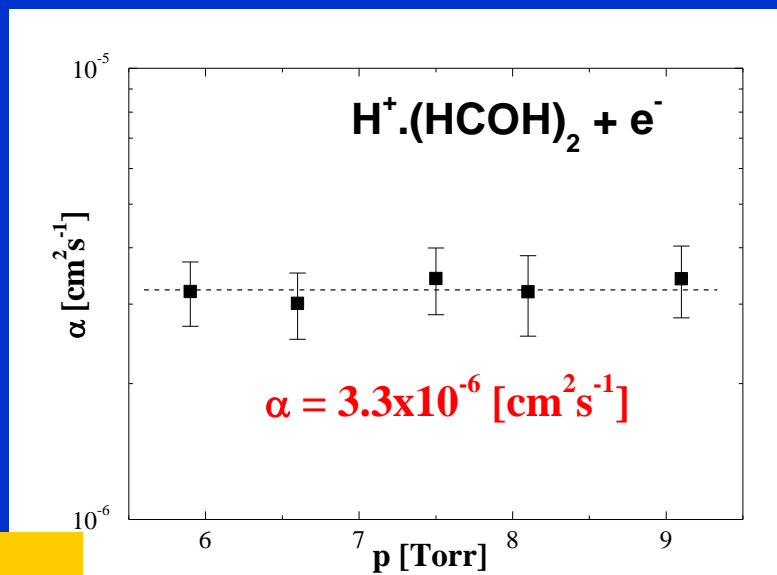
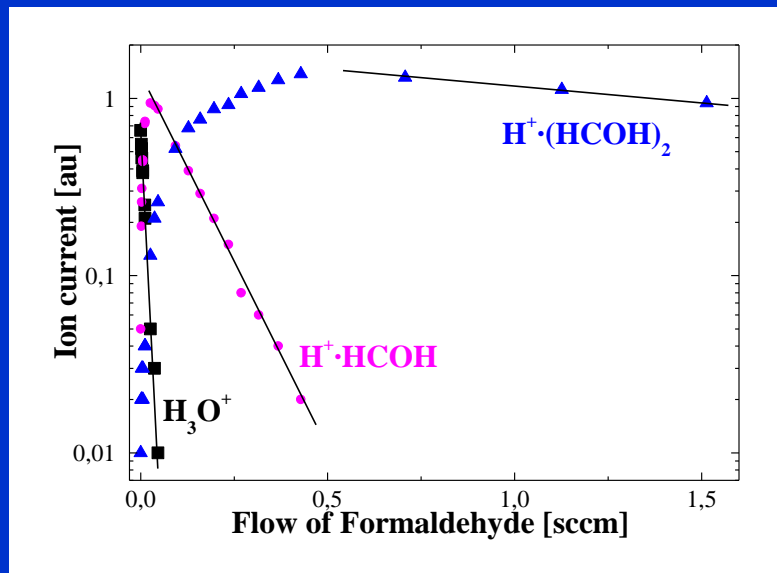
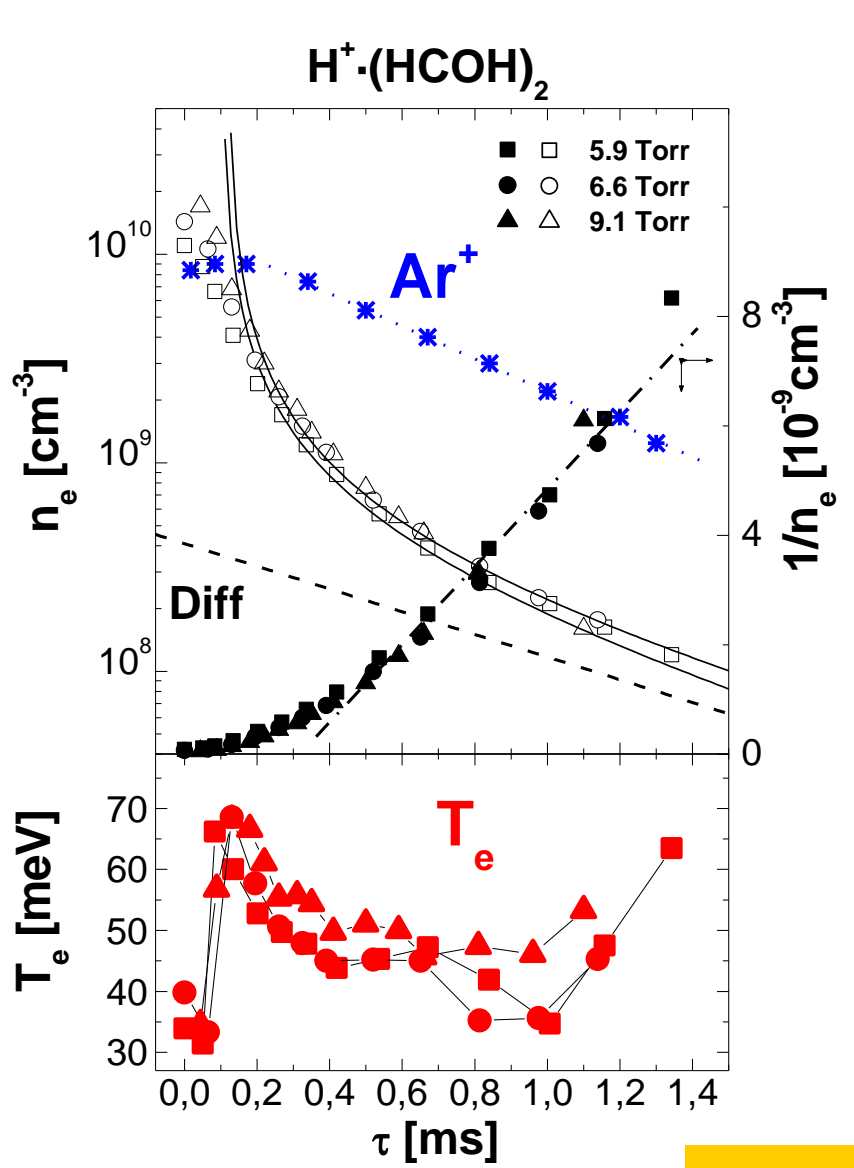
EEDF measurements



The time evolution of the EEDF in the recombination dominated FA plasma
In He ($p = 9$ Torr) with small admixture of HCOH (0.05 %).
EEDF is normalized to the electron number density.

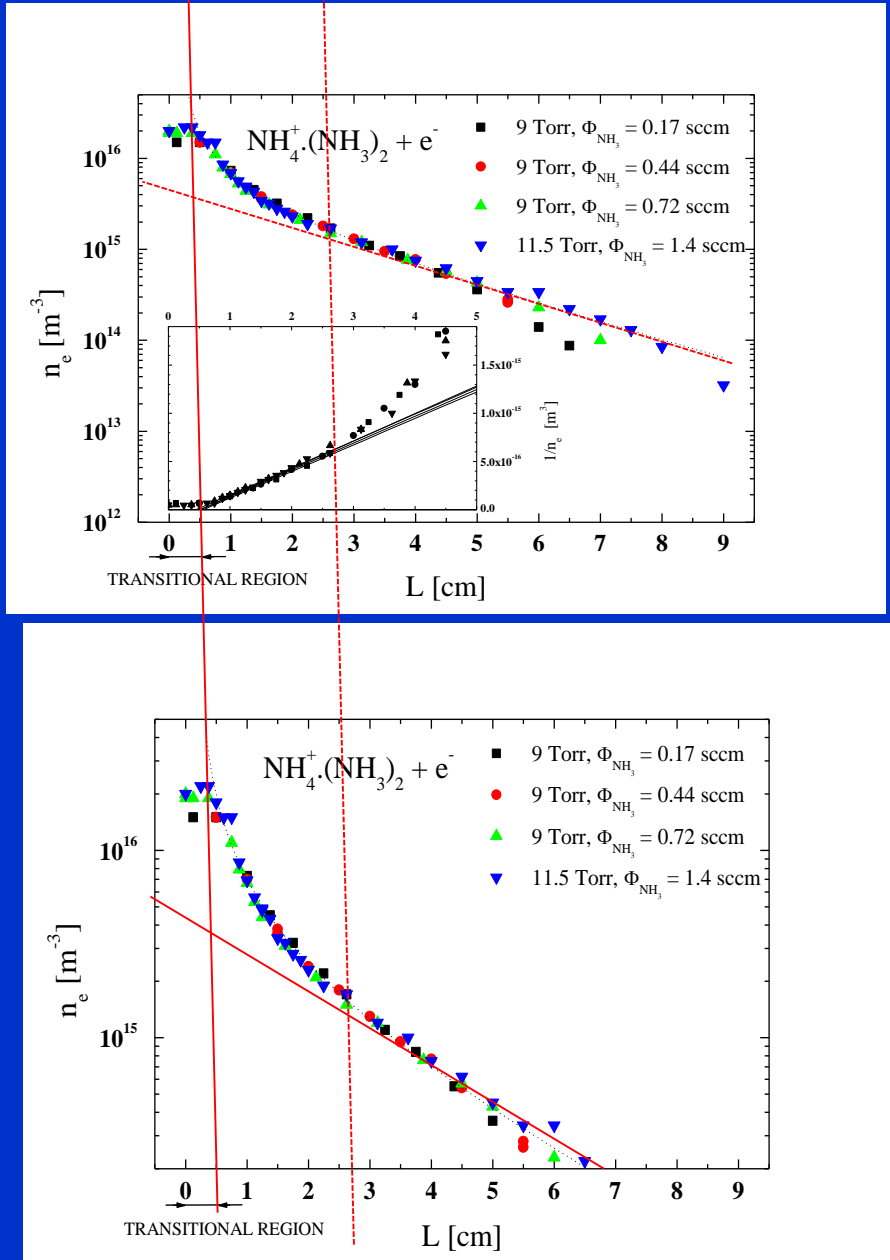


Recombination of $\text{H}^+(\text{HCOH})_2 + \text{e}^-$



He buffer

Plasma parameters along the flow tube



Maxwell's distribution function

Magnetic field

Sledujme nyní, jak vypadá rovnovážný stav systému za přítomnosti magnetického pole. Jak jsme již uvedli, je síla, způsobená tímto polem, úměrná výrazu $\mathbf{v} \times \mathbf{B}$. V rovnici (3.96) je poslední člen na pravé straně nyní nutno nahradit členem

$$(3.109) \quad \iiint \left\{ -\frac{\mathbf{F}}{m} \cdot \nabla_v (f \ln f) - \frac{q}{m} (\mathbf{v} \times \mathbf{B}) \cdot \nabla_v (f \ln f) \right\} d\mathbf{v} d\mathbf{r}.$$

Jak snadno zjistíme, je však tento integrál nulový; vyskytuje se zde integrál typu

$$(3.110) \quad B_z \iiint v_y \frac{\partial}{\partial v_x} (f \ln f) d\mathbf{v}_x d\mathbf{v}_y d\mathbf{v}_z = B_z \iint v_y [f \ln f]_{v_x=-\infty}^{v_x=+\infty} d\mathbf{v}_y d\mathbf{v}_x = 0$$

a tedy rovnice (3.98) a (3.99) se nemění. Protože dále platí $\mathbf{v} \cdot (\mathbf{v} \times \mathbf{B}) = 0$, zůstává v platnosti i rovnice (3.102) a platí proto i další důsledky této rovnice.

Rozšíříme nyní naše úvahy na případ systému, který se skládá z několika druhů částic. Pro jednoduchost opět předpokládejme, že $\nabla_r = 0$ a vnější síly jsou nulové. Boltzmannova rovnice pro i -tý druh částic systému má pak tvar

$$(3.111) \quad \frac{\partial f_i}{\partial t} = \sum_j \iiint (f'_i f'_j - f_i f_j) g_{ij} b db de d\mathbf{v}_j.$$

H -funkce systému je nyní definována rovnicí

$$(3.112) \quad H(t) = \sum_i f_i(\mathbf{v}_i, t) \ln f_i(\mathbf{v}_i, t) d\mathbf{v}_i.$$

Potom

$$(3.113) \quad \frac{dH}{dt} = \sum_{i,j} \iiint (1 + \ln f_i) (f'_i f'_j - f_i f_j) g_{ij} b db de d\mathbf{v}_j d\mathbf{v}_i;$$

tento výraz lze dále upravit za pomocí (3.63) tak, že

$$(3.114) \quad \frac{dH}{dt} = -\frac{1}{4} \sum_{i,j} \iiint \left(\ln \frac{f'_i f'_j}{f_i f_j} \right) (f'_i f'_j - f_i f_j) g_{ij} b db de d\mathbf{v}_j d\mathbf{v}_i$$

a tedy

$$(3.115) \quad \frac{dH}{dt} \leq 0.$$

$$\nabla_r \neq 0, \quad \vec{F} \neq 0$$

$$(3.43) \quad \frac{\partial f_i}{\partial t} + \mathbf{v}_i \cdot \nabla_r f_i + \frac{\mathbf{F}_i}{m_i} \cdot \nabla_{v_i} f_i = \sum_j \iiint (f'_i f'_j - f_i f_j) g_{ij} b db de d\mathbf{v}_j$$

pro výpočet rozdělovací funkce f_i i -tého druhu částic – Boltzmannova rovnici.

$$(3.96) \quad \begin{aligned} \frac{\partial \mathcal{H}}{\partial t} &= \iint (1 + \ln f) \frac{\partial f}{\partial t} d\mathbf{v} d\mathbf{r} = \\ &= \iint \left\{ (1 + \ln f) \frac{\partial e f}{\partial t} - \mathbf{v} \cdot \nabla_v (f \ln f) - \frac{\mathbf{F}}{m} \cdot \nabla_v (f \ln f) \right\} d\mathbf{v} d\mathbf{r}. \end{aligned}$$

Poslední dva členy pravé strany (3.96) při integraci vymizí (protože $\lim_{\mathbf{v} \rightarrow \pm\infty} f \ln f = \lim_{\mathbf{v} \rightarrow \pm\infty} f \ln f = 0$) a můžeme proto psát

$$\delta H / \delta t = 0$$

V rovnovážném stavu je $dH/dt = 0$ a stejným způsobem jako v předchozích případech zjistíme, že

$$(3.116) \quad f_i = n_i \left(\frac{m_i}{2\pi k T_i} \right)^{3/2} \exp \left(-\frac{m_i V_i^2}{2k T_i} \right),$$

kde $V_i = \mathbf{v}_i - \mathbf{v}_0$.

**End of story
EVERYDAY REALITY**

**End of story
EVERYDAY REALITY**

Maxwell's Transport Equations – Transfer Equations

$$(3.43) \quad \frac{\partial f_i}{\partial t} + \mathbf{v}_i \cdot \nabla_r f_i + \frac{\mathbf{F}_i}{m_i} \cdot \nabla_v f_i = \sum_j \iiint (f'_i f'_j - f_i f_j) g_{ij} b \, db \, dv \, dv_j$$

pro výpočet rozdělovací funkce f_i i -tého druhu částic – Boltzmannovu rovnici.

- Integration of B. equation
- Relations between quantities

3.5 Maxwellovy transportní rovnice (Rovnice přenosu)

V předchozích odstavcích jsme si ukázali, jakým způsobem lze určit střední hodnoty některých fyzikálních veličin daného systému při znalosti rozdělovací funkce částic tohoto systému. Ukážeme si nyní, jakým způsobem je možno popsat makroskopické vlastnosti systému, aniž jsme nuceni znát rozdělovací funkce jednotlivých druhů částic tohoto systému.

Nechť funkce $\Phi_i(\mathbf{r}, \mathbf{v}_i, t)$ charakterizuje nějakou vlastnost našeho systému (přesněji řečeno i -tého druhu částic). Vynásobíme-li nyní touto funkcí Boltzmannovu rovnici (3.43) a dále provedeme-li integraci takto získané rovnice přes rychlostní prostor i -té částice, dostaneme

$$(3.117) \quad \int \left\{ \Phi_i(\mathbf{r}, \mathbf{v}_i, t) \left(\frac{\partial f_i}{\partial t} + \mathbf{v}_i \cdot \nabla_r f_i + \frac{\mathbf{F}_i}{m_i} \cdot \nabla_v f_i \right) \right\} d\mathbf{v}_i = \int \Phi_i \frac{\delta_e f_i}{\delta t} d\mathbf{v}_i.$$

Levu stranu této rovnice můžeme dále upravit. Pro první člen můžeme psát

$$(3.118) \quad \int \Phi_i(\mathbf{r}, \mathbf{v}_i, t) \frac{\partial f_i}{\partial t} d\mathbf{v}_i = \frac{\partial}{\partial t} \int \Phi_i f_i d\mathbf{v}_i - \int f_i \frac{\partial \Phi_i}{\partial t} d\mathbf{v}_i = \\ = \frac{\partial}{\partial t} (n_i \bar{\Phi}_i) - n_i \left(\overline{\frac{\partial \Phi_i}{\partial t}} \right),$$

druhý člen je možno rozepsat, tj.

$$(3.119) \quad \int \Phi_i \mathbf{v} \cdot \nabla_r f_i d\mathbf{v}_i = \nabla_r \cdot \int \Phi_i \mathbf{v} f_i d\mathbf{v}_i - \int (\mathbf{v}_i \cdot \nabla_r \Phi_i) f_i d\mathbf{v}_i = \\ = \nabla_r \cdot (n_i \bar{\Phi}_i \bar{\mathbf{v}}) - n_i (\bar{\mathbf{v}}_i \cdot \nabla_r \bar{\Phi}_i) \quad \text{atd.}$$

Maxwell's Transport Equations – Transfer Equations

■ Integration of B.
equation

3.5 Maxwellovy transportní rovnice (Rovnice přenosu)

V předchozích odstavcích jsme si ukázali, jakým způsobem lze určit střední hodnoty některých fyzikálních veličin daného systému při znalosti rozdělovací funkce částic tohoto systému. Ukážeme si nyní, jakým způsobem je možno popsat makroskopické vlastnosti systému, aníž jsme nuteni znát rozdělovací funkce jednotlivých druhů částic tohoto systému.

Nechť funkce $\Phi_i(\mathbf{r}, \mathbf{v}_i, t)$ charakterizuje nějakou vlastnost našeho systému (přesněji řečeno i -tého druhu částic). Vynásobíme-li nyní touto funkcí Boltzmannovu rovnici (3.43) a dále provedeme-li integraci takto získané rovnice přes rychlostní prostor i -té částice, dostaneme

$$(3.117) \quad \left\{ \int \Phi_i(\mathbf{r}, \mathbf{v}_i, t) \left(\frac{\partial f_i}{\partial t} + \mathbf{v}_i \cdot \nabla_{\mathbf{r}} f_i + \frac{\mathbf{F}_i}{m_i} \cdot \nabla_{\mathbf{v}} f_i \right) d\mathbf{v}_i \right\} d\mathbf{v}_i = \int \Phi_i \frac{\delta_e f_i}{\delta t} d\mathbf{v}_i .$$

Levu stranu této rovnice můžeme dále upravit. Pro první člen můžeme psát

$$(3.118) \quad \int \Phi_i(\mathbf{r}, \mathbf{v}_i, t) \frac{\partial f_i}{\partial t} d\mathbf{v}_i = \frac{\partial}{\partial t} \int \Phi_i f_i d\mathbf{v}_i - \int f_i \frac{\partial \Phi_i}{\partial t} d\mathbf{v}_i = \\ = \frac{\partial}{\partial t} (n_i \bar{\Phi}_i) - n_i \left(\frac{\partial \bar{\Phi}_i}{\partial t} \right),$$

druhý člen je možno rozepsat, tj.

$$(3.119) \quad \int \Phi_i \mathbf{v} \cdot \nabla_{\mathbf{r}} f_i d\mathbf{v}_i = \nabla_{\mathbf{r}} \cdot \int \Phi_i \mathbf{v} f_i d\mathbf{v}_i - \int (\mathbf{v}_i \cdot \nabla_{\mathbf{r}} \Phi_i) f_i d\mathbf{v}_i = \\ = \nabla_{\mathbf{r}} \cdot (n_i \bar{\Phi}_i \mathbf{v}_i) - n_i (\mathbf{v}_i \cdot \nabla_{\mathbf{r}} \bar{\Phi}_i)$$

atd.

Položíme-li dále

$$(3.127) \quad \frac{\mathbf{D}}{Dt} = \frac{\partial}{\partial t} + \mathbf{v}_0 \cdot \nabla_{\mathbf{r}}$$

a konečně třetí člen je možno upravit zcela analogicky, tj.

$$(3.120) \quad \int \Phi_i \frac{\mathbf{F}_i}{m_i} \cdot \nabla_{\mathbf{v}} f_i d\mathbf{v}_i = \iint \frac{F_{ix}}{m_i} \int \Phi_i \frac{\partial f_i}{\partial v_{ix}} d\mathbf{v}_{iy} d\mathbf{v}_{iz} + \dots = \\ = \iint \frac{F_{ix}}{m_i} \int \frac{\partial}{\partial v_{ix}} (\Phi_i f_i) d\mathbf{v}_{iy} d\mathbf{v}_{iz} - \iint \frac{F_{ix}}{m_i} \int f_i \frac{\partial \Phi_i}{\partial v_{ix}} d\mathbf{v}_{iy} d\mathbf{v}_{iz} + \dots ;$$

protože $\lim_{\mathbf{v}_i \rightarrow \pm\infty} (\Phi_i f_i) = 0$, je možno dále psát

$$(3.121) \quad \int \Phi_i \frac{\mathbf{F}_i}{m_i} \cdot \nabla_{\mathbf{v}} f_i d\mathbf{v}_i = - \int \frac{\mathbf{F}_i}{m_i} \cdot \nabla_{\mathbf{v}} \Phi_i f_i d\mathbf{v}_i = - n_i \left(\frac{\mathbf{F}_i}{m_i} \cdot \nabla_{\mathbf{v}} \bar{\Phi}_i \right).$$

Jestliže \mathbf{F}_i nezávisí na rychlosti, je možno \mathbf{F}_i/m_i vyjmout před integrál a (3.121) má pak tvar

$$(3.122) \quad \int \Phi_i \frac{\mathbf{F}_i}{m_i} \cdot \nabla_{\mathbf{v}} f_i d\mathbf{v}_i = - n_i \frac{\mathbf{F}_i}{m_i} \cdot (\nabla_{\mathbf{v}} \bar{\Phi}_i).$$

Dosadíme-li nyní (3.118), (3.119) a (3.121) do (3.117), dostaneme

$$(3.123) \quad \frac{\partial (n_i \bar{\Phi}_i)}{\partial t} + \nabla_{\mathbf{r}} \cdot (n_i \bar{\Phi}_i \mathbf{v}_i) - n_i \left[\left(\frac{\partial \bar{\Phi}_i}{\partial t} \right) + \mathbf{v}_i \cdot \nabla_{\mathbf{r}} \bar{\Phi}_i + \frac{\mathbf{F}_i(\mathbf{v}_i)}{m_i} \cdot \nabla_{\mathbf{v}} \bar{\Phi}_i + \delta \bar{\Phi}_i \right] = 0 .$$

Rovnice (3.123) je obecnou rovnicí přenosu pro danou veličinu Φ_i , nazývá se Maxwellovou transportní rovnicí. Sumací (3.123) přes všechny druhy částic daného systému pak dostaneme rovnici přenosu pro veličinu Φ celého systému.

Maxwellovy transportní rovnice – Zákony zachování

Dosadíme-li nyní (3.118), (3.119) a (3.121) do (3.117), dostaneme

$$(3.123) \quad \frac{\partial(n_i\bar{\Phi}_i)}{\partial t} + \nabla_r \cdot (n_i\bar{\Phi}_i\bar{v}_i) - n_i \left[\left(\frac{\partial \bar{\Phi}_i}{\partial t} \right) + \bar{v}_i \cdot \nabla_r \bar{\Phi}_i + \frac{\bar{F}_i(\bar{v}_i)}{m_i} \cdot \nabla_v \bar{\Phi}_i + \delta \bar{\Phi}_i \right] = 0.$$

Položíme-li dále

$$(3.127) \quad \frac{D}{Dt} = \frac{\partial}{\partial t} + \bar{v}_0 \cdot \nabla_r$$

Uvažujme pro jednoduchost neutralní jednocasticový systém*) a nech funkce Φ je rovna postupně srážkovým invariantům (3.65).

a) $\Phi = \Psi = 1$.

Potom $\bar{\Psi} = 1$, $\bar{\Psi}\bar{V} = D\Psi/Dt = \nabla_r\Psi = \nabla_v\Psi = \delta\Psi = 0$ a z (3.129) dostaneme

$$(3.131) \quad \frac{Dn}{Dt} + n \nabla_r \cdot \bar{v}_0 = 0.$$

- Integrace B. rovnice
- Vztahy mezi veličinami

S použitím (3.127) můžeme tuto rovnici přepsat do tvaru

$$(3.132) \quad \frac{\partial n}{\partial t} + \nabla_r \cdot (n\bar{v}_0) = 0,$$

což je zákon zachování počtu částic. Položíme-li $\Psi = m$, dostaneme z (3.132) známou rovnici kontinuity

$$(3.133) \quad \frac{\partial \rho}{\partial t} + \nabla_r \cdot (\rho \bar{v}_0) = 0.$$

b) $\Phi = \Theta = mV$.

Potom $\bar{\Theta} = \delta\bar{\Theta} = \nabla_r\Theta = D\Theta/Dt = 0$, $n\bar{\Theta}\bar{V} = p$, $\nabla_r\Theta = mI$ (I je jednotkový tenzor); rovnice (3.127) dává

$$(3.134) \quad \frac{D\bar{v}_0}{Dt} = n\bar{F} - \nabla_r \cdot \bar{p}, \quad \frac{\partial \bar{v}_0}{\partial t} + \bar{v}_0 \cdot \nabla_r \bar{p}$$

což je zákon zachování hybnosti.

c) $\Phi = \Sigma = \frac{1}{2}mV^2$.

Potom $D\Sigma/Dt = \nabla_r\Sigma = \delta\Sigma = 0$, $\nabla_v\Sigma = mV$, $n(\nabla_v\Sigma)\bar{V} = p$, podle (3.16) $n\Sigma\bar{V} = q$; rovnici (3.129) lze nyní upravit na tvar

$$(3.135) \quad \frac{D}{Dt}(n\Sigma) + n\Sigma \nabla_r \cdot \bar{v}_0 + \nabla_r \cdot \bar{q} + \bar{p} : \nabla_r \bar{v}_0 - n\bar{F}\bar{V} = 0.$$

Uvážíme-li nyní, že

$$(3.136) \quad \overline{\bar{F}(\bar{V})\bar{V}} = 0$$

platí i pro případ vnější síly typu (3.49), můžeme dále (s použitím rovnice kontinuity (3.131) přepsat rovnici (3.135) do tvaru

$$(3.137) \quad n \frac{D\Sigma}{Dt} = -(\bar{p} : \nabla_r \bar{v}_0 + \nabla_r \cdot \bar{q}),$$

což je zákon zachování energie.

Transportní rovnice pro plazma

Dosadíme-li nyní (3.118), (3.119) a (3.121) do (3.117), dostaneme

$$(3.123) \quad \frac{\partial(n_i\Phi_i)}{\partial t} + \nabla_r \cdot (n_i\Phi_i v_i) - n_i \left[\left(\frac{\partial\Phi_i}{\partial t} \right) + \overline{v_i \cdot \nabla_r \Phi_i} + \frac{\overline{F_i(v_i)}}{m_i} \cdot \nabla_v \Phi_i + \delta\Phi_i \right] = 0.$$

3.7 Úprava transportních rovnic pro plazma

Rovnice (3.188), (3.189), (3.191) a (3.192) platí obecně pro vícesložkové plazmy. Jsou však velmi složité, a proto se k praktickému řešení konkrétních úloh příliš nehodí. Upravíme proto tyto rovnice na základě některých předpokladů na přijatelnější a známější tvar. Předpokládejme, že*:

a) Plazma je kvasineutrální, tj.

$$(3.194) \quad \sigma_e \sim 0 \quad \text{a} \quad J \sim j.$$

Prostorový náboj σ_e můžeme zanedbat v pohybové rovnici (3.187) resp. (3.188) a v rovnici pro proudovou hustotu j (3.189). σ_e však není možno zanedbat v Poissonové rovnici.

$$(3.203) \quad \frac{\partial n_e}{\partial t} + \frac{Z_t}{m_i} \nabla_r \cdot (\varrho v_0) + \frac{1}{e} \nabla_r \cdot j = 0.$$

Rovnici je někdy možno ještě zjednodušit předpokladem c), tj.

$$(3.204) \quad \nabla_r \cdot (\varrho v_0) = 0;$$

potom můžeme psát

$$(3.203') \quad \frac{\partial n_e}{\partial t} + \frac{1}{e} \nabla_r \cdot j = 0.$$

■ Plazma, Předpoklady

b) Hmotnost elektronů m_e je mnohem menší ve srovnání s hmotností iontů m_i , tj.

$$(3.195) \quad \frac{m_e}{m_i} \ll 1 \quad \text{a také} \quad \frac{Z_t m_e}{m_i} \ll 1.$$

c) Plazma je téměř izotropní a v_0 je dostatečně malé, tj. elektrický proud j , v_0 a tlakové gradienty jsou poruchy prvního řádu a proto členy, obsahující tyto veličiny ve druhé mocnině, stejně tak jako gradienty j a v_0 můžeme zanedbat.

d) Plazma není daleko od termodynamické rovnováhy, tj. parciální tlaky elektronu p_e a iontů p_i jsou téhož rádu; podle b) pak také platí

$$(3.196) \quad \frac{Z_t m_e}{m_i} p_i \ll p_e,$$

což znamená, že elektrokinetický tenzor iontů je zanedbatelný ve srovnání s elektrokinetickým tenzorem elektronů.

e) Tenzor \mathbf{p} nahradíme skalárním tlakem $p = p_e + p_i$.

f) Plazma je dvousložkové; je tvořeno elektryny a ionty.

Na základě těchto předpokladů můžeme dále psát, že

$$(3.197) \quad n_i Z_i \cong n_e = n$$

$$(3.198) \quad \varrho = m_e n_e + m_i n_i \sim \varrho_i,$$

$$(3.199) \quad v_0 = \frac{1}{\varrho} (\varrho_i \bar{v}_i + \varrho_e \bar{v}_e) \cong \bar{v}_i.$$

Dále

$$(3.200) \quad j = Z_t e n_i \bar{V}_i - e n_e \bar{V}_e \cong Z_t e n_i \bar{v}_i - e n_e \bar{v}_e;$$

potom

$$(3.201) \quad n_e \bar{v}_e = Z_t n_i \bar{v}_i - \frac{j}{e} \cong \frac{Z_t}{m_i} \varrho v_0 - \frac{j}{e}.$$

Na základě výše uvedených předpokladů můžeme psát:

a) Pro jednotlivé složky plazmatu:

1) Rovnici kontinuity

$$(3.202) \quad \frac{\partial n_i}{\partial t} + \frac{1}{m_i} \nabla_r \cdot (\varrho v_0) = 0,$$

Transportní rovnice pro plazma

$$(3.203) \quad \frac{\partial n_i}{\partial t} + \frac{Z_i}{m_i} \nabla_r \cdot (\varrho v_0) + \frac{1}{e} \nabla_r \cdot j = 0.$$

Rovnici je někdy možno ještě zjednodušit předpokladem c), tj.

$$(3.204) \quad \nabla_r \cdot (\varrho v_0) = 0;$$

potom můžeme psát

$$(3.203') \quad \frac{\partial n_i}{\partial t} + \frac{1}{e} \nabla_r \cdot j = 0.$$

■ Plazma, Předpoklady

2) Pohybové rovnice (na základě (3.161))

$$(3.205) \quad \varrho_i \frac{\partial \bar{v}_i}{\partial t} + \nabla_r p_i - en(E + \bar{v}_i \times B) - n_i F_i = n_i \delta_e(m_i \bar{V}_i),$$

$$(3.206) \quad \varrho_e \frac{\partial \bar{v}_e}{\partial t} + \nabla_r p_e + en(E + v_e \times B) - n_e F_e = n_e \delta_i(m_e \bar{V}_e).$$

Na pravé straně těchto rovnic vystupuje člen $n_i \delta_e(m_i \bar{V}_i)$, resp. $n_e \delta_i(m_e \bar{V}_e)$. Podle (3.158) ale platí

$$(3.207) \quad n_i \delta_e(m_i \bar{V}_i) + n_e \delta_i(m_e \bar{V}_e) = 0, \quad \text{tj.}$$

$$n_e \delta_i(m_e \bar{V}_e) = -n_i \delta_e(m_i \bar{V}_i)$$

a tedy rovnice (3.205) a (3.206) jsou vzájemně spolu svázány.

V některých případech je možno předpokládat, že*

$$(3.208) \quad n_e \delta_i(m_e \bar{V}_e) = -n_i \delta_e(m_i \bar{V}_i) = \frac{n_e m_e}{\tau_e} (\bar{V}_e - \bar{V}_i) = -\frac{n_e m_e}{\tau_e} (\bar{v}_e - \bar{v}_i),$$

kde τ_e je střední doba mezi srážkami mezi elektrony a ionty resp. mezi částicemi různých druhů; $\tau_e^{-1} = v$ je pak srážková frekvence. Pohybové rovnice (3.205) a (3.206) můžeme za pomoci (3.208) psát ve tvaru

$$(3.205') \quad \varrho_i \frac{\partial \bar{v}_i}{\partial t} + \nabla_r p_i - en(E + \bar{v}_i \times B) - n_i F_i = \frac{n_e m_e}{\tau_e} (\bar{v}_e - \bar{v}_i),$$

$$(3.206') \quad \varrho_e \frac{\partial \bar{v}_e}{\partial t} + \nabla_r p_e + en(E + \bar{v}_e \times B) - n_e F_e = -\frac{n_e m_e}{\tau_e} (\bar{v}_e - \bar{v}_i).$$

REALITA všedních dní

Rutherfordova formule

$$b_0 = \frac{Z_1 Z_2 e^2}{4\pi\epsilon_0 \mu g^2}$$

Věnujme se nyní výpočtu diferenciálního srážkového průřezu $\sigma(\chi)$ pro případ coulombovských sil. Ukázali jsme si, že obecný výraz pro $\sigma(\chi)$ je dán vztahem (2.79), tj.

$$(2.113) \quad \sigma(\chi) = \frac{b}{\sin \chi} \left| \frac{db}{d\chi} \right|.$$

Z rovnice (2.106) je ale zřejmé, že

$$(2.114) \quad \left| \frac{db}{d\chi} \right| = \frac{1}{2} \frac{b^2}{b_0} \frac{1}{\cos^2 \frac{\chi}{2}}$$

a

$$(2.115) \quad b = b_0 \cotg \frac{\chi}{2}.$$

Dosadíme-li nyní (2.114) a (2.115) do (2.113), dostáváme téměř okamžitě požadovaný výraz pro $\sigma(\chi)$ ve tvaru

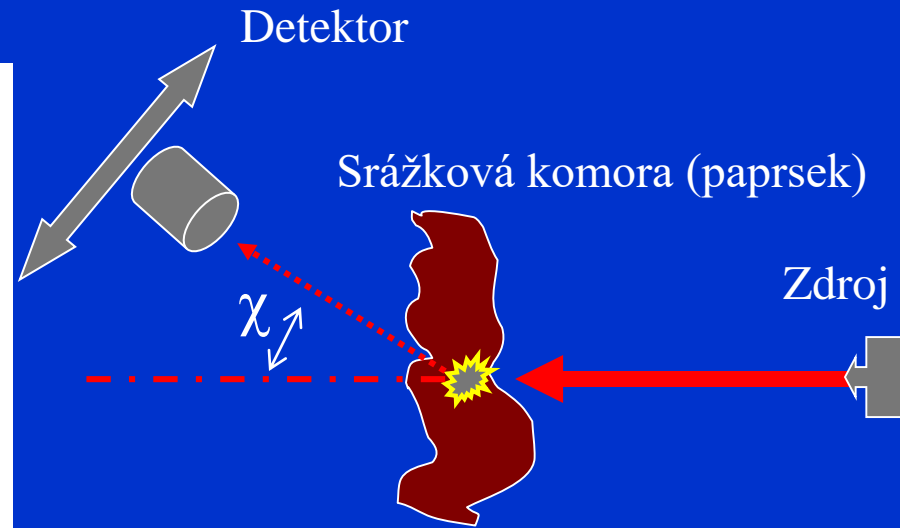
$$(2.116) \quad \boxed{\sigma(\chi) = \frac{b_0^2}{4} \frac{1}{\sin^4 \frac{\chi}{2}} = \frac{Z_1^2 Z_2^2 e^4}{(4\pi\epsilon_0)^2 \mu^2 g^4} \frac{1}{4 \sin^4 \frac{\chi}{2}}}.$$

Toto je ale takzvaná Rutherfordova formule, kterou je možno získat ve stejném tvaru i na základě úvah kvantové mechaniky.*)

Z (2.116) je zřejmé, že $\sigma(\chi)$ nezávisí na znaménku náboje částic; platí tedy jak pro případ sil odpudivých, tak i pro případ sil přitažlivých. Z úvah, které se týkaly

*) Podrobněji o tom viz L. D. Landau, E. M. Lifšic: Kvantovaja mechanika. op. cit.

- Rutherfordova formule
- Experiment.



Problém je s určením σ_c
Problém srážek na velkou vzdálenost

$$\sigma_c(v) = \int \sigma(\chi) d\Omega = 2\pi \int \sigma(\chi) \sin \chi d\chi = 2\pi \int b db$$

Debyeho stínící vzdálenost

- Shrňte, co se od účastníků očekává – pochopit, co je plazma.

$$l_d^2 = \frac{\epsilon_0 k T_1 T_2}{e^2 (Z_1^2 n_{10} T_2 + Z_2^2 n_{20} T_1)}$$



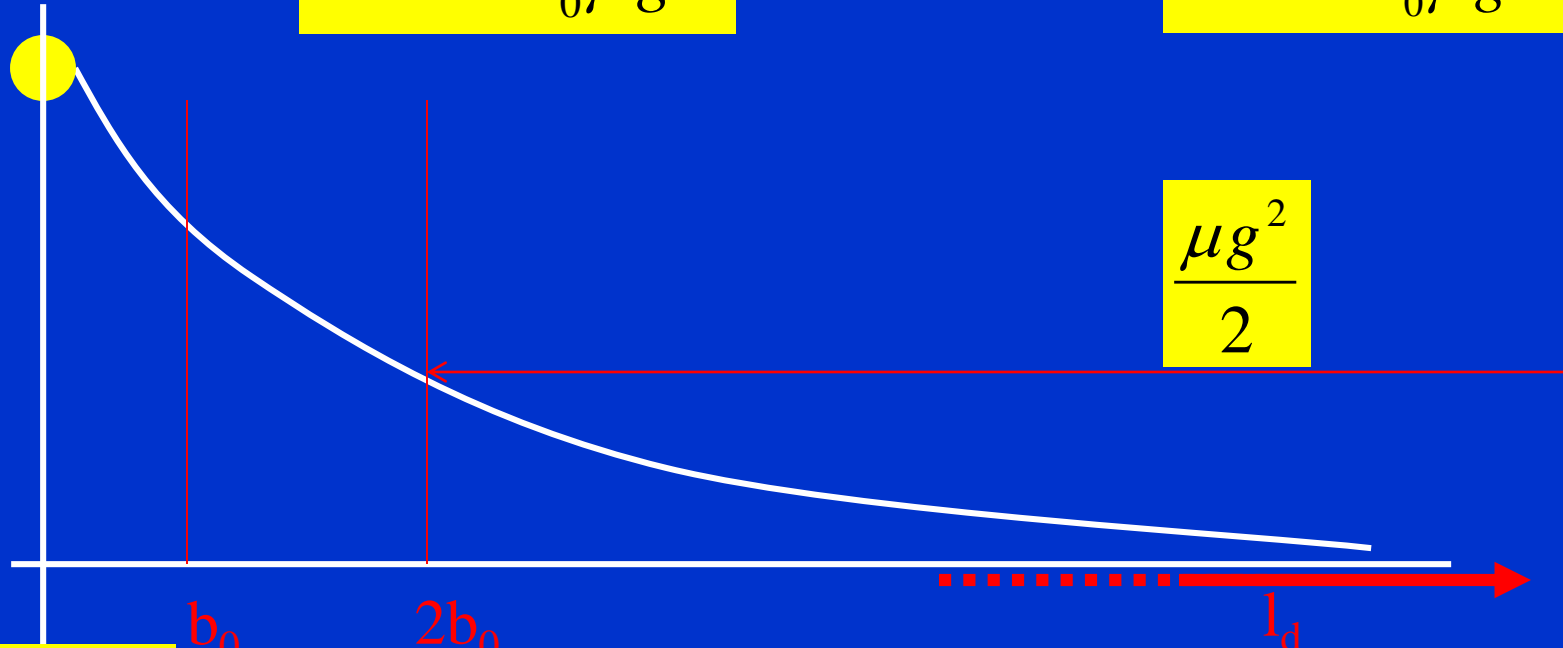
$$l_d^2 = \frac{\epsilon_0 k T}{n e^2}$$

For quasineutral plasma,
 $n_{10} = n_{20} = n/2$ with $T_1 = T_2$ we obtain

$$b_0 = \frac{Z_1 Z_2 e^2}{4 \pi \epsilon_0 \mu g^2}$$



$$b_0 = \frac{e^2}{4 \pi \epsilon_0 \mu g^2}$$

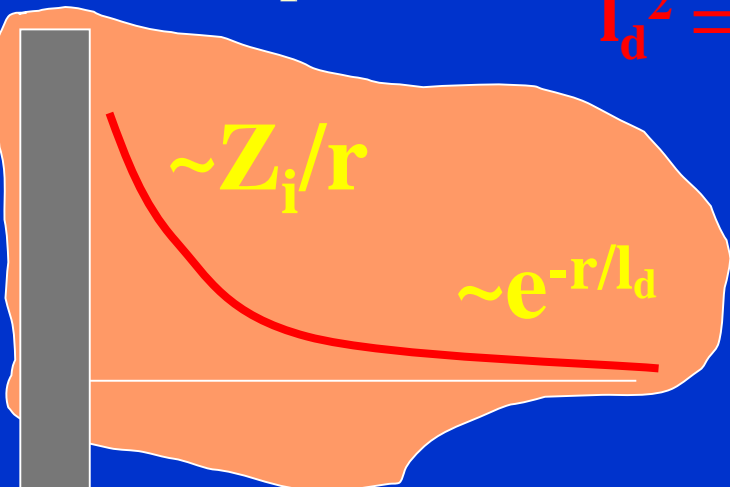


$$\frac{\mu g^2}{2}$$

$$\frac{b_0}{l_d} = \frac{\frac{1}{9}(\frac{3}{2}kT)}{N\frac{1}{2}\mu g^2} \ll 1$$

Stínění v plazmě

$$l_d^2 = \epsilon_0 kT / ne^2$$



$$l_d^2 = kT/m_e * 1/\omega_{0e}^2 = v^2/\omega_{0e}^2$$

$$\phi(r) = (Z_i e / 4\pi\epsilon_0) / r * e^{-r/l_d}$$

$$\sigma_c(v) = 2\pi \int b db$$

Problém srážek na velkou vzdálenost

- Stínění v plazmě
- Ustanovení debyovského stínění

Tvar l_d (2.124) se značně zjednoduší, budeme-li předpokládat, že $Z_1^2 = Z_2^2 = 1$, $T_1 = T_2 = T$ a

$$(2.130) \quad n_{10} + n_{20} = n, \quad n_{10} \sim n_{20} \sim \frac{1}{2}n,$$

kde n je celkový počet částic v jednotce objemu. Potom, jak plyne z (2.124), je

$$(2.131) \quad l_d^2 = \frac{\epsilon_0 k T}{n e^2}.$$

Uvážíme-li nyní, že Langmuirova frekvence (plazmová frekvence) ω_0 je dána výrazem

$$(2.132) \quad \omega_0^2 = \frac{n e^2}{\epsilon_0} \left(\frac{1}{m_1} + \frac{1}{m_2} \right) \sim \frac{n e^2}{\epsilon_0 m_e} = \omega_{0e}^2,$$

kde m_e je hmotnost elektronů a ω_{0e} je plazmová frekvence elektronů, můžeme také psát, že

$$(2.133) \quad l_d^2 = \frac{k T}{m_e} \frac{1}{\omega_{0e}^2}.$$

Fyzikální význam této rovnice je celkem jasný. Rovnice (2.133) totiž říká, že l_d je taková délka, o kterou se přemístí částice (elektron) za periodu plazmových kmitů. Potom doba τ_{st} , za kterou se ustanoví debyeovské stínění, je řádově

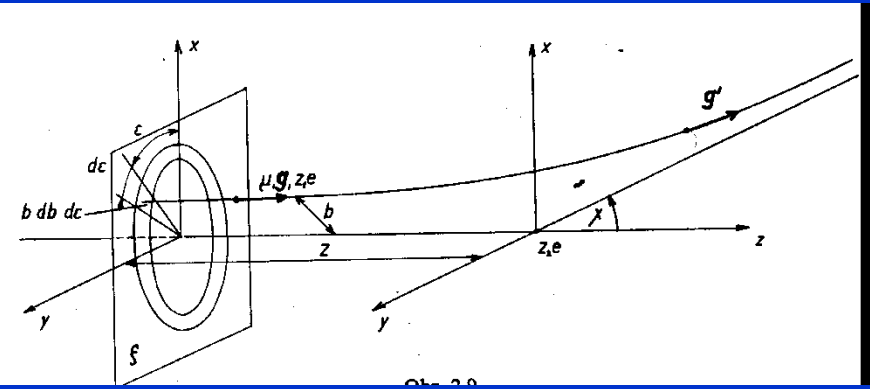
$$(2.134) \quad \tau_{st} \sim \frac{1}{\omega_0} \sim \frac{l_d}{\sqrt{k T / m_e}}.$$

Na závěr tohoto odstavce je nutno poznamenat, že některé naše úvahy nejsou přesně vzato korektní. Týká se to především předpokladu, že rozložení částic kolem každého silového centra plazmatu je dánou sféricky symetrickým rozdělením Maxwella-Boltzmanna. Podrobnější analýza daného problému ukazuje*), že chyby, kterých se tímto jednoduchým popisem dopouštíme, jsou poměrně malé a navíc i tento jednoduchý popis vede k relativně dobrým výsledkům v další teorii plazmatu.

*) Viz např. D. V. Sivuchin: Voprosy teorii plazmy 4, red. M. A. Leontovič, Moskva (1964).

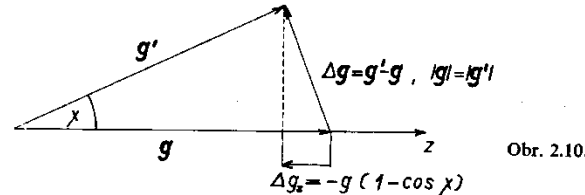
Zvláštnosti coulombovského rozptylu

- Coulombovský rozptyl
- Coulombovský logaritmus



$$\mathbf{F} = -\frac{d}{dt} \sum_{(i)} p_{1t} = -\frac{\mathbf{g}}{g} \mu \sum_{(i)} \frac{d}{dt} g_z,$$

kde suma přes i značí sečítání přes všechny částice svazku. Výraz $\sum_{(i)} (dg_z/dt)$ je možno celkem snadno určit: fyzikálně totiž znamená změnu relativní rychlosti svazku částic za jednotku času, nebo – což je totéž – změnu relativní rychlosti jedné částice svazku vlivem srážky, vynásobenou počtem srážek za jednotku času (předpokládáme, že interakci svazku můžeme rozdělit na jednotlivé binární srážky).



Změnu relativní rychlosti jedné částice svazku Δg_z určíme snadno z obr. 2.10. Snadno zjistíme, že

$$(2.136) \quad \Delta g_z = -g(1 - \cos \chi) = -2g \sin^2 \frac{\chi}{2}.$$

Počet srážek za jednotku času závisí zřejmě na průseku svazku; za jednotku času „dosáhnou“ silového centra pouze ty částice, jejichž vzdálenost $Z \leq g \cdot 1 \text{ sec}$. Počet částic, které projdou elementární plochou $b db ds$ za jednotku času a „dosáhnou“ silového centra, pak zřejmě bude

$$(2.137) \quad gn_1 b db ds,$$

kde n_1 je koncentrace částic svazku. Vynásobíme-li nyní (2.136) výrazem (2.137) a zintegrujeme-li výsledek přes celou rovinu ξ , dostaneme, že

$$(2.138) \quad \sum_{(i)} \frac{d}{dt} g_z = \int_0^\infty db \int_0^{2\pi} d\xi \left(-2g \sin^2 \frac{\chi}{2} gn_1 b \right)$$

a odtud

$$(2.139) \quad \mathbf{F} = \frac{\mathbf{g}}{g} 2g^2 n_1 \mu 2\pi \int_0^\infty b \sin^2 \frac{\chi}{2} db.$$

Uvážíme-li nyní, že podle (2.106) $\tan \chi/2 = b_0/b$, můžeme dále psát, že

$$(2.140) \quad \mathbf{F} = \frac{\mathbf{g}}{g} \mu 4\pi n_1 g^2 b_0^2 \int_0^\infty \frac{b db}{b_0^2 + b^2}.$$

Integrál

$$(2.141) \quad L = \int_0^\infty \frac{b db}{b_0^2 + b^2}$$

Zvláštnosti coulombovského rozptylu

- Coulombovský rozptyl
- Coulombovský logaritmus

$$F = \frac{g}{g} \mu 4\pi n_1 g^2 b_0^2 \int_0^\infty \frac{b \, db}{b_0^2 + b^2}.$$

$$L = \int_0^\infty \frac{b \, db}{b_0^2 + b^2}$$

ln(E.kinetická/E.potenciální)
Ve vzdalenosti l_d

Už jsme ukázali, že platí....

$$b_0 = \frac{e^2}{4\pi\epsilon_0\mu g^2} \quad l_d^2 = \frac{\epsilon_0 k T}{n e^2}$$

$$\frac{b_0}{l_d} = \frac{1}{N} \frac{(3/2)kT}{1/2\mu g^2} \ll 1$$

logaritmicky diverguje pro velké hodnoty parametru b . Abychom dostali pro F konečné hodnoty, musíme v L nějakým způsobem omezit horní integrační mez.

V předchozím odstavci jsme si ukázali, že efektivní interakční potenciál částic je řádově dosahu l_d ; binární coulombovské srážky je pak možno uvažovat pouze pro srážkový parametr $b \leq l_d$. Za horní integrační mez L je tedy možno zvolit l_d . Dostaneme

$$(2.142) \quad L = \int_0^{l_d} \frac{b \, db}{b_0^2 + b^2} = \ln \sqrt{\left(\frac{b_0^2 + l_d^2}{b_0^2} \right)}.$$

Jestliže dále platí, že $l_d \gg |b_0|$, můžeme (2.142) přepsat do tvaru

$$(2.143) \quad L = \ln \left(\frac{l_d}{|b_0|} \right) = \ln \frac{l_d}{\frac{Z_1 Z_2 e^2}{4\pi\epsilon_0\mu g^2}},$$

kde jsme za b_0 dosadili (2.97) a síla F , určená rovnicí (2.140), má nyní tvar

$$(2.144) \quad F = L \frac{g}{g^3} \frac{Z_1^2 Z_2^2 e^4}{4\pi\epsilon_0} \frac{n_1}{\mu}.$$

Veličina L určená rovnicí (2.143) se nazývá coulombovský logaritmus.

Předpokládali jsme, že platí

$$(2.145) \quad l_d \gg b_0.$$

Tato podmínka však plyne přímo z předpokladů (2.120), které mají platit pro libovolné r . Položme tedy $r = l_d$ a předpokládejme pro jednoduchost, že $Z_1 = Z_2 = 1$. Sečtením nerovnosti (2.120) ($\varphi(r)$ bereme v prvním přiblížení jako coulombovský) dostaneme

$$(2.146) \quad \frac{2e^2}{4\pi\epsilon_0} \frac{1}{l_d} \ll k(T_1 + T_2),$$

což je možno přepsat jako

$$(2.147) \quad l_d \gg \frac{2e^2}{4\pi\epsilon_0 k(T_1 + T_2)}.$$

Protože ale $3k(T_1 + T_2) \sim \mu g^2$, je možno (2.147) dále přepsat na

$$(2.148) \quad l_d \gg \frac{6e^2}{4\pi\epsilon_0\mu g^2} \sim b_0.$$

Odtud již vidíme, že nerovnost (2.145) je již splněna, platí-li (2.120), nebo jinými slovy, předpokládáme (stejně jako v 1. kapitole), že interakční energie částic je mnohem menší ve srovnání s jejich tepelnou energií. K tomuto výsledku je možno dojít ještě trochu jiným způsobem. Aby „ořezání“ integrálu L (2.141) mělo fyzikální smysl,

Další kroky

(2.140)

$$F = \frac{g}{g} \mu 4\pi n_1 g^2 b_0^2 \int_0^\infty \frac{b \, db}{b_0^2 + b^2}.$$

Integrál

(2.141)

$$L = \int_0^\infty \frac{b \, db}{b_0^2 + b^2}$$

(2.151)

$$|F| = \text{konst } L,$$

kde L je dáno rovnicí (2.142), resp. (2.143). Sledujme dále, jak závisí $|F|$ na úhlu rozptylu částic. Na základě (2.106) můžeme tvrdit, že pro $b \gg b_0$ je

(2.152)

$$\chi = \frac{2b_0}{b} \ll 1$$

a tedy rozptyl na malé úhly odpovídá dalekým průletům. Hranici mezi dalekými a blízkými průlety stanovme pro $b = 2b_0$. Rovnici (2.151) můžeme nyní psát ve tvaru

(2.153)

$$|F| = \text{konst} \int_0^{l_d} \frac{b \, db}{b_0^2 + b^2} = \text{konst} (L_{b.p.} + L_{d.p.}),$$

kde

(2.154)

$$L_{b.p.} = \int_0^{2b_0} \frac{b \, db}{b_0^2 + b^2} = \ln 3 \sim 1$$

je coulombovský logaritmus odpovídající blízkým průletům a

(2.155)

$$L_{d.p.} = \int_{2b_0}^{l_d} \frac{b \, db}{b_0^2 + b^2} = \ln \frac{l_d}{b_0} - \ln 3 \sim \ln \frac{l_d}{b_0} = L \gg 1$$

je coulombovský logaritmus odpovídající dalekým průletům. Z (2.153) je zřejmé, že střední sílu, která působí na částici 2 ze strany svazku částic 1, můžeme rozdělit na dvě části a to na sílu $F_{b.p.}$, odpovídající blízkým průletům, a $F_{d.p.}$, odpovídající dalekým průletům; pro $F_{b.p.}$ a $F_{d.p.}$ platí

(2.156)

$$|F_{b.p.}| \sim L_{b.p.}$$

$$F_{dp}/F_{bp} \sim L \gg 1$$

Závislost na teplotě

V závěru tohoto odstavce uvedeme ještě několik poznámek, týkajících se coulombovského logaritmu L . Z (2.143) vidíme, že L závisí logaritmicky na μg^2 . V důsledku této logaritmické závislosti je možno v mnoha případech nahradit μg^2 střední hodnotou této veličiny nebo teplotnou rychlosťí častic, tj. můžeme položit $\mu g^2 \sim \frac{3}{2}k(T_1 + T_2)$. Abychom si utvořili představu, jak závisí L na teplotě a koncentraci, předpokládejme pro jednoduchost, že $T_1 = T_2 = T$. Coulombovský logaritmus má pak jednoduchý tvar

$$(2.159) \quad L = \ln \left[\frac{12\pi}{n^{1/2}} \left(\frac{e_0 k T}{e^2} \right)^{3/2} \right].$$

V jednoduchém případě, kdy $\mu g^2 \sim \frac{3}{2}k(T_1 + T_2)$, $T_1 = T_2 = T$ a $|Z_1| = |Z_2| = 1$, je možno (2.161) přepsat na tvar

$$(2.162) \quad L_{kv} = L_{kl} + \ln \left(\frac{4,2 \cdot 10^5}{T} \right)^{1/2},$$

kde L_{kl} je dáno vztahem (2.159). Hodnoty coulombovského logaritmu vypočtené z (2.159) a (2.161) jsou uvedeny v tab. 1; nejsou zde uvedeny hodnoty coulombovského logaritmu pro vysoké koncentrace a nízké teploty, protože v těchto případech je námi uvedená teorie neplatná.

Tabulka 1. Hodnoty coulombovského logaritmu L .

| Koncentrace elektronů [m ⁻³] | Teplota K | | | | | | | | | |
|--|-----------|-------|-------------------|-----------------|-------------------|-----------------|-------------------|-----------------|-------------------|-----------------|
| | 50 | 100 | 5.10 ² | 10 ³ | 5.10 ³ | 10 ⁴ | 5.10 ⁴ | 10 ⁵ | 5.10 ⁵ | 10 ⁶ |
| 10 ¹⁰ | 10,69 | 11,73 | 14,14 | 15,18 | 17,60 | 18,63 | 21,05 | 22,09 | 24,42 | 25,11 |
| 10 ¹¹ | 9,54 | 10,58 | 12,99 | 14,03 | 16,44 | 17,48 | 19,88 | 20,94 | 23,26 | 23,96 |
| 10 ¹² | 8,39 | 9,42 | 11,84 | 12,88 | 15,29 | 16,33 | 18,75 | 19,79 | 22,11 | 22,81 |
| 10 ¹³ | 7,23 | 8,27 | 10,69 | 11,73 | 14,14 | 15,18 | 17,60 | 18,63 | 20,96 | 21,65 |
| 10 ¹⁴ | 6,08 | 7,12 | 9,54 | 10,58 | 12,99 | 14,03 | 16,44 | 17,48 | 19,81 | 20,50 |
| 10 ¹⁵ | 4,93 | 5,97 | 8,39 | 9,42 | 11,84 | 12,88 | 15,29 | 16,33 | 18,66 | 19,36 |
| 10 ¹⁶ | — | 4,82 | 7,23 | 8,27 | 10,69 | 11,73 | 14,14 | 15,18 | 17,51 | 18,20 |
| 10 ¹⁷ | — | — | 6,08 | 7,12 | 9,54 | 10,58 | 19,99 | 14,03 | 16,36 | 17,05 |
| 10 ¹⁸ | — | — | 4,93 | 5,97 | 8,39 | 9,42 | 11,84 | 12,88 | 15,21 | 15,90 |
| 10 ¹⁹ | — | — | — | 4,82 | 7,23 | 8,27 | 10,69 | 11,73 | 14,06 | 14,75 |
| 10 ²⁰ | — | — | — | — | 6,08 | 7,12 | 9,54 | 10,58 | 12,90 | 13,60 |
| 10 ²¹ | — | — | — | — | 4,93 | 9,57 | 8,39 | 9,42 | 11,75 | 12,45 |
| 10 ²² | — | — | — | — | — | 4,92 | 7,23 | 8,27 | 10,60 | 11,30 |
| 10 ²³ | — | — | — | — | — | — | 6,08 | 7,12 | 9,45 | 10,14 |
| 10 ²⁴ | — | — | — | — | — | — | 4,93 | 5,97 | 8,30 | 8,99 |

Literatura ke kap. 2.

- JANCEL R., KAHAN TH.: Electrodynamics of plasmas. J. Wiley & Sons, London (1966).
 DELCROIX J. L.: Plasma physics. J. Wiley & Sons, London (1965).
 LANDAU L. D., LIFŠIC E. M.: Kvantovaja mechanika. Moskva (1963).
 SIVUCHIN D. V.: Voprosy těorii plazmy 4., red. M. A. Leontovič, Moskva (1964).
 TRUBNIKOV B. A.: Voprosy těorii plazmy 1., red. M. A. Leontovič, Moskva (1963).
 SPITZER L.: Physics of fully ionized gases. Interscience, New York (1956) (ruský překlad Spitzer L.: Fizika polnoslužbu ionizovanogo gaza. Moskva (1965)).

Quo vadis domine nostra

- Shrňte, co se od účastníků očekává.
- Shrňte, co se očekává od vás.

1.1 Základní definice

Rovnice mechaniky nejsou při velkém počtu N částic zvládnutelné. Lze však na jejich základě a při statistických představách dojít k zákonitostem, které chování velkého makroskopického systému částic vystihou.

Nechť pro makroskopický systém, který má objem V , je známa mikroskopická struktura; systém je tvořen N interagujícími částicemi a nechť každá z těchto částic se řídí zákony klasické dynamiky. Pro jednoduchost předpokládejme, že částice nemají vnitřní stupně volnosti. Mikroskopický stav systému je určen bodem (fází) v $6N$ rozměrném fázovém prostoru Γ , který má souřadnice $\mathbf{r}_1, \dots, \mathbf{r}_N, \mathbf{p}_1, \dots, \mathbf{p}_N$, kde $\mathbf{r}_i, \mathbf{p}_i$ jsou polohové vektory i -té částice v prostoru souřadnic, respektive v prostoru impulsů. Definujme dále objemový element $d\Gamma$ v Γ prostoru jako

$$d\Gamma = d\mathbf{r}_1 d\mathbf{r}_2 \dots d\mathbf{r}_N d\mathbf{p}_1 d\mathbf{p}_2 \dots d\mathbf{p}_N = d\mathbf{r}^N d\mathbf{p}^N.$$

Protože každý systém je reprezentován fází v Γ prostoru, soubor velkého počtu W systémů bude reprezentován „oblakem“ W fází v Γ . Označíme-li hustotu tohoto oblaku (fázovou hustotou) v Γ prostoru v čase t jako $\varrho(t; \mathbf{r}_1, \dots, \mathbf{r}_N; \mathbf{p}_1, \dots, \mathbf{p}_N)$, je potom počet fází (fázových bodů), obsažených v $d\Gamma$ kolem bodu $(\mathbf{r}_1, \dots, \mathbf{r}_N; \mathbf{p}_1, \dots, \mathbf{p}_N)$ v čase t , roven

$$\varrho(t; \mathbf{r}_1, \dots, \mathbf{r}_N; \mathbf{p}_1, \dots, \mathbf{p}_N) d\mathbf{r}^N d\mathbf{p}^N$$

a

$$(1.1) \quad \int \varrho(t; \mathbf{r}_1, \dots, \mathbf{p}_N) d\mathbf{r}^N d\mathbf{p}^N = W.$$

Fázovou hustotu $P_N(t; \mathbf{r}_1, \dots, \mathbf{p}_N)$, odpovídající jednomu systému, tj.

$$(1.2) \quad P_N = \frac{\varrho(t; \mathbf{r}_1, \dots, \mathbf{p}_N)}{W}$$

nazveme hustotou pravděpodobnosti ve fázovém prostoru. Potom z předchozích úvah a z fyzikálního významu $P_N(t; \mathbf{r}_1, \dots, \mathbf{p}_N)$ je zřejmé, že

$$(1.3) \quad \int P_N(t; \mathbf{r}_1, \dots, \mathbf{p}_N) d\mathbf{r}^N d\mathbf{p}^N = 1.$$

Fázový prostor

- Přecházíme z exaktního popisu na popis pomocí pravděpodobnosti.
- Rozdělovací funkce

• **N** interagujících částic ---- každá se řídí zákony klasické dynamiky.

Element $d\Gamma$ v Γ prostoru jako: $d\Gamma = dr_1 dr_2 \dots dr_N dp_1 \dots dp_N = dr^N dp^N$

Soubor systému představuje „oblak“ s hustotou $\rho(t, r_1, r_2, \dots, r_N, p_1, \dots, p_N)$



Fázový prostor

- Přecházíme z exaktního popisu na popis pomocí pravděpodobnosti.
- Rozdělovací funkce

N interagujících částic ---- každá se řídí zákony klasické dynamiky.

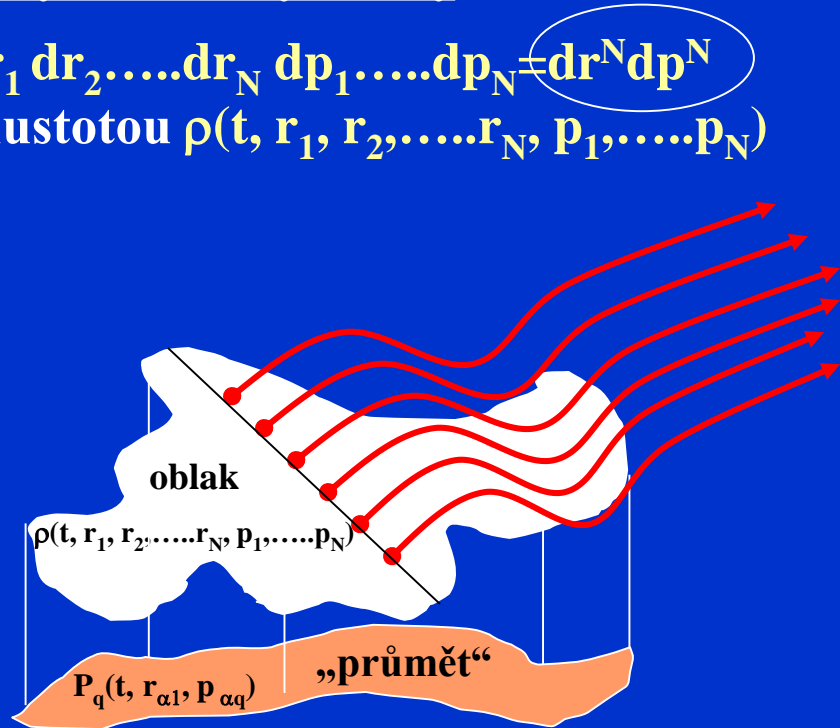
Element $d\Gamma$ v Γ prostoru jako: $d\Gamma = dr_1 dr_2 \dots dr_N dp_1 \dots dp_N = dr^N dp^N$

Soubor systému představuje „oblak“ s hustotou $\rho(t, r_1, r_2, \dots, r_N, p_1, \dots, p_N)$

Celkový počet fází v souboru je
 $\int \rho(t, r_1, r_2, \dots, r_N, p_1, \dots, p_N) dr^N dp^N = W$

Hustota pravděpodobnosti

$$P_N = \rho(t, r_1, r_2, \dots, r_N, p_1, \dots, p_N) / W$$



Integraci P přes podmnožinu proměnných získáme „průmět“ nezávislý na souřadnicích $r^{N-q} p^{N-q}$

$$P_q(t, r_{\alpha 1}, p_{\alpha q}) = \int P_N(t, r_1, r_2, \dots, r_N, p_1, \dots, p_N) dr^{N-q} dp^{N-q}$$

Pokud prointegrujeme přes impulsy získáme pravděpodobnost, že systém má určitou konfiguraci rozložení v prostoru

$$P_N(t, r_1, \dots, r_N) = \int P_N(t, r_1, r_2, \dots, r_N, p_1, \dots, p_N) dp^N$$

Liouvillův teorém

- Hamiltonián N častic
- Zobecněné souřadnice

Sledujeme časový vývoj souboru N častic...
každá částice se pohybuje v souladu s Hamiltonovými rovnicemi:

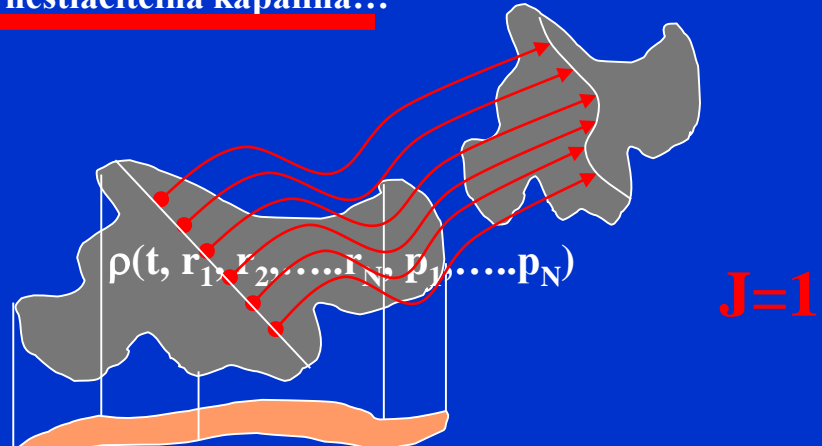
$$(1.9) \quad \dot{p}_{i_\alpha} = - \frac{\partial H(\mathbf{r}_1, \dots, \mathbf{r}_N; \mathbf{p}_1, \dots, \mathbf{p}_N)}{\partial r_{i_\alpha}}$$
$$\dot{r}_{i_\alpha} = \frac{\partial H(\mathbf{r}_1, \dots, \mathbf{r}_N; \mathbf{p}_1, \dots, \mathbf{p}_N)}{\partial p_{i_\alpha}}, \quad \alpha = 1, 2, 3,$$

Na pohyb častic systému je možno se dívat jako na kanonické transformace Jacobian transformace $J=1$ a proto je

$$\int d\Gamma = \int dr^N dp^N = \text{const}, \quad (1.10)$$

Fázový objem se nemění. Fázový objem se pohybuje jako nestlačitelná kapalina...

proto můžeme napsat „rovnici kontinuity“



1.1 Základní definice

Rovnice mechaniky nejsou při velkém počtu N částic zvládnutelné. Lze však na jejich základě a při statistických představách dojít k zákonitostem, které chování velkého makroskopického systému částic vystihnu.

Nechť pro makroskopický systém, který má objem V , je známa mikroskopická struktura; systém je tvořen N interagujícími částicemi a nechť každá z těchto částic se řídí zákony klasické dynamiky. Pro jednoduchost předpokládejme, že částice nemají vnitřní stupně volnosti. Mikroskopický stav systému je určen bodem (fází) v $6N$ rozměrném fázovém prostoru Γ , který má souřadnice $\mathbf{r}_1, \dots, \mathbf{r}_N, \mathbf{p}_1, \dots, \mathbf{p}_N$, kde $\mathbf{r}_i, \mathbf{p}_i$ jsou polohové vektory i -té částice v prostoru souřadnic, respektive v prostoru impulsů. Definujme dále objemový element $d\Gamma$ v Γ prostoru jako

$$d\Gamma = d\mathbf{r}_1 d\mathbf{r}_2 \dots d\mathbf{r}_N d\mathbf{p}_1 d\mathbf{p}_2 \dots d\mathbf{p}_N = d\mathbf{r}^N d\mathbf{p}^N.$$

Protože každý systém je reprezentován fází v Γ prostoru, soubor velkého počtu W systémů bude reprezentován „oblakem“ W fází v Γ . Označme-li hustotu tohoto oblaku (fázovou hustotou) v Γ prostoru v čase t jako $\varrho(t; \mathbf{r}_1, \dots, \mathbf{r}_N; \mathbf{p}_1, \dots, \mathbf{p}_N)$, je potom počet fází (fázových bodů), obsažených v $d\Gamma$ kolem bodu $(\mathbf{r}_1, \dots, \mathbf{r}_N; \mathbf{p}_1, \dots, \mathbf{p}_N)$ v čase t , roven

$$\varrho(t; \mathbf{r}_1, \dots, \mathbf{r}_N; \mathbf{p}_1, \dots, \mathbf{p}_N) d\mathbf{r}^N d\mathbf{p}^N$$

a

$$(1.1) \quad \int \varrho(t; \mathbf{r}_1, \dots, \mathbf{p}_N) d\mathbf{r}^N d\mathbf{p}^N = W.$$

Fázovou hustotu $P_N(t; \mathbf{r}_1, \dots, \mathbf{p}_N)$, odpovídající jednomu systému, tj.

$$(1.2) \quad P_N = \frac{\varrho(t; \mathbf{r}_1, \dots, \mathbf{p}_N)}{W}$$

nazveme hustotou pravděpodobnosti ve fázovém prostoru. Potom z předchozích úvah a z fyzikálního významu $P_N(t; \mathbf{r}_1, \dots, \mathbf{p}_N)$ je zřejmé, že

$$(1.3) \quad \int P_N(t; \mathbf{r}_1, \dots, \mathbf{p}_N) d\mathbf{r}^N d\mathbf{p}^N = 1.$$

1.2 Liouvillův teorém

Sledujme dále časový vývoj souboru N částic systému. Z mechaniky je známo, že pohyb každé částice se děje ve shodě s Hamiltonovými rovnicemi daného problému; fázový bod v Γ prostoru se bude pohybovat opět podle Hamiltonových rovnic, které – zapsány pro i -tou částici – jsou

$$(1.9) \quad \begin{aligned} \dot{p}_{i_\alpha} &= - \frac{\partial H(\mathbf{r}_1, \dots, \mathbf{r}_N; \mathbf{p}_1, \dots, \mathbf{p}_N)}{\partial r_{i_\alpha}} \\ \dot{r}_{i_\alpha} &= \frac{\partial H(\mathbf{r}_1, \dots, \mathbf{r}_N; \mathbf{p}_1, \dots, \mathbf{p}_N)}{\partial p_{i_\alpha}}, \quad \alpha = 1, 2, 3, \end{aligned}$$

kde $H(\mathbf{r}_1, \dots, \mathbf{r}_N; \mathbf{p}_1, \dots, \mathbf{p}_N)$ je hamiltonián částice daného systému.

Z klasické mechaniky je známo*, že na časovou změnu veličin p_{i_α} a r_{i_α} při pohybu částic systému je možno hledět jako na kanonické transformace. Dále je známo, že fázový objem, tj. $\int d\Gamma = \int d\mathbf{r}^N d\mathbf{p}^N$ je invariantní vzhledem ke kanonickým transformacím. Odtud dostáváme důležitý závěr: Každý bod fázového prostoru se pohybuje ve shodě s Hamiltonovými rovnicemi daného systému, stejným způsobem se pohybuje i oblak fázových bodů a navíc objem tohoto oblaku (fázový objem) se nemění, tj.

$$(1.10) \quad \int d\Gamma = \text{konst},$$

*) Viz např. L. D. Landau, E. M. Lifšič: Mechanika. Moskva (1965), s. 183.

i když se může měnit tvar tohoto objemu a tedy plocha, kterou je tento objem uzavřen.

Rovnice (1.10) je vlastně matematický zápis Liouvillova teoremu a říká, že fázový objem se pohybuje tak, jako kdyby byl nestlačitelná kapalina. Pro takovéto kapaliny však platí rovnice kontinuity (v Γ prostoru)

$$(1.11) \quad \frac{\partial \varrho}{\partial t} + \operatorname{div}(\varrho \mathbf{V}) = 0$$

Úvod

(1.11)

$$\frac{\partial \varrho}{\partial t} + \operatorname{div}(\varrho \mathbf{V}) = 0$$

nebo, což je totéž

(1.12)

$$\frac{\partial \varrho}{\partial t} + \varrho \operatorname{div} \mathbf{V} + \mathbf{V} \cdot \operatorname{grad} \varrho = 0,$$

kde \mathbf{V} je „rychlosť“ v Γ prostoru (o složkách $\dot{\mathbf{r}}_1, \dots, \dot{\mathbf{r}}_N, \dot{\mathbf{p}}_1, \dots, \dot{\mathbf{p}}_N$), která splňuje rovnici

$$(1.13) \quad \operatorname{div} \mathbf{V} = \sum_{i=1}^N \sum_{\alpha=1}^3 \left(\frac{\partial \dot{\mathbf{r}}_{i\alpha}}{\partial r_{i\alpha}} + \frac{\partial \dot{\mathbf{p}}_{i\alpha}}{\partial p_{i\alpha}} \right) = \sum_{i=1}^N \sum_{\alpha=1}^3 \left(\frac{\partial^2 H}{\partial r_{i\alpha} \partial p_{i\alpha}} - \frac{\partial^2 H}{\partial p_{i\alpha} \partial r_{i\alpha}} \right) = 0,$$

jako důsledek platnosti Hamiltonových rovnic (1.9). Rovnice (1.12) má potom tvar

(1.14)

$$\frac{\partial \varrho}{\partial t} + \mathbf{V} \cdot \operatorname{grad} \varrho = 0,$$

nebo

(1.15)

$$\frac{d\varrho}{dt} = \frac{\partial \varrho}{\partial t} + [\varrho; H] = 0,$$

Pořadí
derivačí

■ Formy Liouvilovho teorému

■ Vnější a vnitřní sily

Collisions

$$\rho(t, \mathbf{r}_1, \mathbf{r}_2, \dots, \mathbf{r}_N, \mathbf{p}_1, \dots, \mathbf{p}_N)$$

což můžeme psát jako

$$(1.16) \quad \frac{d\varrho}{dt} = \frac{\partial \varrho}{\partial t} + \sum_{i=1}^N \mathbf{v}_i \cdot \nabla_{\mathbf{r}_i} \varrho + \sum_{i=1}^N (\mathbf{X}_i + \mathbf{F}_i) \cdot \nabla_{\mathbf{p}_i} \varrho = 0,$$

kde $[\varrho; H]$ jsou Poissonovy závorky, \mathbf{v}_i je rychlosť i -té částice, \mathbf{X}_i je vektor vnější sily, působící na i -tou částici, a \mathbf{F}_i je vektor vnitřní sily působící na i -tou částici, která pochází od $(N-1)$ zbývajících částic.

Po vydělení rovnic (1.14), (1.15) a (1.16) počtem W systémů dostáváme rovnice pro P_N

$$(1.14') \quad \frac{\partial P_N}{\partial t} + \mathbf{V} \cdot \operatorname{grad} P_N = 0,$$

$$(1.15') \quad \frac{dP_N}{dt} = \frac{\partial P_N}{\partial t} + [P_N; H] = 0,$$

$$(1.16') \quad \frac{dp_N}{dt} = \frac{\partial P_N}{\partial t} + \sum_{i=1}^N \mathbf{v}_i \cdot \nabla_{\mathbf{r}_i} P_N + \sum_{i=1}^N (\mathbf{X}_i + \mathbf{F}_i) \cdot \nabla_{\mathbf{p}_i} P_N = 0.$$

Pokud prointegrujeme přes impulsy ...

$$P_N(t, \mathbf{r}_1, \dots, \mathbf{r}_N) = \int P_N(t, \mathbf{r}_1, \mathbf{r}_2, \dots, \mathbf{r}_N, \mathbf{p}_1, \dots, \mathbf{p}_N) d\mathbf{p}^N$$

Závislost na čase a poloze

Hustota pravděpodobnosti

$$P_N = \rho(t, \mathbf{r}_1, \mathbf{r}_2, \dots, \mathbf{r}_N, \mathbf{p}_1, \dots, \mathbf{p}_N) / W$$

1.3 Gibbsův H teorém

- entropia
- reversibilita a ireversibilita procesů

Všimněme si nyní alespoň částečně časového vývoje systému N častic, a to z hlediska vratnosti či nevratnosti procesů, které v tomto systému probíhají. Ze zkušenosti je známo, že většina procesů, které probíhají v přírodě, jsou procesy nevratné. To znamená, že entropie takového systému roste s časem; v rovnováze je potom entropie konstantní. Ve statistické fyzice je entropie úzce spjata s takzvanou H -funkcí a to vztahem

Hustota pravděpodobnosti

$$P_N = \rho(t, r_1, r_2, \dots, r_N, p_1, \dots, p_N) / W$$

Použijíc **Liouvilla teorému** dospějeme k výrazu

$$S = -kH = -k \int P_N \ln P_N d\Gamma, \quad \text{kde } H = \int P_N \ln P_N d\Gamma$$

Uvážíme-li nyní platnost Liouvillovy rovnice (1.15'), můžeme psát, že

$$(1.22) \quad \int \frac{\partial P_N}{\partial t} \ln P_N d\Gamma = - \int [H; P_N] \ln P_N d\Gamma = \int P_N [H; \ln P_N] d\Gamma = \\ = \int [H; P_N] d\Gamma = - \int \frac{\partial P_N}{\partial t} d\Gamma.$$

$$dH/dt = 0 \quad \rightarrow \quad dS/dt = 0$$

$$\frac{dH}{dt} = \int \frac{\partial P_N}{\partial t} (\ln P_N + 1) d\Gamma.$$

$$= 0$$

To znamená, že systém se časově nevyvíjí....
t.j. nerovnovážný systém se nemůže nikdy dostat do stavu rovnovážného.

Paradox- klasická mechanika vede k přísně reverzibilnímu popisu, zatím co příroda se chová ireversibilně ...

Časový vývoj – entropia roste
Entropia systému roste, $dS/dt > 0$

1.3 Gibbsův H teorém

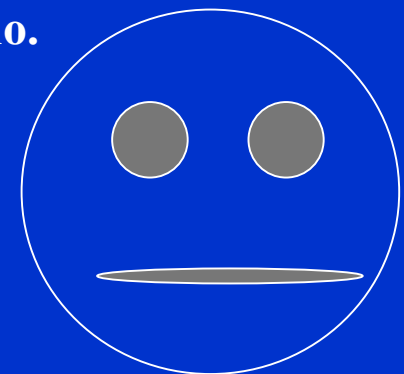
- entropia
- reversibilita a ireversibilita procesů

$$S = -kH = -k \int P_N \ln P_N, \quad \text{kde } H = \int P_N \ln P_N$$

Použijíc **Liouvilla teorému** dospějeme k výrazu

$$\frac{dH}{dt} = 0 \quad \longrightarrow \quad \frac{dS}{dt} = 0$$

To znamená, že systém se časově nevyvíjí.....
t.j. nerovnovážný systém se nemůže nikdy dostat do stavu rovnovážného.



Paradox- klasická mechanika vede k přísně reverzibilnímu popisu, zatím co příroda se chová ireversibilně .. (...)

Časový vývoj – entropia roste Entropia systému roste, $dS/dt > 0$

1.4 Rovnice BBGKY

1.4 Rovnice BBGKY

Funkce $P_N(t, \mathbf{r}_1, \mathbf{r}_2, \dots, \mathbf{r}_N, \mathbf{p}_1, \dots, \mathbf{p}_N)$ má určité vlastnosti plynoucí z jejího vztahu k částicím... Pomocí této funkce můžeme určit některé makroskopické veličiny charakterizující daný soubor částic v bodě \mathbf{r}

Např. proudová hustota v bodě \mathbf{r} je daná vztahem

$$J(t, \mathbf{r}) = \int J(\mathbf{r}) P_N(t, \mathbf{r}_1, \mathbf{r}_2, \dots, \mathbf{r}_N, \mathbf{p}_1, \dots, \mathbf{p}_N) d\mathbf{r}^N dp^N \quad (1.27)$$

kde $J(\mathbf{r})$ je operátor hustoty proudu

$$J(\mathbf{r}) = \sum p_i \delta(\mathbf{r} - \mathbf{r}_i) \quad (1.28)$$

Hustota pravděpodobnosti

$$P_N = \rho(t, \mathbf{r}_1, \mathbf{r}_2, \dots, \mathbf{r}_N, \mathbf{p}_1, \dots, \mathbf{p}_N) / W$$

Koncentrace částic $n(\mathbf{r}; t)$ v místě \mathbf{r} je

$$(1.29) \quad n(\mathbf{r}; t) = \int \hat{n}(\mathbf{r}) P_N(t; \mathbf{r}_1, \dots, \mathbf{p}_N) d\mathbf{r}^N dp^N,$$

kde $\hat{n}(\mathbf{r})$ je operátor polohy

$$(1.30) \quad \hat{n}(\mathbf{r}) = \sum_{i=1}^N \delta(\mathbf{r} - \mathbf{r}_i).$$

Hustota kinetické energie $E(t; \mathbf{r})$ v místě \mathbf{r} je rovna

$$(1.31) \quad E(t; \mathbf{r}) = \int \hat{E}(\mathbf{r}) P_N(t; \mathbf{r}_1, \dots, \mathbf{p}_N) d\mathbf{r}^N dp^N,$$

kde $\hat{E}(\mathbf{r})$ je operátor kinetické energie

$$(1.32) \quad \hat{E}(\mathbf{r}) = \sum_{i=1}^N \frac{p_i^2}{2m_i} \delta(\mathbf{r} - \mathbf{r}_i)$$

a m_i je hmotnost i -té částice.

Pro nabité částice je dále možno zavést proudovou hustotu $j(t; \mathbf{r})$ v bodě \mathbf{r} (hustotu toku náboje) vztahem

$$(1.33) \quad j(t; \mathbf{r}) = \int \hat{j}(\mathbf{r}) P_N(t; \mathbf{r}_1, \dots, \mathbf{p}_N) d\mathbf{r}^N dp^N,$$

kde $\hat{j}(\mathbf{r})$ je operátor hustoty proudu (toku náboje)

$$\hat{j}(\mathbf{r}) = \sum e/\mu * p_i \delta(\mathbf{r} - \mathbf{r}_i)$$

operátor hustoty proudu (toku náboje)

Introduction to BBGKY

(Bogoliubov, Born, Green, Kirkwood, Yvon)

Z výše uvedených úvah plyne, že je vhodné zavést takové funkce a rovnice pro tyto funkce, které budou určovat chování s částic souboru ($s \ll N$). Definujme tedy pro $s \ll N$ funkci $F_s(t; \mathbf{r}_1, \dots, \mathbf{r}_s; \mathbf{p}_1, \dots, \mathbf{p}_s)$ tímto způsobem:

$$(1.38) \quad F_s(t; \mathbf{r}_1, \dots, \mathbf{r}_s; \mathbf{p}_1, \dots, \mathbf{p}_s) = V^s P_s(t; \mathbf{r}_1, \dots, \mathbf{p}_s) =$$

$$= V^s \int \dots \int P_N(t; \mathbf{r}_1, \dots, \mathbf{r}_N; \mathbf{p}_1, \dots, \mathbf{p}_N) d\mathbf{r}_{s+1} \dots d\mathbf{r}_N, d\mathbf{p}_{s+1} \dots d\mathbf{p}_N$$

pro $s = 1, 2, 3, \dots$

Z normovací podmínky

$$(1.39) \quad \frac{1}{V^s} \int \dots \int F_s(t; \mathbf{r}_1, \dots, \mathbf{r}_s; \mathbf{p}_1, \dots, \mathbf{p}_s) d\mathbf{r}_1 \dots d\mathbf{r}_s d\mathbf{p}_1 \dots d\mathbf{p}_s = 1$$

$V^{-s} F_s(t, \mathbf{r}_1, \dots, \mathbf{r}_s, \mathbf{p}_1, \dots, \mathbf{p}_s)$ is the probability that the group s of particles from the set of N particles will be at time t located in the element $d\mathbf{r}_1, \dots, d\mathbf{r}_s, d\mathbf{p}_1, \dots, d\mathbf{p}_s$ regardless of the state of the remaining ($N-s$) particles.

For interacting particles

- Let's narrow down the generality of the Hamiltonian a bit

(1.42)

$$\frac{\partial P_N}{\partial t} - [H; P_N] = 0.$$

Hamiltonovu funkci H pro N vzájemně interagujících částic můžeme zapsat ve tvaru

$$(1.43) \quad H = \sum_{i=1}^N \left[\frac{p_i^2}{2m_i} + U_i(\mathbf{r}_i) \right] + \sum_{\substack{i,j=1 \\ i < j}}^N \Phi_{ij} = \sum_{i=1}^N H_i(\mathbf{r}_i, \mathbf{p}_i) + \sum_{\substack{i,j=1 \\ i < j}}^N \Phi_{ij},$$

kde $H_i(\mathbf{r}_i, \mathbf{p}_i)$ je hamiltonián samotné i -té částice a $U_i(\mathbf{r}_i)$ je potenciál, který je způsobený efekty na stěnách a vnějšími silami. $\Phi_{ij} = \Phi(|\mathbf{r}_i - \mathbf{r}_j|)$ je interakční potenciál mezi i -tou a j -tou částicí.

Použitím rovnice (1.43) můžeme Liouvillovu rovnici (1.42) přepsat do tvaru

$$(1.44) \quad \frac{\partial P_N}{\partial t} - \sum_{i=1}^N [H_i; P_N] - \sum_{\substack{i,j=1 \\ i < j}}^N [\Phi_{ij}; P_N] = 0.$$

Budeme-li dále násobit (1.44) V^s a integrovat s ohledem na $d\mathbf{r}_{s+1} \dots d\mathbf{r}_N d\mathbf{p}_{s+1} \dots d\mathbf{p}_N$ (přes fázový prostor $(N - s)$ částic), dostaneme

$$(1.45) \quad \frac{\partial F_s}{\partial t} = \sum_{i=1}^N V^s \int \dots \int [H_i; P_N] d\mathbf{r}_{s+1} \dots d\mathbf{r}_N d\mathbf{p}_{s+1} \dots d\mathbf{p}_N +$$

$$+ \sum_{\substack{i,j=1 \\ i < j}}^N V^s \int \dots \int [\Phi_{ij}; P_N] d\mathbf{r}_{s+1} \dots d\mathbf{r}_N d\mathbf{p}_{s+1} \dots d\mathbf{p}_N,$$

$V^s F_s(t, \mathbf{r}_1, \dots, \mathbf{r}_s, \mathbf{p}_1 \dots \mathbf{p}_s)$

BBGKY Equation

- After many modifications
- After many restrictions
- After many simplifications

Budeme-li dálé předpokládat, že pro $|\mathbf{r}_j| \rightarrow \infty$ je $(\partial P_N / \partial \mathbf{r}_j) \rightarrow 0$ a pro $|\mathbf{p}_j| \rightarrow \infty$ je $(\partial P_N / \partial \mathbf{p}_j) \rightarrow 0$, dostaneme integraci per partes relace

Shrnutím předchozích výsledků dostáváme konečně požadovanou rovnici pro F_s ve tvaru

$$(1.52) \quad \frac{\partial F_s}{\partial t} = [H_s; F_s] + \frac{N-s}{V} \sum_{i=1}^s \int [\Phi_{i,s+1}; F_{s+1}] d\mathbf{r}_{s+1} d\mathbf{p}_{s+1},$$

Φ_{ij} je interakční potenciál mezi i-tou j-tou částicí

kde

(1.53)

$$H_s = \sum_{i=1}^s H_i(\mathbf{r}_i, \mathbf{p}_i) + \sum_{\substack{i,j=1 \\ i < j}}^s \Phi_{ij} -$$

je Hamiltonova funkce uzavřeného systému s částicí.

S+1

F_s is a function of F_{s+1}

set of equations

we are where we were!!



Available online at www.sciencedirect.com

SCIENCE @ DIRECT®

Chemical Physics Letters 372 (2003) 728–732

2003

CHEMICAL
PHYSICS
LETTERS

www.elsevier.com/locate/cplett

The influence of electron–electron collisions on electron thermalization in He and Ar afterglow plasmas

D. Trunec ^{a,*}, P. Španěl ^b, D. Smith ^c

^a Department of Physical Electronics, Faculty of Science, Masaryk University, Kotlářská 2, 611 37 Brno, Czech Republic

^b J. Heyrovsky Institute of Physical Chemistry, Academy of Sciences of the Czech Republic, Dolejškova 3,
182 23 Prague 8, Czech Republic

^c Centre for Science and Technology in Medicine, School of Postgraduate Medicine, Keele University, Thornburrow Drive,
Hartshill, Stoke-on-Trent ST4 7QB, UK

Received 6 January 2003; in final form 18 March 2003

Abstract

The electron energy distribution functions for electron thermalization in helium and argon afterglow plasmas have been calculated taking into account electron–neutral and electron–electron collisions. This work shows that electron–electron collisions can lead to the Maxwellization of the electron energy distribution function and thus to different rates of electron thermalization.

© 2003 Elsevier Science B.V. All rights reserved.

,,EEDF Cooling in He and in Ar“

Shrnutím předchozích výsledků dostáváme konečně požadovanou rovnici pro F_s ve tvaru

(1.52)

$$\frac{\partial F_s}{\partial t} = [H_s; F_s] + \frac{N-s}{V} \sum_{i=1}^s \int [\Phi_{i,s+1}; F_{s+1}] d\mathbf{r}_{s+1} d\mathbf{p}_{s+1},$$

2. Boltzmann equation

The time rate of change of the electron distribution function, $f(v, t)$, is described by the Boltzmann equation [16]

$$\frac{\partial f(v, t)}{\partial t} = C_{en} + C_{ee}, \quad (1)$$

where C_{en} is the collision term for electron–neutral collisions

$$C_{en} = n_n \frac{m_e}{m_n} \frac{1}{v^2} \frac{\partial}{\partial v} \left(v^4 \sigma_T(v) \left(f + \frac{kT_n}{m_e} \frac{1}{v} \frac{\partial f}{\partial v} \right) \right) \quad (2)$$

and C_{ee} is the collision term for electron–electron collisions

$$C_{ee} = \Gamma_{ee} \frac{1}{v^2} \frac{\partial}{\partial v} \left(I_0^0 f + (I_2^0 + J_{-1}^0) \frac{v}{3} \frac{\partial f}{\partial v} \right), \quad (3)$$

$$I_p^0 = \frac{4\pi}{v^p} \int_0^v v^{2+p} f dv,$$

$$J_p^0 = \frac{4\pi}{v^p} \int_v^\infty v^{2+p} f dv,$$

$$\Gamma_{ee} = 4\pi \left(\frac{e^2}{4\pi e_0 m_e} \right)^2 \ln A,$$

where n_n is the number density of neutral gas, T_n is the gas temperature, m_n is the mass of neutral gas atoms and σ_T is the momentum transfer cross-section for electron–neutral collisions. $A = \lambda_D/b_0$ (λ_D is the Debye length, b_0 is the impact parameter for a 90° scattering). For our conditions (see be-

Only collisional term

low) $\ln A = 10$. As can be seen from Eq. (2), only elastic collisions are taken into account. The distribution function has the normalization

$$n_e = 4\pi \int_0^\infty v^2 f(v) dv, \quad (4)$$

so that the function

$$F(v) = \frac{4\pi v^2}{n_e} f(v)$$

is a velocity distribution function.

The initial distribution for the calculation was chosen as

$$f(v, 0) = \frac{n_e}{4\pi k T_n \sqrt{\pi}} \frac{1}{v^2} \exp \left(- \left(\frac{v - v_0}{k T_n} \right)^2 \right) \quad (5)$$

with $v_0 = 1.19 \times 10^6 \text{ ms}^{-1}$. This v_0 corresponds to electrons with energies in a narrow peak round 4 eV. The peak width is $2kT_n$.

,,EEDF Cooling in He and in Ar“

3.2. Electron-neutral collisions

Let us study first the energy relaxation due to electron–neutral collision only. For simplicity let us consider that the molecules of neutral gas are at rest ($T_n = 0$ K) and that the momentum transfer cross-section does not depend on the velocity, which is good approximation for helium.

Thus we obtain the equation

$$\frac{\partial f(v, t)}{\partial t} = n_n \frac{m_e}{m_n} \sigma_T \frac{1}{v^2} \frac{\partial}{\partial v} (v^4 f). \quad (6)$$

This equation can be solved analytically; the solution is

$$f(v, t) = \frac{1}{v^4} g\left(at - \frac{1}{v}\right), \quad (7)$$

where $a = n_n \frac{m_e}{m_n} \sigma_T$ and g is an arbitrary function, which must be determined from initial condition. For our initial condition (5) we obtain

$$f(v, t) = \frac{n_e}{4\pi k T_n \sqrt{\pi}} \frac{1}{v^2 (atv - 1)^2} \times \exp\left(-\left(\frac{v}{atv-1} + v_0\right)^2\right). \quad (8)$$

The time development of this distribution function is shown in Fig. 1.

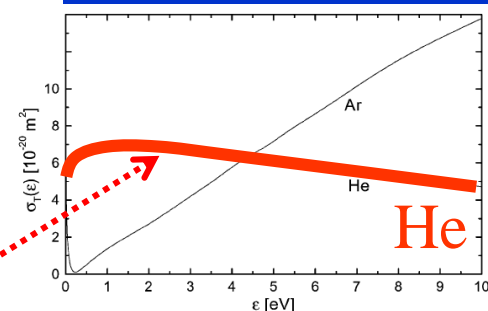


Fig. 2. The momentum transfer cross-sections for electron–argon [20] and electron–helium elastic collisions [21].

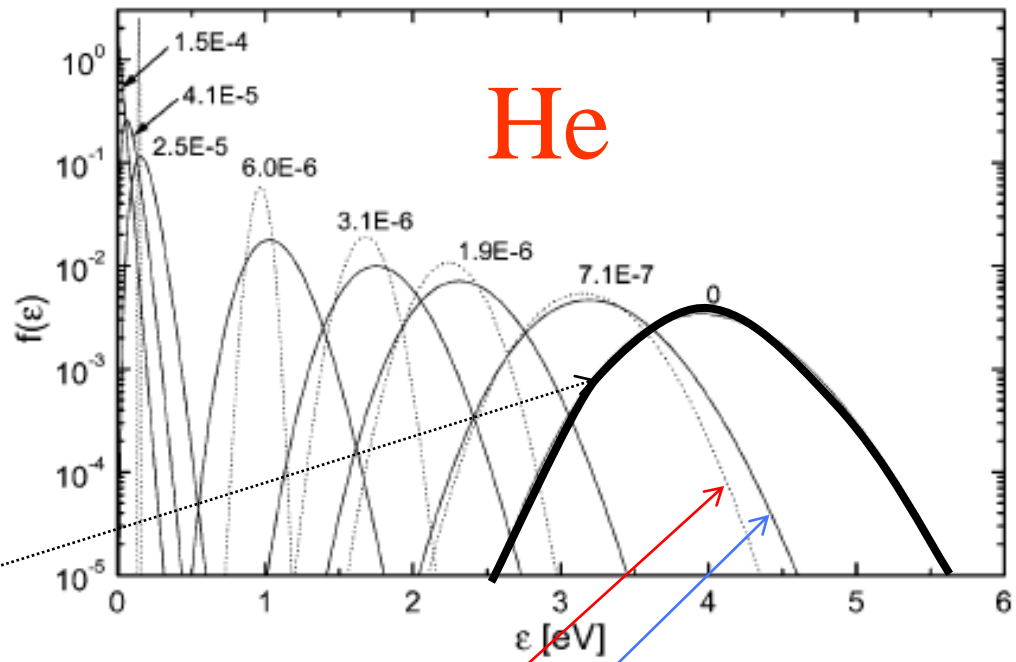


Fig. 1. The time dependence of the electron distribution function in helium afterglow plasma. The neutral gas number density is $n_n = 1.65 \times 10^{16} \text{ cm}^{-3}$, the neutral gas temperature: dotted line, $T_n = 0$ K; full line, $T_n = 293$ K. The time in seconds is given by the numbers near each curve. Electron–electron collisions are not taken in the account.

„EEDF Cooling in He and in Ar“

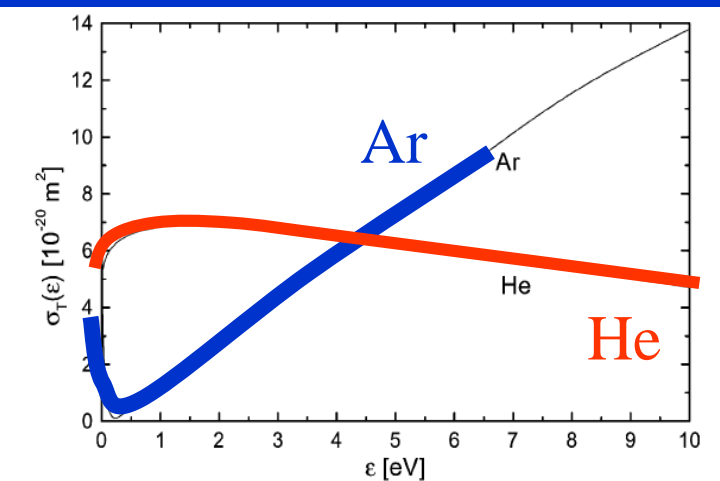


Fig. 2. The momentum transfer cross-sections for electron–argon [20] and electron–helium elastic collisions [21].

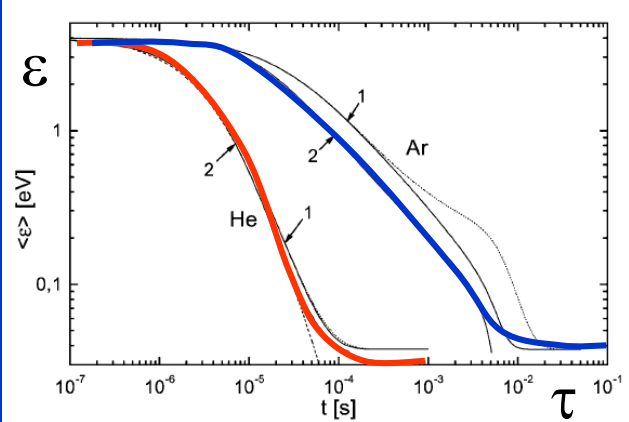


Fig. 5. The time dependence of the mean electron energy in helium and argon afterglow plasmas. The neutral gas pressure is 0.5 Torr, the neutral gas temperature is $T_n = 293$ K. Electron number densities: 1 – $n_e = 10^7 \text{ cm}^{-3}$ ($n_e/n_n = 6 \times 10^{-10}$), 2 – $n_e = 10^{10} \text{ cm}^{-3}$ ($n_e/n_n = 6 \times 10^{-7}$). Dotted lines, calculations without electron–electron collisions; dashed line, calculation without electron–electron collisions and $T_n = 0$ K.

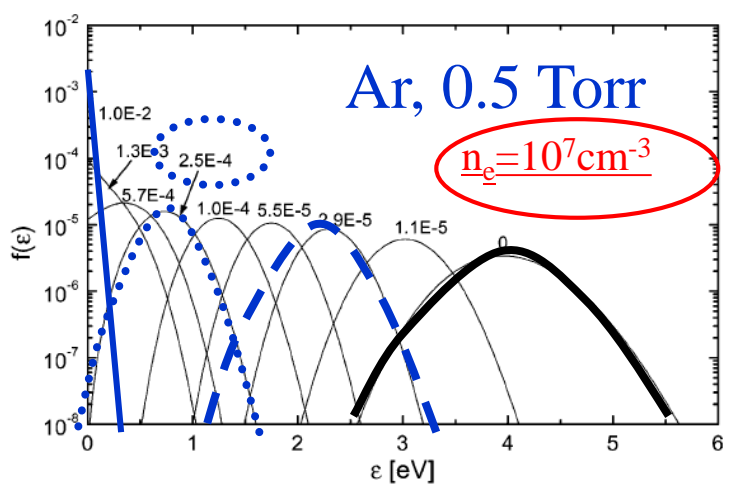


Fig. 3. The time dependence of the electron distribution function in argon afterglow plasma. The neutral gas pressure is 0.5 Torr, the neutral gas temperature is $T_n = 293$ K, the electron number density is $n_e = 10^7 \text{ cm}^{-3}$, $n_e/n_n = 6 \times 10^{-10}$. The time in seconds is given by the numbers near each curve.

„EEDF Cooling in He and in Ar“

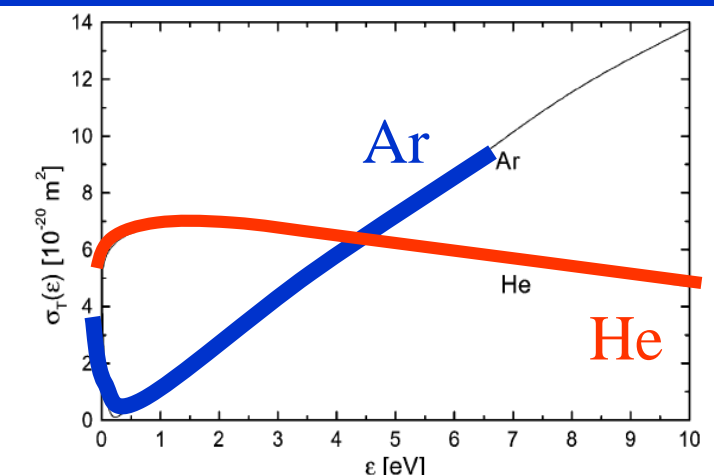


Fig. 2. The momentum transfer cross-sections for electron–argon [20] and electron–helium elastic collisions [21].

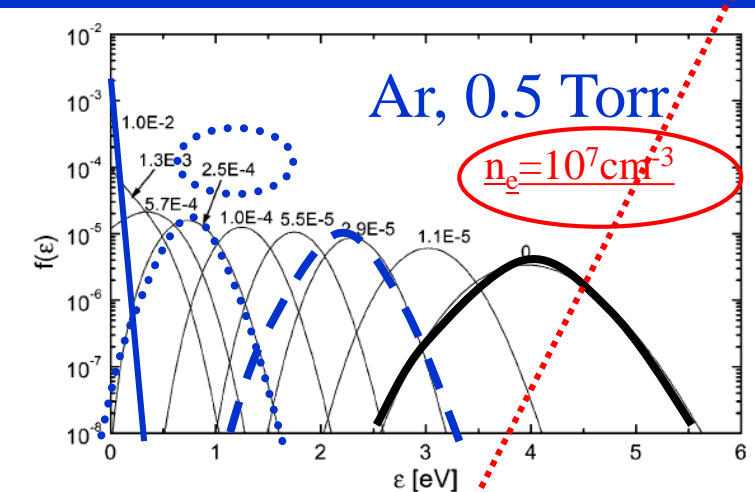


Fig. 3. The time dependence of the electron distribution function in argon afterglow plasma. The neutral gas pressure is 0.5 Torr, the neutral gas temperature is $T_n = 293$ K, the electron number density is $n_e = 10^7 \text{ cm}^{-3}$, $n_e/n_n = 6 \times 10^{-10}$. The time in seconds is given by the numbers near each curve.

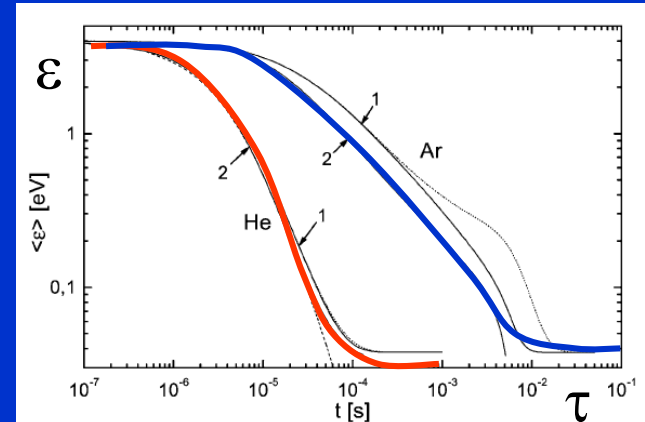


Fig. 5. The time dependence of the mean electron energy in helium and argon afterglow plasmas. The neutral gas pressure is 0.5 Torr, the neutral gas temperature is $T_n = 293$ K. Electron number densities: 1 – $n_e = 10^7 \text{ cm}^{-3}$ ($n_e/n_n = 6 \times 10^{-10}$), 2 – $n_e = 10^{10} \text{ cm}^{-3}$ ($n_e/n_n = 6 \times 10^{-7}$). Dotted lines, calculations without electron–electron collisions; dashed line, calculation without electron–electron collisions and $T_n = 0$ K.

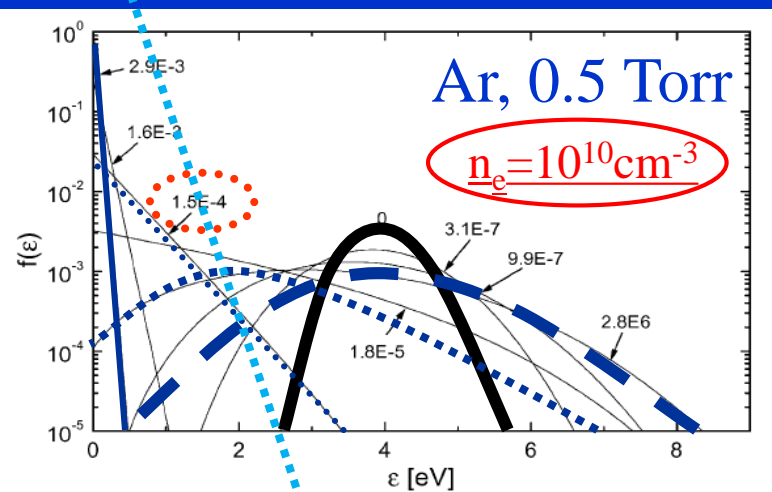


Fig. 4. The time dependence of the electron distribution function in argon afterglow plasma. The neutral gas pressure is 0.5 Torr, the neutral gas temperature is $T_n = 293$ K, the electron number density is $n_e = 10^{10} \text{ cm}^{-3}$, $n_e/n_n = 6 \times 10^{-7}$. The time in seconds is given by the numbers near each curve.